

საქართველოს ტექნიკური უნივერსიტეტი

მ. წერეთელი, ნ. მახარაშვილი,
ი. წერეთელი

სამთო მანქანების ელექტრული ამძრავი

მეთოდური მითითებები პრაქტიკული სამუშაოებისა
და საკურსო პროექტირების შესასრულებლად
დაპროგრამების სისტემა MATLAB-ში



რეკომენდებულია საქართველოს
ტექნიკური უნივერსიტეტის
სარედაქციო-საგამომცემლო საბჭოს
მიერ. 06.06.2014, ოქმი №2

თბილისი
2014

წარმოდგენილი მეთოდური მითითებების დანიშნულებაა, დაეხმაროს სტუდენტის პრაქტიკული სამუშაოებისა და საკურსო დაპროექტების შესრულებლად სამთო მანქანების ელექტრულ ამძრავში, დაპროგრამების სისტემა MAT-LAB-ის გამოყენებით. განხილულია მუდმივი და ცვლადი დენის ძრავების მექანიკური მახასიათებლების აგება ძრავას ორივე სახის სამუშაო რეჟიმში. საკურსო დაპროექტება ითვალისწინებს სამთო მანქანების, კერძოდ საშახტო ჯალამბრისა და ქანქარასებრი კიდული ბაზირებულის ამუშავების პროცესის გაანგარიშებას საწევი ბაზირის სიხისტის კოეფიციენტის გათვალისწინებით. მოკლედაა წარმოდგენილი ოქორიული მასალა, რომელიც აუცილებელია პრაქტიკული და საკურსო სამუშაოების შესასრულებლად.

განკუთვნილია სამთო-გეოლოგიური ფაკულტეტის, სამთო ტექნოლოგიების დეპარტამენტის ბაკალავრებისა და მაგისტრატებისათვის.

რეცენზებები: ასოცირებული პროფესორი, მ. ონიანი,

სსიპ გ. წულუკიძის სამთო ინსტიტუტის
საკონსტრუქტურო კვლევების და
პროექტირების სამეცნიერო ცენტრის
უფროსი, აკადემიური დოქტორი
გ. ჯავახიშვილი

© საბათოებრივი სახლი "ტექნიკური უნივერსიტეტი", 2014

ISBN 978-9941-20-480-7

<http://www.gtu.ge/publishinghouse/>

შემდეგი უფლება დაცულია. ამ წიგნის ნებისმიერი ნაწილის (ტექსტი, ფოტო, ილუსტრაცია თუ სხვა) გამოყენება არც ერთი ფორმითა და საშუალებით (ელექტრონული თუ მექანიკური) არ შეიძლება გამომცემლის წერილობითი ნებართვის გარეშე. სააგტორო უფლებების დარღვევა ისჯება კანონით.

პრაქტიკული და საგურსო სამუშაოები

სამთო მანქანების ელექტრული ამძრავის პრაქტიკულ მეცადინეობებზე შეისწავლება მუდმივი და ცვლადი დენის ძრავების მექანიკური მახასიათებლების აგების ხერხები. წარმოდგენილი მეთოდიკით სტუდენტი შეძლებს დამოუკიდებლად გაიანგარიშოს და ააგოს მუდმივი დენის დამოუკიდებელ-აგზნებიანი ძრავას მექანიკური მახასიათებლები როგორც ძრავულ, ისე სამუხრაუჭრო რეჟიმებში; ასევე, სამფაზა ცვლადი დენის ასინქრონული ფაზურ-როტორიანი ძრავას მექანიკური მახასიათებლები ააგოს ამძრავის ამუშავების დროს.

წარმოდგენილი მეთოდიკით სტუდენტი აგრეთვე გაიანგარიშებს ორბოლოიანი საშახტო ჯალამბრის ამუშავების პერიოდს, საწევი ბაგირის სიხისტის კოეფიციენტის გათვალისწინებით. მოცემული მწარმოებლურობის, გამონამუშევრის დახრის კუთხისა და სიგრძის მიხედვით შეირჩევა ჯალამბარი და ამძრავი ძრავა. გაიანგარიშება ამუშავების ამსახველ განტოლებათა სისტემაში შემავალი პარამეტრები, აიგება ჯალამბრის დოლის და ჭურჭლის აჩქარებისა და სიჩქარის გრაფიკები. მათი საშუალებით სტუდენტი გაანალიზებს ამუშავების პროცესზე რა გავლენას ახდენს ამწევი ბაგირის სიხისტის კოეფიციენტი.

დაწვრილებითაა განხილული ქანქარასებრი, ორ- და ერთვაგონიანი კიდული ბაგირგზის ამუშავების დინამიკუ-

რი რეჟიმი. ბაგირგზის ძირითადი პარამეტრების გაანგარიშების შემდეგ, ამუშავების აღმწერი დიფერენციალურ განტოლებათა სისტემის ამოხსნით, გარდამავალი რეჟიმის აღმწერი მრუდები აიგება სხვადასხვა შემთხვევებისათვის; კერძოდ, როდესაც სამგზავრო ვაგონები ცარიელია, ორივე დატვირთულია და როდესაც ერთ-ერთი დატვირთულია.

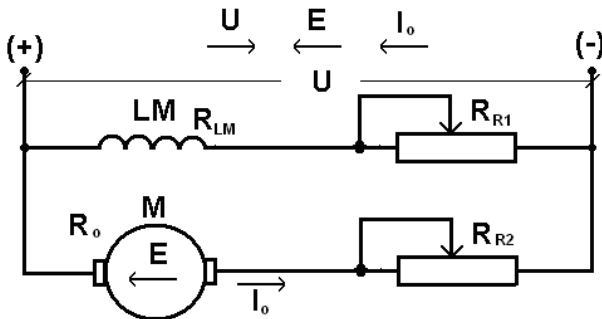
პრაქტიკული უნარის გამომუშავებისათვის, მეთოდურ მითითებებში მოყვანილია საილუსტრაციო მაგალითები, რომელთა საშუალებით სტუდენტი ასრულებს ინდივიდუალურ დავალებას.

შრომატევადი მათემატიკური გამოთვლების თავიდან აცილების მიზნით, ყველა დავალება გაანგარიშებულია დაპროგრამების სისტემა **MATLAB**-ში.

1. მუდმივი დენის დამოუკიდებელ-აბზებიანი

ძრავას გემანიპური გახასიათუბლები

მუდმივი დენის დამოუკიდებელ (პარალელურ) აგზნებიან ძრავას ქსელთან მიერთების პრინციპული სქემა მოცემულია 1.1 ნახაზზე.



ნახ. 1.1. დამოუკიდებელ აგზნებიანი მუდმივი დენის ძრავას ჩართვის სქემა

LM აგზნების გრაგნილია R_{LM} აქტიური წინაღობით;

R_{R1} - აგზნების გრაგნილში დენის მარეგულირებელი რეოსტატი;

M - ძრავას დუზა, R_o აქტიური წინაღობით;

R_{R2} - დუზის წრედში დენის მარეგულირებელი რეოსტატი;

აბვის ბალანსის განტოლებას დუზის წრედში აქვს სახე.

$$U = IR_R + E . \quad (1.1)$$

სადაც U ძაბვაა ძრავას მომჯერებზე, ვ;

I - ღუზის წრედის ნომინალური დენი, ა;

R_R -ღუზის წრედის სრული წინაღობა (რეოსტატით), ომი;

E - ღუზაში აღძრული ემ ძალაა, ვ.

ღუზის ემ ძალა განისაზღვრება ფორმულით

$$E = \frac{pN}{2\pi a} = K\Phi\omega = C\omega \quad , \quad \text{ვ,} \quad (1.2)$$

სადაც $K = \frac{pN}{2\pi a}$ ძრავას კონსტრუქციულობის კოეფიცი-

ენტია და მუდმივია, თუკი ძრავა კომპენსირებულია;

p - მთავარი პოლუსების რიცხვი;

N - გამტარების რიცხვი;

a - ღუზის გრაგნილის პარალელური გამტარების რიცხვი;

Φ - ძრავას მაგნიტური ნაკადი, ვბ; ω - ღუზის ბრუნვის

სიჩქარე, რად/წმ; $C = K\Phi$ - ძრავას კოეფიციენტი.

თუ E -ს მნიშვნელობას ჩავსვათ (1.2) -დან (1.1)-ში, მივიღებთ

$$U = IR_R + K\Phi\omega = IR + C\omega . \quad (1.3)$$

(1.3)- დან განვსაზღვროთ ω -ს მნიშვნელობა, მივიღებთ ე ლ ე ქ ტ რ ო მ ე ქ ა ნ ი კ უ რ ი მ ა ხ ა ს ი ა თ ე ბ ლ ი ს ანალიზურ გამოსახულებას

$$\omega = \frac{U - IR_R}{K\Phi} = \frac{U - IR_R}{C} = \frac{U}{C} - \frac{R_R}{C}I. \quad (1.4)$$

მუდმივი დენის ძრავას ელექტრომაგნიტური მომენტი განისაზღვრება ფორმულით

$$M = \frac{\Phi N}{2\pi a} K\Phi I = CI \quad , \text{ 6.8.} \quad (1.5)$$

ძრავას ლილვზე მომენტი სიდიდით განსხვავდება ელექტრომაგნიტური მომენტისაგან, თვით ძრავაში მექანიკური და ძრავას ფოლადში თბური დანაკარგების გამო. ძრავულ რეჟიმში მომენტი ლილვზე ყოველთვის ნაკლებია ელექტრომაგნიტურზე, ხოლო გენერატორულში - მეტი. რადგანაც ეს მომენტები მხოლოდ (2...5) % -ით განსხვავდებიან ნომინალურისაგან, მიახლოებით თვლიან, რომ მომენტი ძრავას ლილვზე ელექტრომაგნიტურის ტოლია.

დუზის დენის მნიშვნელობის (1.5)- დან (1.4)- ში ჩასმით, მივიღებთ მ ე ქ ა ნ ი კ უ რ ი მ ა ხ ა ს ი ა თ ე ბ ლ ი ს გამოსახულებას

$$\omega = \frac{U}{C\beta} - \frac{R_R}{C^2} M = \omega_0 - \frac{1}{C} M, \quad (1.6)$$

სადაც $\beta = \frac{C^2}{R_R}$ მექანიკური მახასიათებლის სიხისტის კოეფიციენტია, რაზეცაა დამოკიდებული თვით მახასიათებლის დახრა.

ააბვის, მაგნიტური ნაკადისა და დუზის წრედის ნომ-

ინალური მნიშვნელობების დროს, ბრუნვის სიჩქარეც ნომინალური იქნება

$$\omega_n = \frac{U_n - I_n R_0}{K\Phi_n}. \quad (1.7)$$

როდესაც ძრავაზე სასარგებლო დატვირთა და ენერგიის დანაკარგები არ არსებობს, სისტემაში ღუზის დენის მნიშვნელობა ნულის ტოლია და ღუზის ბრუნვის სიჩქარე, რომელსაც ასეთ შემთხვევაში იდეალურს უწოდებენ ω_0 , დამოკიდებულია მხოლოდ ძაბვისა და მაგნიტური ნაკადის ნომინალურ მნიშვნელობებზე

$$\omega_0 = \frac{U_n}{K\Phi_n} = \frac{U_n}{C}. \quad (1.8)$$

ასეთი ბრუნვის სიჩქარის დროს, ემ ძალა და ქსელის ძაბვა ერთმანეთის ტოლია.

(1.7) და (1.8) -ის გათვალისწინებით, ელექტრომექანიკური მახასიათებელი შესაძლოა წარმოვადგინოთ შემდეგი სახით

$$\omega = \omega_0 - \frac{I_n R_0}{K\Phi} = \omega_0 - \frac{I_n R_0}{C}, \quad (1.9)$$

ხოლო მექანიკური მახასიათებელი

$$\omega = \omega_0 - \frac{R_0}{K\Phi^2} M = \omega_0 - \frac{R_0}{C^2} M. \quad (1.10)$$

იდელურ უქმი სვლის ბრუნვის სიჩქარესა და დატვ-

ირთვის შესაბამის ბრუნვის სიჩქარეს შორის სხვაობას ($\omega_0 - \omega$), ეწოდება სტატიკური ბრუნვის სიჩქარის ვარდნა $\Delta\omega$. $\Delta\omega = R_\theta I_n / C$ ელექტრომექანიკური მახასიათებლისათვის, ხოლო $\Delta\omega = R_0 M / C^2$ - მექანიკური მახასიათებლისათვის.

ამ უგანასკნელთა გათვალისწინებით, დამოუკიდებელაგზნებიანი ძრავას მექანიკური მახასიათებლი ზოგადი სახით იქნება

$$\omega = \omega_0 - \Delta\omega. \quad (1.11)$$

რადგან ბრუნვის სიჩქარის ვარდნა ($\Delta\omega$) მომენტისა და დენისა პირდაპირპორციულია, მექანიკური და ელექტრომექანიკური მახასიათებლები წარმოადგენს წრფეს.

იდეალური უქმი სვლის ბრუნვის სიჩქარე, შეიძლება განისაზღვროს (1.8) -ის შეფარდებით (1.7)-თან შემდეგი ფორმულით:

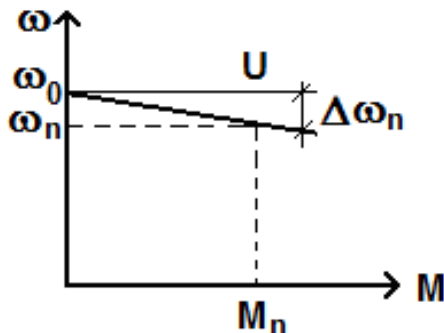
$$\omega_0 = \omega_n \frac{U_n}{U_n - I_n \cdot R_0}. \quad (1.12)$$

სადაც U_n , ω_n და I_n შესაბამისად, ძრავას ნომინალური საპასპორტო მონაცემებია.

თუკი ცნობილი იქნება ω_0 , ნომინალური მომენტი M_n და ასევე მისი შესაბამისი ბრუნვის სიჩქარე ω_n , ე.ი. წრფის ორი წერტილი, შესაძლებელია აიგოს ბუნებრივი

მექანიკური მახასიათებელი (ნახ. 1.2).

მექანიკური მახასიათებლები სამუხრავეთ რეჟიმებში.
 ხშირად, თანამედროვე ელექტროამძრავში აუცილებელია როგორც საწარმოო მექანიზმის სწრაფად და ზუსტად განერება, ისე მისი რეგულირება და ტვირთის ჩაშვება. ყველა შემთხვევაში, ძრავა აუცილებლად უნდა გადავიდეს გენერატორული დამუხრავებების რომელიმე სახის რეჟიმში, ამძრავში დაგროვილი კინეტიკური ენერგია ან ტვირთის ჩაშვებისას პოტენციური ენერგიის ნაზრდი გარდაიქმნას ელექტრულ ენერგიად და ან უკან მიაწოდოს ქსელს, ან სითბოს სახით გამოჰყოს გარემოში.



ნახ. 12. დამოუკიდებელ-აგზნებიანი ძრავას ბუნებრივი მექანიკური მახასიათებლი

ელექტრული დამუხრავებება სამი სახისაა: а) ენერგიის ქსელში გადაცემა (რეკუპერაციული); ბ) დინამიკური დამუხრავებება; გ) უძრავთვითი დამუხრავებება.

ა) რეკუპერაციული დამუხრავებება დამუხრავებების ეს

ხერხი ხორციელდება მაშინ, როცა ძრავას ბრუნვის სიჩქარე და მეტი ადმონიდება იდეალური უქმი სვლის ბრუნვის სიჩქარე აუზე და მისი ემ ძალა E გადააჭარბებს ქსელის U ძაბვას. ამ შემთხვევაში, ძრავა გენერატორულ რეჟიმში მუშაობს ქსელის პარალელურად და აწვდის ელექტრულ ენერგიას; დენიც იცვლის მიმართულებას, რომელიც აშკარაა შემდეგი ტოლობიდან

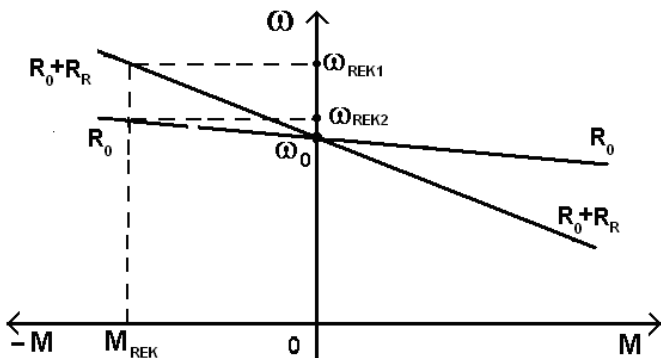
$$I = (U - E) / R = -(E - U) / R. \quad (1.13)$$

შესაბამისად, ნიშანს შეიცვლის ძრავას მომენტიც, ანუ იგი გახდება დამამუხრუჟებელი - $M = -I\Phi$. თუკი აღვნიშნავთ სამუხრუჟო მომენტს $M_t = -M$, მაშინ (1.10) განტოლება $\omega = \omega_0 - i\zeta$ გათვალისწინებით, მიიღებს სახეს

$$\omega = \frac{U}{C} + \frac{R_0}{C^2} M_t. \quad (1.14)$$

განტოლების მარჯვენა მხარის პირველი წევრი გვიჩვენებს, რომ დამოუკიდებელ-აგზებიანი ძრავას მექანიკური მახასიათებელი ამ სამუხრუჟო რეჟიმში $M = 0$ -ის დროს გადის წერტილში, რომელიც, ისევე როგორც ძრავულ რეჟიმში, შეესაბამება იდეალური უქმი სვლის ბრუნვის სიჩქარეს. მექანიკური მახასიათებლის დახრა (სიხისტე) განისაზღვრება განტოლების მეორე წევრით R_0 / C^2 , რომელიც დუზის წრედის მოცემული წინაღობის დროს, მუდმივია. შესაბამისად, მექანიკური მახასიათებლის დახ-

რა ამ სამუხრუჭო რეჟიმში იგივეა, რაც იყო ძრავულ რეჟიმში. ამის გამო, რეგუპერაციული დამუხრუჭების რეჟიმში, მექანიკური მახასიათებელი წარმოადგენს ძრავული რეჟიმის მექანიკური მახასიათებლის გაგრძელებას მეორე კვადრანტში. დამუხრუჭების ეს ხერხი შესაძლებელია, მაგალითად, სატრანსპორტო და ამწე მექნიზმების ამძრავებებში ტვირთის ჩაშვებისას ან სიჩქარის რეგულირების ისეთი ხერხის დროს, როცა $\omega > \omega_0$. ასეთი დამუხრუჭება მეტად ეკონომიურია, რადგანაც ხასიათდება ქსელში ენერგიის მიწოდებით, მაგრამ ყოველთვის არ არის შესაძლებელი $\omega > \omega_0$ პირობის დაცვა.

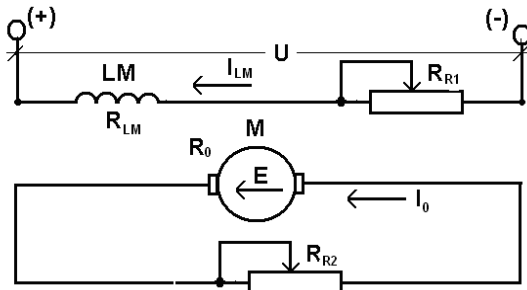


ნახ. 1.3. დამოუკიდებელ-აგზნებიანი ძრავას მექანიკური მახასიათებლები ძრავული და რეგუპერაციული დამუხრუჭების რეჟიმში

აუცილებელია აღინიშნოს, რომ რაც მეტია ღუზის წრედის წინადობა, მით მეტია ბრუნვის სიხშირე რეგუპ-

ერაციულ სამუხრუჭო რეჟიმში, ერთსა და იმავე სტატიკური მომენტის დროს (ნახ. 1.3).

ბ) დინამიკური დამუხხუჭება ხორციელდება ღუზის წრედის ქსელიდან ამორთვისას და გარე წინაღობაზე მიერთებისას; ამიტომ მას ხშირად, რეოსტატულ დამუხხუჭებას უწოდებენ (ნახ. 1.4).



ნახ. 1.4. დამოუკიდებელ-აგზნებიანი ძრავას ჩართვის სქემა
დინამიკური დამუხხუჭების რეჟიმში

ამ დროს, აგზნების გრაფილი ქსელთან ჩართული უნდა დარჩეს. დინამიკური დამუხხუჭების რეჟიმშიც, მანქანა მუშაობს როგორც გენერატორი, მხოლოდ იმ განსხვავებით, რომ ამძრავში დაგროვილი კინეტიკური ან ჩამავალი ტვირთის პოტენციური ენერგია ელექტრულ ენერგიად გარდაიქმნება და რეგულირაციული რეჟიმისგან განსხვავებით, გამოიყოფა სითბოს სახით ღუზის წრედში.

იმის გამო, რომ ემ ძალა დამუხხუჭების დროს ინარჩუნებს იმავე ნიშანს, რაც პქონდა ძრავულ რეჟიმში და ღუზას გარედან ძაბვა არ მიეწოდება, ღუზის დენი განი-

საზღვრება ფორმულით

$$I = (U - E) / R = (0 - E) / R = -E / R, \quad (1.15)$$

სადაც $R = R_0 + R_{R2}$ დუნის წრედის საერთო წინადობაა.

სამუხრუჭე მომქნევი შესაძლებელია წარმოვადგინოთ,
როგორც

$$-M_t = RI = -K\Phi \frac{E\omega}{R} = -K\Phi^2 \frac{\omega}{R}. \quad (1.16)$$

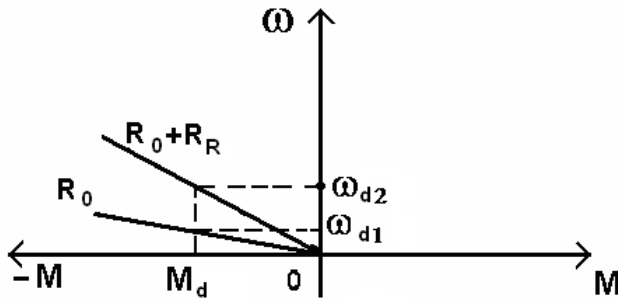
მუდმივი მაგნიტური ნაკადის დროს ($\Phi = \text{const}$)

$$\omega = \frac{R}{K\Phi^2} M_t = \frac{R}{C^2} M_t. \quad (1.17)$$

როგორც (1.17)-დან ჩანს, მექანიკური მახასიათებელი დინამიკური დამუხრუჭების დროს წარმოადგენს წრფეს, რომელიც კოორდინატთა სათავეზე გადის და მისი დახრის კუთხე R -ის მიხედვით იცვლება. მინიმალური დახრა (მაქსიმალური სიხისტე) მიიღება ნულოვანი რეოსტატული წინადობის დროს ანუ მაშინ, როდესაც დუნის წრედში მხოლოდ დუნის წინადობაა ჩართული (იხ. ნახ. 1.5).

რადგანაც მახასიათებელი კოორდინატთა სათავეზე გადის, პრუნვის სიჩქარის შემცირება იწვევს სამუხრუჭო მომქნების შემცირებას და გამოდის, რომ დინამიკური დამუხრუჭებით, მექანიკური მუხრუჭის გარეშე, ძრავას სრული გაჩერება შეუძლებელია. ესაა დინამიკური დამუხრუჭების ძირითადი ნაკლი. დინამიკური დამუხრუჭება ფართოდ გამოიყენება ამძრავის შესანელებლად, განსაკუთრებულად.

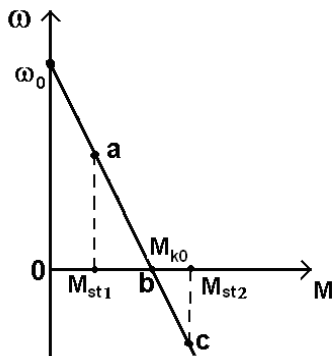
ით ამწევ მექანიზმებში ტვირთის ჩაშვების დროს. იგი საკმაოდ ეპონომიურია, მაგრამ, ამ მხრივ ჩამორჩება რეაციული დამუხხრუჭების რეჟიმს.



ნახ. 1.5. დამოუკიდებელ-აგზებიანი ძრავას მექანიკური მახასიათებლები დინამიკური დამუხხრუჭების რეჟიმში

გ) უცართვით დამუხხრუჭება ხორციელდება იმ შემთხვევაში, როცა ძრავას გრავილები ჩართულია ერთი მიმართულებით სამოძრაოდ, მაგრამ მასზე ისეთი სიდიდის დატვირთვაა მოდებული, რომ ძრავა იძულებით ბრუნავს მეორე მიმართულებით. ეს ხორციელდება, მაგალითად, ამწეს ამძრავში, როცა ძრავა ჩართულია ტვირთის აწევაზე, ხოლო ტვირთის წონით გამოწვეული მომენტი ისეთია, რომ ძრავას აიძულებს იბრუნოს ტვირთის ჩაშვების მიმართულებით. ასეთივე რეჟიმი მიიღება, თუკი ერთი მიმართულებით მბრუნავ ძრავას შევუცვლით ქსელის პოლარულობას და ამით შევქმნით მოძრაობის საწინააღმდ-

დეგო მიმართულების მაბრუნ მომენტს. განვიხილოთ ეს რეჟიმი გრაფიკზე (ნახ. 1.6).



ნახ. 1.6. დამოუკიდებელ-აგზნებიანი ძრავას მექანიკური მახასიათებელი უპურართვითი დამუხრუჭების რეჟიმში

დავუშვათ, ძრავაზე მოდებულია M_{st1} დატვირთვა და იგი **a** წერტილში მუშაობს ძრავულ რეჟიმში. ახლა დავუშვათ, რომ რაღაც მიზეზით დაიწყო სტატიკურმა დატვირთვამ გაზრდა ძრავას ლილვზე. ამას მოჰყვება ბრუნვის სიჩქარის შემცირება და შესაბამისად, ემ ძალის შემცირებაც. $I = \frac{U - E}{R} = \frac{\Psi C}{R}$ ძრავას დუზაში გამავალი დენი დაიწყებს გაზრდას. როცა ბრუნვის სიჩქარე ნულს გაუტოლდება, ძრავაში გაივლის მოკლედ შერთვის (მ.შ.) დენი $I_{k0} = U/R$ (**b** წერტილი) და იგი განავითარებს მ.შ.-ის მომენტს M_{k0} . დატვირთვის შემდგომი გაზრდა იწვევს ძრავ-

ას ბრუნვის მიმართულების შეცვლას და შესაბამისად, ძრავაში გამავალი დენის გაზრდას $I = (U + \omega) / R$; დენის გაზრდას კი მოჰყვება მომენტის გაზრდა და როცა ეს უქანასკნელი გაუტოლდება ჩამავალი ტვირთის წონით გამოწვეულ $M_{st.2}$ მომენტს, დამყარდება თანაბარი მოძრაობა (C წერტილი).

როგორც

$$I = \frac{U + \omega}{R} \quad (1.18)$$

გამოსახულებიდან ჩანს, გარკვეულ პირობებში ძრავაში გამავალმა დენმა, შეიძლება დასაშვებს გადააჭარბოს. ამის გამო, უკუჩართვით დამუხსრუჭების დროს, ღუზის წრედში დამატებით წინადობას ჩართავენ (ამას მახასიათებლის დახრაც გვიჩვენებს).

(1.18) ფორმულის ორივე მხარეს თუ გავამრავლებთ IR -ზე, მიიღება

$$I^2R = UI + \omega I = UI + EI \quad , \quad (1.19)$$

სადაც I^2R ღუზის წრედის გათბობაზე დახარჯული სიმძლავრეა; UI - ქსელიდან წამოღებული სიმძლავრე; EI - ძრავას ლილვზე ჩამავალი ტვირთის მექანიკური სიმძლავრის ეკვივალენტური ელექტრული სიმძლავრე.

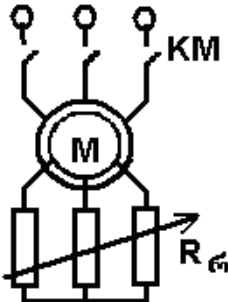
ეკონომიურობის თვალსაზრისით, უკუჩართვით დამუხსრუჭების რეჟიმი, განხილულ რეჟიმებთან შედარებით,

ყველაზე არაეკონომიურია - ჩამავალი ტვირთის ენერგია
და ქსელიდან მიღებული ენერგია, ორივე დუბის წრედში
გამოიყოფა სითბოს სახით. დადებითი მხარეებია: ამ რე-
ჟიმით შესაძლებელია ამძრავის როგორც შენელება, ისე
სრულად გაჩერება და რევერსიც კი.

2. ასინქრონული ძრავას მეშანიკური

გახასიათებლები

ფაზურ-როტორიანი ასინქრონული ძრავას ჩართვის
სქემა მოცემულია 2.1. ნახაზე.



ნახ. 2.1. ასინქრონული ფაზურ-როტორიანი ძრავას ქსელთან
ჩართვის სქემა

მუდმივი დენის ძრავებისაგან განსხვავებით, ასინქრონულ ძრავებში მექანიკურ მახასიათებლებს აგებენ არა ძრავას მიერ განვითარებულ მომენტსა და მის შესაბამის ბრუნვის სიხშირეს შორის, არამედ მომენტსა და ე.წ. სროალს S -ს შორის. სრიალი ფიზიკურად წარმოადგენს სტატორის ელექტრომაგნიტური ველის ბრუნვის სიჩქარესა (ω_0) და როტორის მიმდინარე ბრუნვის სიჩქარესა (ω) შორის სხვაობას და გამოსახება, როგორც

$$S = \frac{\omega_0 - \omega}{\omega_0}. \quad (2.1)$$

თავის მხრივ, ელექტრომაგნიტური ველის ბრუნთა რიცხვი, რომელსაც სინქრონულ ბრუნთა რიცხვს უწოდებენ, ქსელის ძაბვის სიხშირისა და ძრავას წყვილ პოლუსთა რიცხვის ფუნქციაა და გამოითვლება

$$n_0 = \frac{60f}{p} \quad (2.2)$$

გამოსახულებით. რადგანაც ძრავას წყვილ პოლუსთა რიცხვი p ნატურალური რიცხვია, სამრეწველო ქსელის სტანდარტული სიხშირის დროს ($f = 50$ ჰ��.) სწრაფმავალი ძრავების სინქრონული ბრუნთა რიცხვი ტოლია შემდეგი სიდიდეებისა:

p	1	2	3	4	5	6	და ა.შ.
n₀	3000	1500	1000	750	600	500	და ა.შ.

ხოლო შესაბამისი ბრუნვის სიხშირე გამოითვლება შემდეგი გამოსახულებით

$$\omega_0 = \frac{\pi n_0}{30}. \quad (2.3)$$

სინქრონული ბრუნთა რიცხვი ადვილად შეიძლება განისაზღვროს ძრავას ნომინალური ბრუნთა რიცხვიდანაც, რადგანაც ეს უბანაძნელი (2...3)%-ით ნაკლებია სინქრონულზე $n_0 = 3000 / \text{round}(3000 / n_n)$.

საშუალო და დიდი სიმძლავრის ძრავებში (10-15 კვტ

და ზემოთ), სტატორის აქტიური წინაღობის სიდიდეს უგულებელყოფენ მისი სიმცირის გამო და ამის გათვალისწინებით, ასინქრონული ძრავას მექანიკური მახასიათებლის განტოლებას აქვს სახე

$$M = \frac{2M_m \cdot S_m}{S_m^2 + S^2} S. \quad (2.4)$$

აქ, M_m , ძრავას მიერ განვითარებული კრიტიკული ანუ მაქსიმალური მომენტია და განისაზღვრება ძრავას საპასპორტო მონაცემებიდან; S_m სრიალის მაქსიმალური მნიშვნელობაა და შეესაბამება ძრავას მიერ განვითარებულ მაქსიმალურ მომენტს.

(2.4) გამოსახულებიდან

$$S = S_m \left(b_n - \sqrt{b_n^2 - 1} \right). \quad (2.5)$$

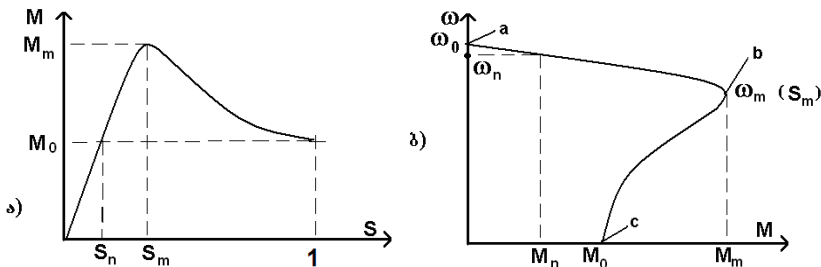
აქ $b = \frac{M_m}{M}$ მაქსიმალური მომენტის ფარდობაა აღებული მომენტის მნიშვნელობისასთან. თუ $M = M_n$, მაშინ სიდიდეებს, $b_n = \frac{M_m}{M_n}$ -ს უწოდებენ ძრავას გადატვირთვის უნარიანობას და (2.4) გამოსახულებიდან

$$S_m = S_n \left(b_n + \sqrt{b_n^2 - 1} \right). \quad (2.6)$$

რადიკალის წინ აიღება “+” ნიშანი, რადგანაც S_m

ყოველთვის მეტია S_n -ზე.

2.2 ა)-ნახაზზე ასინქრონული ძრავას ბუნებრივი მექანიკური მახასიათებელი წარმოდგენილია $M = f(S)$ ფუნქციით, ხოლო 2.2 ბ) – ნახაზზე - $M = f(\omega)$ ფუნქციით.



ნახ. 2.2. ასინქრონული ძრავას მექანიკური მახასიათებლები

ასინქრონული ძრავას მექანიკური მახასიათებლის მნიშვნელოვან წერტილებს წარმოადგენს:

- 1) $S = 0; \omega = \omega_0 \dots M = 0$ - უქმი სვლის რეჟიმი;
- 2) $S = S_{\text{მ}} (\neq \omega_0) \dots M = M_{\text{მ}} = M_m$ - ნომინალური რეჟიმი;
- 3) $S = S_{\text{მ}} (\neq \omega_0) \dots M = M_{\text{მ}} = M_m$ - ძრავას მაქსიმალური (კრიტიკული) მომენტი;
- 4) $S = 1 (\neq 0) \dots M = M_0$ - ძრავას ამუშავების მომენტი.

ზემოთ განხილული მახასიათებლები ბუნებრივი მახასიათებლებია და ისინი აიგება თანმიმდევრობით. ძრავას საპასპორტო მონაცემებია: ნომინალური სიმძლავრე P_n ,

კვტ; ნომინალური ბრუნვათა რიცხვი n_n , ბრ/წთ; გადატვირთვის კოეფიციენტი $b_n = M_m / M_n$; წყვილ პოლუსთა რიცხვი p :
განისაზღვრება:

- 1) ძრავას ნომინალური სრიალი $S_n = 1 - \frac{\omega_n}{\omega_0}$;
- 2) ძრავას მაქსიმალური სრიალი $S_m = S_n \left(b_n + \sqrt{b_n^2 - 1} \right)$;
- 3) ძრავას ნომინალური მომენტი $M_n = 9550 \frac{P_n}{n_n}$, ნგ
- 4) ძრავას მაქსიმალური მომენტი $M_m = M_n b_n$.

ამის შემდეგ, სრიალს მისცემენ სხვადასხვა მნიშვნელობებს 1-დან 0-მდე და (2.5) ფორმულის მიხედვით ააგენტენ ასინქრონული ძრავას ბუნებრივ მექანიკურ მახასიათებელს $M=f(s)$ კოორდინატებში.

როტორის წრედში აქტიური წინაღობის ჩართვით იზრდება

$$S_m = \pm \frac{R'_2}{\sqrt{R_1^2 + X_{m0}^2}} \quad (2.7)$$

სრიალის მაქსიმალური მნიშვნელობა.

ნიშანი “+” აიღება ძრავულ რეჟიმში, ხოლო “-“ – გენერატორულ (სამუხრუჭე) რეჟიმში.

აქ, R_1, X_1 სტატორის აქტიური და ინდუქციური წინაღობაა, ომი;

R'_2, X'_2 - სტატორზე დაყვანილი როტორის ფაზის აქტიური და ინდუქტიური წინაღობა, ომი;

$X_{m0} = X_1 + X'_2$ - მოკლედ შერთვის ინდუქციური წინაღობა, ომი.

განვიხილოთ როტორის წრედში ჩართული რეოსტატის წინაღობის გავლენა მახასიათებლის ფორმაზე. თუ მხედველობაში არ მივიღებთ სტატორის აქტიურ წინაღობას, სრიალის მაქსიმალური მნიშვნელობა ბუნებრივ მახასიათებელზე იქნება

$$S_{m0} = \frac{R'_2}{X_{m0}}, \quad (2.8)$$

ხოლო ხელოვნურზე

$$S_{mx} = \frac{R'_2 + r'_0}{X_{m0}}. \quad (2.9)$$

(2.8) და (2.9) ფორმულების ერთმანეთზე გაყოფით, მიიღება:

$$\frac{S_{mx}}{S_{m0}} = \frac{R'_2 + r'_0}{R'_2} = \frac{R_2 + r_0}{R_2} = 1 + \frac{r_0}{R_2}, \quad (2.10)$$

სადაც R_2 როტორის წრედში ჩართული რეოსტატის წინაღობაა

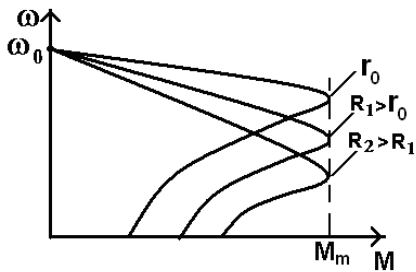
$$R_2 = r_0 \frac{S_{m0}}{S_{mx} - S_{m0}} . \quad (2.11)$$

ეს დამოკიდებულება მართებულია სრიალის ნებისმიერი მნიშვნელობისათვის.

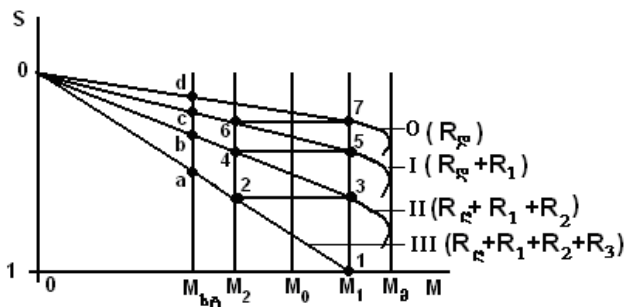
ამგვარად, შეიძლება აღინიშნოს, რომ ერთსა და იმავე მომენტის დროს სრიალის სიდიდე ხელოვნურ მახასიათებელზე იმდენჯერ მეტია ბუნებრივი მახასიათებლის შესაბამის სრიალზე, რამდენჯერაც მეტია როტორის სრული წინადობა $R_2 + r_0$, როტორის გრაგნილის r_0 წინადობაზე.

მახასიათებლები რეოსტატის სხვადასხვა მნიშვნელობის დროს, მოყვანილია ნახ. 2.3 ნახაზზე.

ძრავას მიერ M_1 მომენტის განავითარებისას (როდესაც როტორის წრედში მთლიანადაა ჩართული R_1 , R_2 და R_3 გამშვები წინადობები), ამძრავი აჩქარდება III მექანიკურ მახასიათებელზე (ნახ. 2.4.). სიჩქარის გაზრდასთან ერთად, გაიზრდება ძრავაში ემ ძალა და ამის გამო, შემცირდება როტორში გამავალი დენი; აგრეთვე შემცირდება ძრავას მიერ განვითარებული მომენტი; როდესაც იგი გაუტოლდება ამძრავზე მოდებულ სტატიკურ მომენტს, აჩქარება შეწყდება და ძრავა იმუშავებს თანაბარი სიჩქარით (წერტილი a).



ნახ. 2.3. მექანიკური მახასიათებლები როტორის წრედში
სხვადასხვა აქტიური წინადობის დროს



ნახ. 2.4. რეოსტატული ამუშავება მუდმივი დატვირთვით

ნომინალური სიჩქარის ($\dot{\varphi}$ რეტილი d) მიღწევისათვის
საჭიროა ძრავა გადაფიდეს ბუნებრივ მახასიათებელზე.
ამისათვის, როდესაც ძრავას მიერ განვითარებული მომე-
ნტი III მახასიათებელზე გახდება M_2 -ის ტოლი ($\dot{\varphi}$ რეტი-
ლი 2), საჭიროა ჩამოკლდეს (დაშუნებდეს) წინადობის პი-
რველი საფეხური R_3 . ამის შედეგად ძრავას მიერ განვი-
თარებული მომენტი გაიზრდება M_1 მნიშვნელობამდე და

გადავა II მახასიათებელზე (წერტილი 3). ამძრავი ისევ აჩქარდება, ამჟამად II მახასიათებელზე, და როცა მის მიერ განვითარებული მომენტი შემცირდება M_2 მნიშვნელობამდე (წერტილი 4), ჩამოკლდება R_2 წინაღობა და ამძრავი ისევ M_1 მომენტით აჩქარდება I მახასიათებელზე (წერტილი 5-დან წერტილ 6-მდე). ამის შემდეგ, ჩამოკლდება ბოლო R_1 წინანაღობა და ძრავა გადავა ბუნებრივ, 0 მექანიკურ მახასიათებელზე. იგი დაიწყებს თანაბარი სიჩქარით მუშაობას წერტილ d-ში.

M_1 მომენტს უწოდებენ პიკურ მომენტს, ხოლო M_2 -ს – გადართვის მომენტს. ასინქრონულ ძრავებში პიკური მომენტი აიღება მაქსიმალურის (80...90)%, ხოლო გადართვის მომენტი - სტატიკურზე (15...20)%-ით მეტი. ანუ $M_1 \leq (0.8...0.9)M_m$ და $M_2 \geq (1.15...1.2)M_{st}$.

ასეთი მეთოდით ამუშავებისას, ძრავას მიერ განვითარებული მომენტი M_1 -დან M_2 მნიშვნელობამდე იცვლება, ხოლო გარდამავალი პროცესის გაანგარიშებისას ამამუშავებული მომენტი M_0 შეიძლება ჩაითვალოს მუდმივად და მისი მნიშვნელობა $M_0 = \sqrt{M_1 M_2}$ ფორმულით გამოითვლება.

თუ სტატიკური დატვირთვა ამძრავზე ნომინალურის

$M_{st} = (0.1 \dots 0.5)M_n$ -ია, ამუშავების რეჟიმი “მსუბუქია”; თუ

$M_{st} = (0.5 \dots 0.9)M_n$ - ამუშავება “ნორმალურია” და თუკი

$M_{st} \geq M_n$ - “ზძიმეა” [1,2].

როდესაც მომენტი იცვლება M_1 -დან M_2 -მდე, ამუშავებას უწოდებენ **საფეხურებიანს**. ამ დროს, მექანიზმების ნაწილებში აღიძვრება ციკლური ხასიათის დამატებითი დინამიკური დატვირთვა, რომელიც ზრდის მანქანის ელემენტების ცვეთას. მომენტის ცვალებადობა საგრძნობლად შეიძლება შემცირდეს, ამამუშავებელი საფეხურების რიცხვის გაზრდით. თუ $\frac{M_1}{M_2} \rightarrow 1$, მაშინ ამუშავება უსაფეხურო ხდება და ძრავას შესაძლებლობები მაქსიმალურია.

სამთო მანქანებში (კიდული ბაგირგზები, საშახტო ჯალამბრები, ლენტური კონვეიერები და სხვ.) სავსებით მისაღებია $z = (7 \dots 8)$ - ის აღება. ამ დროს ამამუშავებელ M_0 და პიკურ M_1 მომენტებს შორის განსხვავება მხოლოდ 12% -ია.

როგორც აღინიშნა, M_2 გადართვის მომენტის მნიშვნელობა $M_2 \geq (1.15 \dots 1.2)M_{st}$.

შესაბამისი გადატვირთვის კოეფიციენტი იქნება

$$b_2 = \frac{M_m}{M_2} = \frac{M_m}{k_2 M_m} = \frac{1}{k_2}, \quad (2.12)$$

ხოლო მისი a_2 კოეფიციენტი

$$a_2 = b_2 - \sqrt{b_2^2 - 1}. \quad (2.13)$$

ამამუშავებელი მომენტის, M_0 -ის მნიშვნელობად მივიღოთ

$$M_0 = 1.2M_n = 1.2 \frac{M_m}{b_n} \text{ წა; } \quad (2.14)$$

შესაბამისად,

$$b_0 = \frac{b_n}{1.2}; \quad (2.15)$$

მაშინ, პიკური მომენტის გადატენუალის კოეფიციენტი იქნება

$$b_1 = \frac{b_0^2}{b_2}; \quad (2.16)$$

ხოლო პიკური მომენტის კოეფიციენტი

$$a_1 = b_1 - \sqrt{b_1^2 - 1}; \quad (2.17)$$

ამამუშავებელი რეასტატის საფეხურების რაოდენობა

$$z = \text{round} \left[\frac{\lg \left(\frac{1}{a_1 S_{m0}} \right)}{\lg \left(\frac{a_1}{a_2} \right)} \right]. \quad (2.18)$$

ამ დამრგვალებული z -სათვის გამოითვლება a_1 -ის ახალი მნიშვნელობა

$$a_1 = \left(\frac{a_2^z}{S_{m0}} \right)^{\frac{1}{z+1}}; \quad (2.19)$$

b კოეფიციენტის მნიშვნელობა

$$b = \frac{a_1}{a_2}. \quad (2.20)$$

$$\text{რადგანაც უკვე ცნობილია } b = \frac{a_1}{a_2} \text{ სიდიდე, შესაძლე-}$$

ბელია ამუშავების მქანიკური მახასიათებლების აგება.

ასევე ცნობილია, რომ ბუნებრივი მახასიათებლის მაქსიმალური სრიალის საშუალებით ადვილად აიგება ხელ-ლოგნური მახასიათებლებიც; კერძოდ, ხელოვნური მახასიათებლების მაქსიმალური სრიალი ერთმანეთისაგან განსხვავდება b სიდიდით და გამოითვლება $S_{mz} = S_{m0}b^z$ -ის საშუალებით.

ამის შემდეგ, (2.4) ფორმულით აიგება ბუნებრივი და ხელოვნური მახასიათებლები

$$M = \frac{2M_m S_{m0} b^z}{\left(S_{m0} b^z \right)^2 + S^2} S. \quad (2.21)$$

როცა $z = 0$, აიგება ბუნებრივი მახასიათებელი, ხოლო როცა $z = 1 \dots n$ - შესაბამისი ხელოვნური მახასიათებლი.

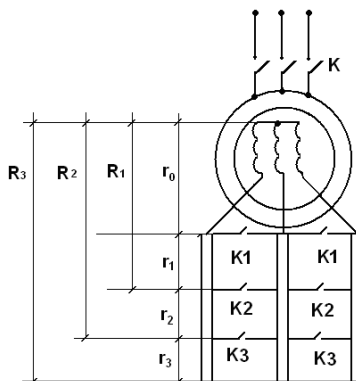
როტორის ერთი ფაზის ნომინალური წინადობა გამოითვლება $R_n = \frac{U_{2n}}{\sqrt{3} I_{2n}}$, ხოლო საკუთრივ როტორის წინადობა - $r_0 = R_n S_{n0}$ ფორმულით. I_{2n} - არის როტორის ნომინალური დენი, ა; U_{2n} - როტორის ემ ძალა, კ; მათი სიდიდეები ძრავებისათვის მოცემულია კატალოგში.

როტორის წრედში მიერთებული წინადობები ყოველ საფეხურზე განისაზღვრება $R_z = r_0 \cdot b^z$ გამოსახულებით, ხოლო თითოეული საფეხურის წინადობა

$$r_z = R_z - R_{z-1} = r_0(b^z - b^{z-1}) = r_0(b - 1)b^{z-1};$$

2.5 ნახაზზე ნაჩვენები სქემისათვის $R_1 = r_0 + r_1$;

$$R_2 = r_0 + r_1 + r_2 = R_1 + r_2 \text{ და } R_3 = r_0 + r_1 + r_2 + r_3 = R_2 + r_3.$$



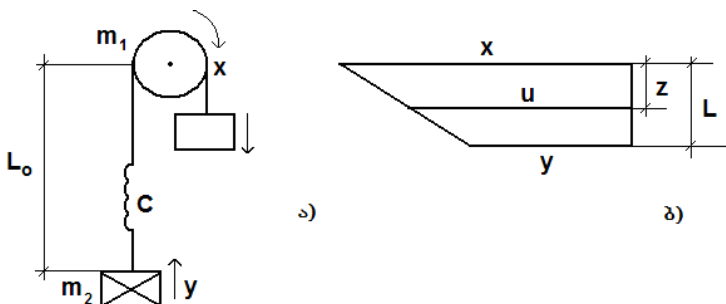
ნახ. 2.5. როტორის წრედის წინადობების განსაზღვრა

3. ორბოლოიანი საშახტო ჯალამბრის

ამუშავების თავისებურებანი

განვიხილოთ ორბოლოიანი საშახტო ჯალამბრის ამუშავება. ამ ამოცანის თავისებურება ისაა, რომ ამუშავების დროს გარდამავალი პროცესის ხასიათზე მოქმედებს არა მხოლოდ ბაგირის (დრეკადი ტრანსმისიონი) მასა, არა მედ წონაც. დეფორმაციის დროს იცვლება ბაგირის სიმძიმის ცენტრის მდებარეობა, პოტენციური ენერგია და შესაბამისად, განზოგადებული ძალა.

რადგან ჩამავალი სკიპი ამუშავების პერიოდში ახლოსაა დამხვევ დოლთან, საშუალება გვეძლევა მისი მასა დავუმატოთ დოლისას, ჩამავალი ბაგირის სიხისტის კოეფიციენტი მივიღოთ უსასრულობის ტოლად და საბოლოო ჯამში, სინამდვილეში სამმასიანი სისტემა წარმოვიდგინოთ როგორც ორმასიანი. ამ დაშვებით მიღებული საანგარიშო სქემა მოცემულია 3.1. ა) ნახაზზე.



ნახ. 3.1. საშახტო ჯალამბრის კინემატიკური სქემა

დაგუშვათ განზოგადებული კოორდინატებია m_2 ჭურჭლის გადაადგილება y და ბაგირის ზედა ბოლოს გადაადგილება დოლის ზედაპირზე x , ხოლო m_1 არის ძრავას, გადამცემი მექანიზმისა და დოლის დაყვანილი მასა დოლის ზედაპირზე; L_0 - აწევის სიგრძე; C - ბაგირის სიხისტის კოეფიციენტი.

ვთქვათ, ჯალამბარი დამუხრუჭებულია და ამწევი ბაგირის სიგრძეა L . ძრავას ჩართვისა და განმუხრუჭის შემდეგ დოლი დაიწყებს ბრუნვას. ბაგირის დრეკადობის გამო, დოლის გარკვეულ მცირე მონაკვეთში, დოლის x და ჭურჭლის y განვლილი მანძილები განსხვავებული იქნება. რასაკვირველია, $x > y$. ჭურჭლი ჯერ ჩამორჩება დოლს, ხოლო შემდეგ, ინერციის ძალების ხარჯზე დაიწყებს რხევას.

ბაგირის მასის გასათვალისწინებლად გამოვიყენოთ რელეის მეთოდი

$$u = x - \frac{x-y}{L} z, \quad (3.1)$$

სადაც u ბაგირის კვეთის გადაადგილებაა დეფორმაციის დროს. იგი, ბაგირის დოლზე ჩამაგრების ადგილიდან z მანძილითაა დაშორებული (ნახ. 3.1. ბ).

ბაგირის კინეტიკური ენერგია გამოითვლება ფორმულით

$$T_r = \frac{1}{2} m_{0r} \int_0^L \dot{u}^2 dz = \frac{1}{2} m_{0r} \int_0^L \left(\dot{x} - \frac{\dot{x} - \dot{y}}{L} \dot{z} \right)^2 dz, \quad (3.2)$$

ხოლო ინტეგრალის ამოღების შემდეგ, იქნება

$$T_r = \frac{1}{2} m_r \frac{\dot{x}^2 + \dot{x}\dot{y} + \dot{y}^2}{3}, \quad (3.3)$$

სადაც m_{0r} ერთი მეტრი ბაგირის მასაა, m_r - მოღიანი ბაგირის მასა.

სისტემის სრული კინეტიკური ენერგია

$$T = T_1 + T_2 + T_r = \frac{1}{2} m_1 \dot{x}^2 + \frac{1}{2} m_2 \dot{y}^2 + \frac{1}{2} m_r \frac{\dot{x}^2 + \dot{x}\dot{y} + \dot{y}^2}{3}. \quad (3.3)$$

ბაგირის კვეთის გადაადგილებით გამოწვეული პოტენციური ენერგიის ცვალებადობაა

$$\Pi_1 = m_r g \int_0^L u dz = m_r g \int_0^L \left(x - \frac{x-y}{L} z \right) dz = m_r g \frac{x+y}{2}. \quad (3.5)$$

ბაგირის დეფორმაციით გამოწვეული პოტენციური ენერგიის ცვალებადობა

$$\Pi_2 = \frac{1}{2} C(x - y + f_0)^2, \quad (3.6)$$

სადაც f_0 ამავალი ბაგირის წინასწარი სტატიკური დაჭიმულობაა. მიღებულია, რომ წინასწარ დაჭიმულობას ჭურჭლის $m_2 g$ წონასთან ერთად, ქმნის ბაგირის წონის ნაევარი. ასე რომ

$$f_0 = \frac{1}{c} \left(\frac{1}{2} m_r + m_2 \right) g. \quad (3.7)$$

სისტემის სრული პოტენციური ენერგია, ჭურჭლის წონის გათვალისწინებით იქნება

$$\Pi = \Pi_1 + \Pi_2 + m_2 gy. \quad (3.8)$$

სისტემას აქვს თავისუფლების ორი ხარისხი და საჭიროა ლაგრანჯეს ორი განტოლების შედგენა.

განვსაზღვროთ განტოლებებში შემავალი წევრები

$$\begin{cases} \frac{d}{dt} \frac{\partial T}{\partial \dot{x}} = \left(m_1 + \frac{1}{3} m_r \right) \ddot{x} + \frac{1}{6} m_r \ddot{y}; \\ \frac{d}{dt} \frac{\partial T}{\partial \dot{y}} = \left(m_2 + \frac{1}{3} m_r \right) \ddot{y} + \frac{1}{6} m_r \ddot{x}; \\ \frac{\partial \Pi}{\partial x} = \frac{1}{2} m_r g + c(x-y) + \frac{1}{2} m_r g + m_2 g = (m_r + m_2) g + c(x-y); \\ \frac{\partial \Pi}{\partial y} = \frac{1}{2} m_r g - c(x-y) - \frac{1}{2} m_r g - m_2 g + m_2 g = -c(x-y); \end{cases} \quad (3.9)$$

$$Q'_x = F_{mot} \quad \text{და} \quad Q'_y = 0.$$

F_{mot} ძრავას მიერ ჯალამბრის დოლზე განვითარებული ძალაა.

უკანასკნელი სისტემიდან შეიძლება მივიღოთ ჯალამბრის ამჟმავების აღმწერი დიფერენციალურ განტოლებათა სისტემა

$$\begin{cases} a_{11}\ddot{x} + a_{12}\ddot{y} = F_{\text{mot}} - Q - c(x - y); \\ a_{21}\ddot{x} + a_{22}\ddot{y} = c(x - y), \end{cases} \quad (3.10)$$

სადაც $a_{11} = m_1 + \frac{1}{3}m_r$; $a_{12} = \frac{1}{6}m_r$; $a_{22} = m_2 + \frac{1}{3}m_r$;

$$a_{21} = a_{12}; \quad Q = (m_r + m_2)g.$$

[3]- ის გათვალისწინებით, (3.9) განტოლებათა სისტემა გადაიწერება შემდეგი სახით (ამ შემთხვევაში

$$a_{11} = m_1 + \frac{1}{2}m_r; \quad a_{12} = a_{21} = 0 \quad \text{და} \quad a_{22} = m_2 + \frac{1}{2}m_r)$$

$$\begin{cases} a_{11}\ddot{x} = F_{\text{mot}} - Q - c(x - y); \\ a_{21}\ddot{x} = c(x - y). \end{cases} \quad (3.11)$$

(3.10) სისტემა ჩავწეროთ ოპერაციული ფორმით და ცვლადები განვსაზღვროთ ნულოვანი საწყისი პირობებისათვის

$$\begin{cases} \bar{x} = \frac{F_{\text{mot}} - Q}{a_{11}a_{22}} \frac{a_{22}P^2 + c}{R^3(P^2 + c)^2}; \\ \bar{y} = \frac{F_{\text{mot}} - Q}{a_{11}a_{22}} \frac{c}{R^3(P^2 + c)^2}. \end{cases} \quad (3.12)$$

ჩვენთვის უფრო საინტერესოა აჩქარებისა და სიჩქარის განსაზღვრა. ამისათვის, (3.11) სისტემის ორივე განტოლების ორივე მხარე გავამრავლოთ P^2 -ზე და განვსაზღვროთ აჩქარება, ხოლო შემდეგ მათი ინტეგრირებით— სიჩქარე. შედეგად, მივიღებთ:

აჩქარებები -

$$\begin{cases} a_x = a_0 \left(1 + \frac{a_{22}^2 c}{c \omega} \cos \right), \\ a_y = a_0 (1 \omega t \sin), \end{cases} \quad (3.13)$$

სიჩქარეები -

$$\begin{cases} v_x = a_0 \left(\omega t \frac{a_{22}^2 c}{c \omega} \sin \right) \\ v_y = a_0 \left(\omega t \frac{1}{\omega} \sin \right), \end{cases} \quad (3.14)$$

სადაც $\omega^2 = \frac{a_{11} + a_{22}}{a_{11} a_{22}} c$, ეს გვთავს რეზოს კუთხერი

სიხშირეს, ხოლო $a_0 = \frac{F_{\text{mot}} - Q}{a_{11} + a_{22}} = \frac{F_{\text{mot}} - Q}{m_1 + m_2 + m_r}$ -

სისტემის საშუალო აჩქარების სიდიდე.

პრაქტიკული სამუშაოები

ამოცანა №1

გამოვთვალოთ მუდმივი ღენის დამოუკიდებელ-აგზნებიანი ძრავას ხელოვნური მექანიკური მახასიათებლები, რომლებიც შეესაბამება:

- ძრავას აგზნების ნაკადის ცვლილებას - $c_f = 0.75 \cdot c$;
- ძრავაზე მოდებულ ძაბვის ცვლილებას - $U_v = 0.25 \cdot U_n$;
- ღუზის წრედის წინადობის ცვლილებას - $R_r = 0.8 \cdot R_n$;

მიღებულია, რომ ძრავას დატვირთვა ყველა რეჟიმში ნომინალურია.

გამოვთვალებისათვის საჭირო მონაცემებია:

$$P_n = 5.4 \text{ კვტ}; \quad U_n = 220 \text{ ვ; } n_n = 1000 \text{ ბრ/წო; } I_n = 27 \text{ ა.}$$

ბუნებრივი მექანიკური მახასიათებელი:

ძრავას ბრუნვის სიხშირე

$$\omega_n = \frac{\pi n_n}{30} = \frac{\pi \cdot 1000}{30} \approx 105 \text{ 1/წ;}$$

მარგი ქმედების კოეფიციენტი (მქბ)

$$\eta_n = \frac{P_n 10^3}{U_n I_n} = \frac{5.4 \cdot 10^3}{220 \cdot 27} \approx 0.91;$$

ნომინალური წინადობა

$$R_n = \frac{U_n}{I_n} = \frac{220}{27} = 8.15 \text{ ომი;}$$

დუნის წინაღობა

$$R_0 = 0.5(1 - \eta_n)R_n = 0.5(1 - 0.91) \cdot 8.15 = 0.37 \text{ მმ};$$

ემ ძალის კოეფიციენტი

$$C = \frac{U_n - I_n R_0}{\omega_n} = \frac{220 - 27 \cdot 0.37}{105} = 2 \text{ ვტ};$$

ძრავას უქმი სეღლის ბრუნვის სიხშირე

$$\omega_0 = \frac{U_n}{C} = \frac{220}{2} = 110 \text{ 1/ვტ};$$

ძრავას ნომინალური მომენტი

$$M_n = C I_n = 2 \cdot 27 = 54 \text{ ნმ};$$

ბუნებრივი მექანიკური მახასიათებლის სიხისტის მოდული

$$\beta_s = \frac{C^2}{R_0} = \frac{2^2}{0.37} = 10.8 \text{ ნმ/ვტ.}$$

ბუნებრივი მექანიკური მახასიათებლის განტოლება

$\omega = f(M)$ კოორდინატებში

$$\omega_s = \omega_0 \cdot \frac{M}{\beta_s} = 110 \cdot \frac{M}{10.8}.$$

M -ის ცვლილებით (მაგ., $M = 0 \dots 1.1 \cdot M_n$) აიგება ძრავას ბუნებრივი მექანიკური მახასიათებელი.

ა) ხელოვნური მექანიკური მახასიათებელი ძრავას აგზნების ნაკადის ცვლილებისას ($C_f \neq C$)

ემ ძალის კოეფიციენტი აგზნების ნაკადის შემცირებასას, $C_f = 0.75 \cdot C$ გვმ;

იდეალური უქმი სვლის ბრუნთა რიცხვი აგზნების ნაკადის შემცირებისას

$$\omega_{0f} = \frac{\omega_0}{0.75} = \frac{110}{0.75} = 146.7 \text{ rad/s};$$

მექანიკური მახასიათებლის სიხისტის მოდული აგზნების ნაკადის შემცირებისას

$$\beta_f = 0.75^2 \cdot \beta_s = 0.75^2 \cdot 10.8 \approx 6 \text{ rad/s};$$

მექანიკური მახასიათებლის განტოლება $\omega = f(M)$
კოორდინატებში

$$\omega_f = \omega_{0f} - \frac{M}{\beta_f} = 146.7 - \frac{M}{6}.$$

ბ) სელოვნური მახასიათებელი (რეოსტატული,
 $R_r \neq R_0$)

რეოსტატული მექანიკური მახასიათებლის სიხისტის მოდული, როდესაც ღუზის წრედის ჯამური წინაღობა

$$R_r = 0.25 \cdot R_n$$

$$\beta_r = \frac{C^2}{R_r} = \frac{C^2}{0.25R_n} = \frac{2^2}{0.25 \cdot 8.15} = 1.96 \text{ rad/s};$$

რეოსტატული მექანიკური მახასიათებლის განტოლება $\omega = f(M)$ კოორდინატებში

$$\omega_r = \omega_0 \cdot \frac{M}{\beta_r} = 110 \cdot \frac{M}{1.96}.$$

გ) ხელოვნური მახასიათებელი ($U_v \neq U_n$)

იდეალური უქმი სვლის ბრუნვის სიხშირე, როდესაც
ძრავაზე მოდებულია $U_v = 0.8 \cdot U_n$ ვ. ძაბვა

$$\omega_{0v} = 0.8 \cdot \omega_0 = 0.8 \cdot 110 = 88 \quad 1/\text{გ}$$

ხელოვნური მექანიკური მახასიათებლის განტოლება
 $\omega = f(M)$ კოორდინატებში

$$\omega_v = \omega_{0v} \cdot \frac{M}{\beta_s} = 88 \cdot \frac{M}{10.8}.$$

გამოთვლებისა და გრაფიკული აგების გამარტივების მიზნით, გამოვიყენოთ დაპროგრამების სისტემა

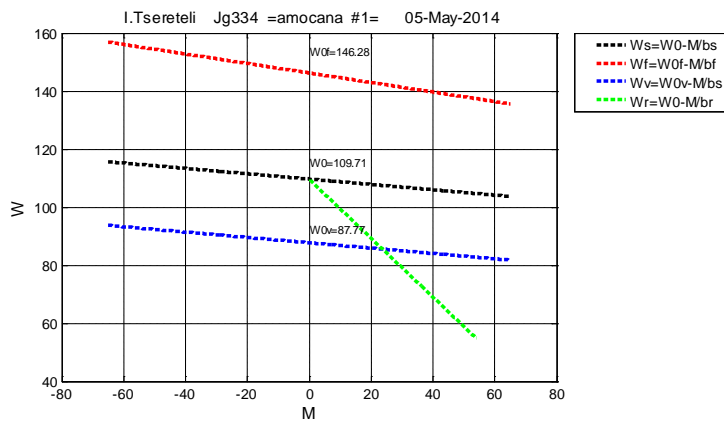
MATLAB-ი.

```
>> Gv=input('Input name ','s'); sname=' Jg';
Jg=input('Input # group','s');
Pn=input('Pn='); Un=input('Un='); In=input('In=');
Nn=input('Nn='); Pn=5.4; Un=220; In=27; Nn=1000; Wn=pi*Nn/30;
eta=Pn*10^3/Un/In; Rn=Un/In; R0=(1-eta)*Rn/2; c=(Un-In*R0)/Wn;
Mn=c*In; W0=Un/c; bs=c^2/R0; cf=.75*c; Rr=.5*Rn; W0f=W0/.75;
bf=.75^2*bs; br=c^2/Rr; W0v=.8*W0; M=-1.2*Mn:0.001:1.2*Mn;
Wss=W0-M/bs; Wff=W0f-M/bf; Wvv=W0v-M/bs;
plot(M,Wss,'k--',M,Wff,'r--',M,Wvv,'b--','LineWidth',2.5); hold on,
M=0:0.001:1.0*Mn; Wrr=W0-M;br;
plot(M,Wrr,'g--','LineWidth',2.5);grid; hold on,
legend('Ws=W0-M/bs','Wf=W0f-M/bf','Wv=W0v-M/bs', 'Wr=W0-M;br',-1);
```

```

text(.025*Mn,.03*W0,'0','FontSize',12);
text(.01,1.05*W0,['W0=',num2str(W0,'%9.2f')],'FontSize',8);
text(.01,1.05*W0f,['W0f=',num2str(W0f,'%9.2f')],'FontSize',8);
text(.01,1.05*W0v,['W0v=',num2str(W0v,'%9.2f')],'FontSize',8);
ylabel('W','FontSize',12); xlabel('M','FontSize',12);
title([Gv, sname, Jg, ' =amocana #1= ', date],'FontSize',11);

```



პროცესი №1

ამოცანა №2

გამოვთვალოთ მუდმივი დენის დამოუკიდებელ-აგზნებიანი ძრავას ბუნებრივი და ხელოვნური მექანიკური მასივიანი ძრავის მასიური მონაცემები:

1. ძრავულ რეჟიმში

ა) ბუნებრივი მექანიკური მასივიანი ძრავის კატალოგური მონაცემებით;

2. გენერატორულ რეჟიმში

ა) რეპეტერაციული დამუხრუჭება - $R_{rek} = R_0$;

ბ) დინამიკური დამუხრუჭება - $R_{din} = 0.75 \cdot R_n$;

გ) უპეჩართვით დამუხრუჭება - $R_u = 2 \cdot R_n$.

მიღებულია, რომ ძრავას დატვირთვა ყველა რეჟიმში ნომინალურია.

გამოთვლებისათვის საჭირო მონაცემებია:

$$P_n = 5.4 \text{ კვტ}; \quad U_n = 220 \text{ ვ; } n_n = 1000 \text{ ბრ/წო; } I_n = 27 \text{ ა.}$$

1. ძრავული რეჟიმი

ა) ბუნებრივი მექანიკური მასივიანი ძრავის ბრუნვის სიხშირე

$$\omega_n = \frac{\pi n_n}{30} = \frac{\pi \cdot 1000}{30} \approx 105 \text{ 1/წ;}$$

მარგი ქმედების კოეფიციენტი (მქ)

$$\eta_n = \frac{P_n 10^3}{U_n I_n} = \frac{5.4 \cdot 10^3}{220 \cdot 27} \approx 0.91;$$

ნომინალური წინადობა

$$R_n = \frac{U_n}{I_n} = \frac{220}{27} = 8.15 \text{ ვთ};$$

გუშის წინადობა

$$R_0 = 0.5(1 - \eta_n)R_n = 0.5(1 - 0.91) \cdot 8.15 = 0.37 \text{ ვთ}.$$

ემ ძალის კოეფიციენტი

$$C = \frac{U_n - I_n R_0}{\omega_n} = \frac{220 - 27 \cdot 0.37}{105} = 2 \text{ ვწ};$$

ძრავას უქმი სვლის ბრუნვის სიხშირე

$$\omega_0 = \frac{U_n}{C} = \frac{220}{2} = 110 \text{ ლწ};$$

ძრავას ნომინალური მომენტი

$$M_n = C I_n = 2 \cdot 27 = 54 \text{ ნმ};$$

ბუნებრივი მექანიკური მახასიათებლის სიხისტის მოდული

$$\beta_s = \frac{C^2}{R_0} = \frac{2^2}{0.37} = 10.8 \text{ ნმწ};$$

ბუნებრივი მექანიკური მახასიათებლის განტოლება

$\omega = f(M)$ კოორდინატებში

$$\omega_s = \omega_0 - \frac{M}{\beta_s} = 110 - \frac{M}{10.8}.$$

M-ის ცვლილებით (მაგ., $M = 0 \dots 1.1 \cdot M_n$) აიგება ძრავას ბუნებრივი მექანიკური მახასიათებელი.

2. გენერატორული რეჟიმი

ა) რებუპერაციული დამუხსრუჭება

რებუპერაციული დამუხსრუჭების მექანიკური მახასიათებლის სიხისტის მოდული, როდესაც ღუზის წრედის ჯამური წინაღობაა $R_{rek} = R_0$

$$\beta_{rek} = \frac{C^2}{R_{rek}} = \frac{C^2}{R_0} = \frac{2^2}{0.37} = 10.8 \text{ ნმ}^2;$$

რებუპერაციული დამუხსრუჭების მექანიკური მახასიათებლის განტოლება $\omega = f(M)$ კოორდინატებში

$$\omega_{rek} = \omega_0 - \frac{M}{\beta_{rek}} = 108 - \left(-\frac{M}{10.8} \right).$$

ბ) უპუჩართვით დამუხსრუჭება

უპუჩართვით დამუხსრუჭების მექანიკური მახასიათებლის სიხისტის მოდული, როდესაც ღუზის წრედის ჯამური წინაღობაა $R_u = 2 \cdot R_n$

$$\beta_u = \frac{C^2}{R_u} = \frac{C^2}{2 \cdot R_n} = \frac{2^2}{2 \cdot 8.15} = 0.245 \text{ ნმ}^2;$$

უპუჩართვით დამუხსრუჭების მექანიკური მახასიათებლის განტოლება $\omega = f(M)$ კოორდინატებში

$$\omega_u = \omega_0 - \frac{M}{\beta_u} = -\frac{M}{0.245}.$$

გ) დინამიკური დამუხსრუჭება

დინამიკური დამუხრუჭების მექანიკური მახასიათებლის სიხისტის მოდული, როდესაც დუზის წრედის ჯამური წინაღობაა $R_d = 0.75 \cdot R_n$

$$\beta_d = \frac{C^2}{R_d} = \frac{2^2}{0.75 \cdot 8.15} = 10.8 \text{ ნმ}^2;$$

დინამიკური დამუხრუჭების მექანიკური მახასიათებლის განტოლება $\omega = f(M)$ კოორდინატებში

$$\underline{\omega_d = -\frac{M}{\beta_d} = -\frac{M}{10.8}}.$$

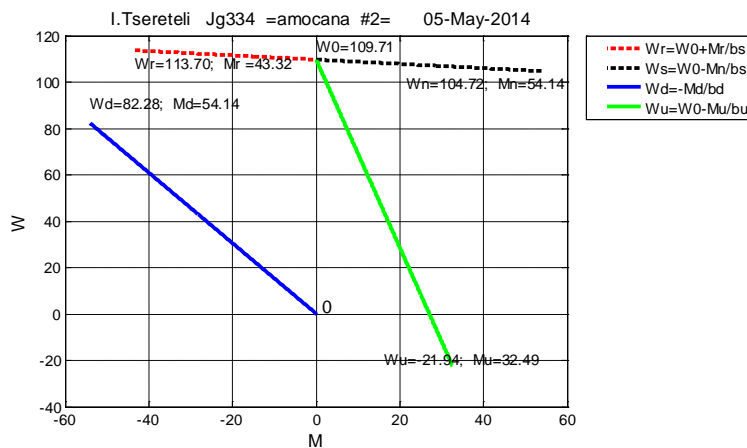
გამოთვლებისა და გრაფიკული აგების გამარტივებლის მიზნით გამოვიყენოთ დაპროგრამების სისტემა MATLAB-ი

```
>> Gv=input('Input name ','s');sname=' Jg';
Jg=input('Input # group','s'); Pn=input('Pn='); Un=input('Un=');
In=input('In='); Nn=input('Nn='); % Pn=5.4; Un=220; In=27;
Nn=1000; Wn=pi*Nn/30; Id=In; Iu=.6*In; Ir=.8*In; Rn=Un/In;
En=Pn*1000/Un/In; R0=.5*(1-En)*Rn; W0=2*Wn/(1+En);
C=Un/W0; Mn=C*Iu; Md=C*Id; Mu=C*Iu; Mr=C*Ir; bs=C^2/R0;
br=bs; Ru=2*Rn; bu=C^2/Ru; Rd=.75*Rn; bd=C^2/Rd;
Wr=W0+Mr;br; Wd=Md/bd; Wu=W0-Mu/bu; M=-Mr:.01:0;
Wrr=W0-M/bs; plot(M,Wrr,'r--','LineWidth',2.5); hold on,
M=0:.01:Mn; Wss=W0-M/bs;
plot(M,Wss,'k--','LineWidth',2.5); hold on, M=0:-.01:-Md;
Wdd=-M/bd;
plot(M, Wdd,'b','LineWidth',2.5); hold on, M=0:.01:Mu; Wuu=W0-
M/bu; plot(M, Wuu,'g','LineWidth',2.5); grid;
```

```

legend('Wr=W0+Mr/b', 'Ws=W0-Mn/b', 'Wd=-Md/bd', 'Wu=W0-Mu/bu', -1);
text(.025*Mn,.03*W0,'0','FontSize',12);
text(.01,1.05*W0,['W0=',num2str(W0,'%9.2f')],'FontSize',10);
text(.4*Mn,.95*Wn,['Wn=',num2str(Wn,'%9.2f')],);
Mn=' ,num2str(Mn,'%9.2f')],'FontSize',10);
text(-Mr,.95*Wr,['Wr=',num2str(Wr,'%9.2f')],);
Mr=' ,num2str(Mr,'%9.2f')],'FontSize',10);
text(-Md,1.1*Wd,['Wd=',num2str(Wd,'%9.2f')],);
Md=' ,num2str(Md,'%9.2f')],'FontSize',10);
text(Mu/2,.9*Wu,['Wu=',num2str(Wu,'%9.2f')],);
Mu=' ,num2str(Mu,'%9.2f')],'FontSize',10);
ylabel('W','FontSize',12); xlabel('M','FontSize',12);
title([Gv, sname, Jg, ' =amocana #2= ', date],'FontSize',12);

```



ამოცანა №2

ამოცანა №3

გამოვთვალოთ ცელადი დენის ფაზურ-როტორიანი ძრავას ბუნებრივი და ხელოვნური მექანიკური მახასიათებლები, რომლებიც შეესაბამება:

- ა) როტორის წრედის ჯამურ წინაღობას $R_R = 0.025 \cdot R_{2n}$;
- ბ) ძრავაზე მოდებულ ძაბვას $- U_1 = 0.85 \cdot U_{in}$.

გამოვთვლებისათვის საჭირო მონაცემებია:

ძრავას ნომინალური სიმძლავრე $- P_n = 30 \text{ კვტ}$;

ნომინალური ბრუნთა რიცხვი $- n_n = 970 \text{ ბრ/წთ}$;

ნომინალური გადატვირთვის კოეფიციენტი $- b_n = 2.6$;

ქსელის ხაზური ძაბვა $- U_{in} = 380 \text{ ვ}$;

სტატორის ნომინალური დენი $- I_{1n} = 67 \text{ ა}$;

როტორის ნომინალური ძაბვა $- U_{2n} = 225 \text{ ვ}$;

როტორის ნომინალური დენი $- I_{2n} = 72 \text{ ა}$.

ნომინალური მომენტის სიდიდე

$$M_n = 1.05 \frac{9555 \cdot P_n}{n_n} = 1.05 \frac{9555 \cdot 30}{970} = 310 \text{ ნმ},$$

სადაც 1.05 ითვალისწინებს ძრავაში მომენტების დანაკარგებას.

მაქსიმალური მომენტის მნიშვნელობა

$$M_m = b_n M_n = 2.6 \cdot 310 = 806 \text{ ნმ};$$

ნომინალური სრიალის შესაბამისი მნიშვნელობა

$$S_n = 1 - \frac{n_n}{n_0} = 1 - \frac{970}{1000} = 0.03,$$

საგვარეულო

$$n_0 = 3000 / \text{round}(3000 / n_n) = 3000 / \text{round}(3000 / 970) = 1000$$

$$S_{m0} = S_n \left(b_n + \sqrt{b_n^2 - 1} \right) = 0.03 \left(2.6 + \sqrt{2.6^2 - 1} \right) = 0.15 .$$

ბუნებრივი მექანიკური მახასიათებლის ასაგებ ფორმულას, აქვს ასეთი სახე:

$$M = \frac{2M_m S_m}{S_m^2 + S^2} S = \frac{2 \cdot 806 \cdot 0.15}{0.15^2 + S^2} S.$$

ამამუშავებელი მომენტის მნიშვნელობა ბუნებრივ მახასიათებელზე ($S = 1$),

$$M_0 = \frac{2M_m S_m}{S_m^2 + 1^2} \cdot 1 = \frac{2 \cdot 806 \cdot 0.15}{0.15^2 + 1^2} \cdot 1 = 236.260$$

ოოგორის ნომინალური წინაღობა

$$R_n = \frac{U_{2n}}{\sqrt{3} I_{2n}} = \frac{225}{\sqrt{3} \cdot 72} = 1.8 \text{ ohms}$$

როგორის გრაგნილის წინადობა

$$r_0 = R_n S_n = 1.8 \cdot 0.03 = 0.054 \text{ мд} \Omega;$$

როტორის წრედში მიერთებული რეოსტატის
წინააღმდეგობა

$$R_R = 0.025 \cdot R_{2n} = 0.025 \cdot 1.8 = 0.045 \text{ მმი;}$$

მაქსიმალური სრიალის მნიშვნელობა ხელოვნურ მასასიათებელზე, რომელიც შეესაბამება როტორის წრედში მიერთებულ R_R წინადობას

$$S_{mR} = S_{m0} \left(1 + \frac{R_R}{R_{20}} \right) = S_{m0} \left(1 + \frac{k_R}{S_n} \right) = 0.15 \left(1 + \frac{0.025}{0.03} \right) = 0.275.$$

რეოსტატული მექანიკური მასასიათებლის ასაგები ფორმულა

$$M_R = \frac{2M_m S_{mR}}{S_{mR}^2 + S^2} S = \frac{2 \cdot 806 \cdot 0.275}{0.275^2 + S^2} S,$$

ამამუშავებელი მომენტის მნიშვნელობა ამ მასასიათებელზე ($S = 1$),

$$M_{R0} = \frac{2 \cdot 768 \cdot 0.275}{0.275^2 + 1} \cdot 1 \approx 412 \text{ ნმ.}$$

ხელოვნური მექანიკური მასასიათებლის ასაგებად, როდესაც ხაზური ძაბვის მნიშვნელობა შემცირდება

$$\frac{U_1}{U_{1n}} = 0.85 - \text{ჯერ და მაქსიმალური მომენტის მნიშვნელობა} - 0.85^2 - \text{ჯერ, ფორმულა მიიღებს შემდეგ სახეს } (k_u = 0.85)$$

$$M_u = 0.85^2 \cdot M = 0.85^2 \cdot \frac{2M_m S_m}{S_m^2 + S^2} S \text{ ნმ.}$$

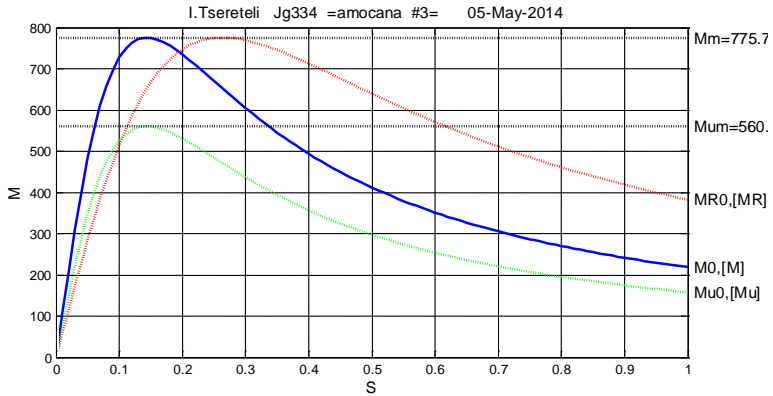
ამამუშავებელი მომენტის მნიშვნელობა ($S = 1$),

$$M_{U_0} = 0.85^2 \cdot M_0 = 0.85^2 \cdot 236.2 = 170.7 \text{ da}$$

აექანიკური მახასიათებლების ასაგებად, სამივე შემთხვევაში გამოვიყენოთ დაპროგრამების სისტემა

MATLAB-ი.

```
>> Gv=input('Input name ','s');sname=' Jg';
Jg=input('Input # group','s');
Pn=input('Pn='); nn=input('nn='); bn=input('bn=');
U2n=input('U2n='); l2=input('l2=');
% Pn=30; nn=970; l1n=67;U2n=225; l2n=72; bn=2.5;
Mn=1.05*9555*Pn/nn; Mm=bn*Mn; n0=3000/round(3000/nn);
Sn=1-nn/n0; Sm0=Sn*(bn+(bn^2-1)^0.5); R2n=U2n/1.73/l2n;
R2=Sn*R2n; RR=.025*R2n; SmR=Sm0*(1+.025/Sn); S=0:.01:1;
Ms=0.0001; M=2*Mm*Sm0*S./(Sm0.^2+S.^2); Mu=.85^2*M;
M0=2*Mm*Sm0*1/(Sm0.^2+1); Mum=.85^2*Mm; Mu0=.85^2*M0;
MR=2*Mm*SmR*S./(SmR.^2+S.^2); Mm0=Mm+Ms*sin(S);
MR0=2*Mm*SmR*1/(SmR.^2+1); M00=M0+Ms*sin(S);
Mum0=Mum+Ms*sin(S); Mu00=Mu0+Ms*sin(S);
MR00=MR0+Ms*sin(S);
plot(S,M,'b-
',S,MR,'r:',S,Mu,'g:',S,Mm0,'k:',S,Mum0,'k:','LineWidth',2); grid;
h=text(1.01,Mm,['Mm=',num2str(Mm,'%9.2f')], 'FontSize',12);
h=text(1.01,Mum,['Mum=',num2str(Mum,'%9.2f')], 'FontSize',12);
h=text(1.01,M0,['M0,[M]'], 'FontSize',12);
h=text(1.01,Mu0,['Mu0,[Mu]'], 'FontSize',12);
h=text(1.01,MR0,['MR0,[MR]'], 'FontSize',12);
ylabel('M','FontSize',12); xlabel('S','FontSize',12);
title([Gv, sname, Jg, ' =amocana #3= ', date],'FontSize',12);
```



ამოცანა №3

ამოცანა №4

სამფაზა ცვლადი დენის ფაზურ-როტორიანი ასინქ-
რონული ძრავასათვის, რომლის კატალოგური მონაცემებ-
ია:

ნომინალური სიმძლავრე $- P_n = 30 \text{ კვტ}$;

ნომინალური ძაბვა $- U_{1n} = 380 \text{ ვ}$;

როტორის ნომინალური ძაბვა $- U_{2n} = 255 \text{ ვ}$;

როტორის ნომინალური დენი $- I_{2n} = 72 \text{ ა}$;

ნომინალური გადატვირთვის კოეფიციენტი $- b_n = \frac{M_m}{M_n} = 2.5$;

ნომინალური ბრუნთა რიცხვი $- n_n = 970 \text{ ბრ/წო}$.

სტატიკური დატვირთვა ძრავას ლილვზე $- M_{st} = 0.75 \cdot M_n$.

გამოვითვალოთ ძრავას ამამუშავებელი წინადობის სიდი-
დენი.

ნომინალური ბრუნთა რიცხვის შესაბამისი სტანდა-
რტული სინქრონული ბრუნთა რიცხვი

$n_0 = 3000 / \text{round}(3000 / n_n) = 3000 / \text{round}(3000 / 970) = 1000$
სრიალის ნომინალური მნიშვნელობა

$$S_n = 1 - \frac{n_n}{n_0} = 1 - \frac{970}{1000} = 0.03;$$

სრიალის მაქსიმალური მნიშვნელობა

$$S_{m0} = S_n \left(b_n + \sqrt{b_n^2 - 1} \right) = 0.03 \left(2.5 + \sqrt{2.5^2 - 1} \right) = 0.1437 ;$$

მომენტის ნომინალური სიდიდე

$$M_n = 9550 \frac{P_n}{n_n} = 9550 \frac{30}{970} \approx 296 \text{ ნბ;}$$

მომენტის მაქსიმალური სიდიდე

$$M_m = b_n M_n = 2.5 \cdot 296 = 740 \text{ ნბ;}$$

მივიღოთ, რომ სტატიკური მომენტის სიდიდე

$$M_{st} = 0.75 \cdot M_n = 0.75 \cdot 296 = 222 \text{ ნბ;}$$

M_2 გადართვის მომენტის მნიშვნელობა აიღება სტატიკურზე ($15\ldots 20\%$)- ით მეტი

$$M_2 = 1.15 \cdot M_{st} = 1.15 \cdot 222 \approx 255 \text{ ნბ;}$$

შესაბამისი გადატვირთვის კოეფიციენტი

$$b_2 = \frac{M_m}{M_2} = \frac{740}{255} = 2.9 \text{ ნბ;}$$

მისი კოეფიციენტი

$$a_2 = b_2 - \sqrt{b_2^2 - 1} = 2.9 - \sqrt{2.9^2 - 1} = 0.178 .$$

ამამუშავებელი მომენტის (M_0) მნიშვნელობად მივიღოთ

$$M_0 = 1.2 M_n = 1.2 \cdot 296 \approx 355 \text{ ნბ;}$$

შესაბამისად,

$$b_0 = \frac{M_m}{M_0} = \frac{740}{355} = 2.085 .$$

მაშინ, ამამუშავებელი მომენტის გადატვირთვის კოეფიციენტი

$$b_1 = \frac{b_0^2}{b_2} = \frac{2.085^2}{2.9} = 1.5 ;$$

მისი კოეფიციენტი

$$a_1 = b_1 - \sqrt{b_1^2 - 1} = 1.5 - \sqrt{1.5^2 - 1} = 0.382 .$$

ამამუშავებელი საფეხურების რაოდენობა

$$z = \text{round} \left[\frac{\lg \left(\frac{1}{a_1 S_{m0}} \right)}{\lg \left(\frac{a_1}{a_2} \right)} \right] = \text{round} \left[\frac{\lg \left(\frac{1}{0.382 \cdot 0.1437} \right)}{\lg \left(\frac{0.382}{0.178} \right)} \right] = 4 ;$$

z -ის ამ მნიშვნელობისათვის a_1 იანგარიშება

$$a_1 = \left(\frac{a_2^z}{S_{m0}} \right)^{\frac{1}{z+1}} = \left(\frac{0.178^4}{0.1437} \right)^{\frac{1}{4+1}} = 0.371 .$$

b კოეფიციენტის მნიშვნელობა

$$b = \frac{a_1}{a_2} = \frac{0.371}{0.178} = 2.0843 .$$

ბუნებრივი და ხელოვნური მახასიათებლები აიგება ფორმულით

$$M = \frac{2M_m(S_{m0}b^z)}{(S_{m0}b^z)^2 + S^2} S = \frac{2 \cdot 740 \cdot (0.1437 \cdot 1.2082^z)}{(0.1437 \cdot 1.2082^z)^2 + S^2} S.$$

როცა $z = 0$, აიგება ბუნებრივი მახასიათებელი, ხოლო
როცა $z = 1\dots 4$ - შესაბამისი ხელოვნური მახასიათებლი.

როგორის ნომინალური წინაღობა

$$R_n = \frac{U_{2n}}{\sqrt{3} I_{2n}} = \frac{255}{\sqrt{3} \cdot 72} = 2.047 \text{ მმ},$$

როგორის ფაზის წინაღობა

$$r_0 = R_n S_n = 2.047 \cdot 0.03 = 0.0614 \text{ მმ},$$

როგორის წრედში ყოველ საფეხურზე მიერთებული
წინაღობა

$$R_z = r_0 \cdot b^z = 0.0614 \cdot 1.2082^z,$$

თითოეული საფეხურის წინაღობა

$$\begin{aligned} r_z &= R_z - R_{z-1} = r_0(b - 1)b^{z-1} = \\ &= 0.0614 \cdot (1.2082 - 1) \cdot 1.2082^{z-1} = 0.01278 \cdot 1.2082^{z-1}. \end{aligned}$$

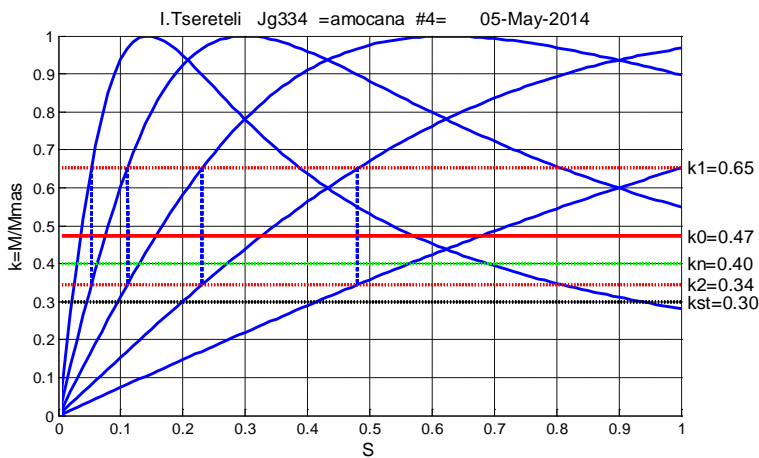
მექანიკური მახასიათებლების ასაგებად და წინაღო-
ბათა გასაანგარიშებლად გამოვიყენოთ დაპროგრამების
სისტემა MATLAB-ი

```
>> Gv=input('Input name ','s');sname='Jg'; Jg=input('Input # group','s');
```

```

Pn=input('Pn=');U2=input('U2='); I2=input('I2='); bn=input('bn =');
nn=input('nn=');
% Pn=30; U2=255; I2=72; bn =2.5; nn=970;
n0=3000/round((3000/nn)); Sn=1-nn/n0; Sm0=Sn*(bn+(bn^2-
1)^0.5); Wn=pi*nn/30;
W0=pi*n0/30; Mn=Pn*1000/Wn; Mst=0.75*Mn; Mm=bn*Mn;
M2=1.15*Mst; b2=Mm/M2;
a2=b2-(b2^2-1)^0.5; M0=1.2*Mn; b0=Mm/M0; b1=b0^2/b2; a1=b1-
(b1^2-1)^0.5;
Z0=log(1/a1/Sm0)/log(a1/a2); Z= ceil(Z0);
a1=(a2^Z/Sm0)^(1/(Z+1)); b1=(a1^2+1)/2/a1;
M1=Mm/b1; M0=(M1*M2)^0.5; Rr0=U2^Sn/(3)^.5/I2; b=a1/a2;
disp(sprintf('Z=%g',Z));
for n=0:Z; Rr=Rr0*b^n; disp(sprintf('R%g=%g',n,Rr)); end,
kst=Mst/Mm; kn=Mn/Mm;
k2=M2/Mm; k0=M0/Mm; k1=M1/Mm; disp([sprintf(
Z=%g,Z),sprintf(' Mm=%g',Mm)]);
for n=0:Z; S=0:.01:1; kst0=kst+0.0001*sin(S);
k20=k2+0.0001*sin(S);
k10 = k1+0.0001*sin(S); k00=k0+0.0001*sin(S);
kn0=kn+0.0001*sin(S);
Sm0ax=Sm0*b^n; k=2*Sm0ax*S./(Sm0ax.^2+S.^2); hold on,
plot(S,k,'b-',S,kst0,'k:',S,k20,'r:',S,k10,'r:', S,k00,'r-', S, kn0, 'g:',
'LineWidth', 2); grid;
ylabel('k=M/Mmas','FontSize',12); xlabel('S','FontSize',12);
for n=0:Z-1; S10=Sm0*(b1-(b1^2-1)^.5); S1x=S10*b^n;
x=0:.0001:.0002;
y00=k1+(k2-k1)/0.0002*x; hold on, plot(S1x+x,y00,'b-
','LineWidth',2); end;end;
text(1.01,k1,['k1=',num2str(k1,'%9.2f')],'FontSize',12);
text(1.01,k0,['k0=',num2str(k0,'%9.2f')],'FontSize',12);
text(1.01,k2,['k2=',num2str(k2,'%9.2f')],'FontSize',12);
text(1.01, kn,['kn=',num2str(kn,'%9.2f')],'FontSize',12);
text(1.01, kst,['kst=',num2str(kst,'%9.2f')],'FontSize',12);
title([Gv, sname, Jg, ' =amocana #4= ', date],'FontSize',12);

```



ამოცანა №4

საკურსო სამუშაო I

ორბოლოიანი საშახტო ჯალამბრის ამუშავების რეჟიმის გაანგარიშება.

მოძრაობის ამსახველ დიფერენციალურ განტოლებათა სისტემა

$$\begin{cases} a_{11}\ddot{x} = F_0 - c(x - y); \\ a_{22}\ddot{y} = c(x - y). \end{cases}$$

შემავალი პარამეტრების განსაზღვრისათვის, ჩავატაროთ გაანგარიშება.

წინასწარი საჭირო მონაცემებია:

- დახრილი გამონამუშევრის სიგრძე - $L_0 = 420$ მ;
- გამონამუშევრის დახრის კუთხე - $\alpha = 25^\circ$;
- საათობრივი მწარმოებლობა - $A_h = 200$ ტ/სთ.

1. სკიპის ტონაჟის შერჩევა

ორსკიპიანი აწევის დროს, სკიპის ტვირთის უხელსაყრელესი მასა გამოითვლება ფორმულით

$$m_0 = \frac{4\sqrt{L\theta}}{3.6} + A_h = \frac{4\sqrt{420} + 12}{3.6} 200 \approx 5221 \text{ კგ},$$

სადაც $\theta = 10 \dots 12$ წმ პაუზის ხანგრძლივობაა და აიღება სკიპის ტონაჟის მიხედვით:

გამონამუშევრის დახრის კუთხისა და გაანგარიშებული მასის მიხედვით I დანართიდან შევარჩიოთ სკიპი, რომლის ტვირთამწეობაა $m_0 = 6000$ კგ, ხოლო საკუთარი

მასა - $m_{sk} = 4322 \text{ კგ}$.

შენიშვნა: დიდი მწარმოებლობის დროს შესაძლოა დაგვჭირდეს რამდენიმე სკიპის არჩევა

2. ამტევი ბაგირის შერჩევა

ერთი მეტრი ბაგირის მასა გამოითვლება შემდეგნაირად

$$m_{0R} = \frac{(m_0 + m_{sk}) \sin}{L' - L_r (\sin w \cos \alpha)} =$$

$$= \frac{(6000 + 4322) \sin 25}{2487 - 440 (\sin 25 + 0.3 \cos 25)} \approx 2 \text{ კგ / მ},$$

სადაც $w_r \approx 0.3$ ბაგირის მიმმართველ გორგოლაჭებზე მოძრაობის წინადობის კოეფიციენტია; $L' = 2487 \text{ მ} -$ ბაგირის მტკიცე სიგრძე; $L_r = L_0 + 20 = 420 + 20 = 440 \text{ მ} -$ ბაგირის სრული სიგრძე.

II დანართიდან ბაგირი შევირჩიოთ შემდეგი მონაცემების მიხედვით:

ბაგირის ერთი მეტრი მასა $m_{0r} = 2.13 \text{ კგ/მ};$

ბაგირის დიამეტრი $d_r = 23.5 \text{ მმ};$

ბაგირის კვეთის ფართობი $s_r = 216 \text{ მმ}^2;$

ბაგირის გამგლევი ძალა $T_r = 277000 \text{ ნ} = 277 \text{ კნ};$

ბაგირის მთლიანი მასა $m_r = m_{0r} L_r = 2.13 \cdot 440 \approx 937 \text{ კგ}.$

3. ბაგირის სიხისტის კოეფიციენტი

გორგოლაჭებს შორის მაქსიმალური დაშორება იმი-

სათვის, რომ ბაგირი არ შეეხოს ზედაპირს, იანგარიშება შემდეგი სახით:

$$l_0 = \sqrt{\frac{2.4(m_{sk} + 0.5 \cdot m_r)}{m_{0r}} \operatorname{tg} \alpha}$$

$$= \sqrt{\frac{2.4(4322 + 0.5 \cdot 937)}{2.13} \operatorname{tg} 25^\circ} = 50.17 \text{ მ};$$

გორგოლაჭების რაოდენობა

$$n = \operatorname{round}\left(\frac{L_0}{l_0}\right) = \operatorname{round}\left(\frac{420}{50.17}\right) = 8;$$

გორგოლაჭებს შორის ბაგირის სიხისტის კოეფიციენტის ვერტიკალური შემდგენი გამოითვლება

$$C_V = \frac{E_r s_r}{l_0} = \frac{2.1 \cdot 10^5 \cdot 216}{50.17} = 904126 \text{ ნ/მ};$$

ხოლო ჰორიზონტალური

$$C_H = \frac{12H_r^3}{l_0(m_{0r}gl_0)^2 \cos \alpha} =$$

$$= \frac{12 \cdot 46631^3}{50.17 \cdot (2.13 \cdot 9.81 \cdot 50.17)^2 \cdot \cos 25^\circ} = 24350069 \text{ ნ/მ}.$$

აქ,

$$H_r = (m_0 + m_{sk} + m_r) g \sin \alpha$$

$$= (6000 + 4322 + 937) \cdot 9.8 \cdot \sin 25^\circ = 46631 \text{ ნ};$$

$E_r = 2.1 \cdot 10^5$ - ბაგირის დრეკადობის მოდული, ნ/მ²;

გორგოლაჭებს შორის ბაგირის სრული სიხისტის კოეფი-

Յոյնիք

$$C_0 = \frac{C_V C_H}{C_V + C_H} = \frac{904126 \cdot 24350069}{904126 + 24350069} \approx 871757 \text{ Բ/Ժ},$$

ծագորությունը կախված է սուբյեկտիվ գոյացությունից

$$C = \frac{C_0}{n} = \frac{871757}{8} = 108970 \text{ Բ/Ժ.}$$

4. Տիպար դաշտային գոյացությունը ամերական գումարությունը կազմում է մոտ 31.26 յն.

$$\begin{aligned} Q &= [(m_0 + m_r) \sin \alpha g =] \\ &= [(6000 + 937) \sin 25^\circ + 937 \cdot 0.3 \cdot \cos 25^\circ] 9.81 \approx 31.26 \text{ յն} \end{aligned}$$

III դասարական, առաջին սուբյեկտիվ, ծագորությունը և առաջին դաշտային գոյացությունը մուտքած են մասնակիությամբ առաջարկությունում:

Ցույց 2ΠΤ;

Գումար 2 ժամանակամաս - 2;

Գումար գումարական ժամանակամաս - $D_j = 1.2 \text{ ժ.}$

Գումար սուբյեկտիվ գումարական ժամանակամաս - $B = 1.0 \text{ ժ.}$

Մասնակիությունը առաջին դաշտային գումարական ժամանակամաս - $F_{st} = 35 \text{ յն.}$

Ծագորությունը առաջին սուբյեկտիվ գումարական ժամանակամաս - $L_0 = 475 \text{ ժ.}$

Գումար ծագորությունը մայնամանական գումարական ժամանակամաս - $V_m = 2 \text{ Ժ/Դ.}$

Հաղորդական գումարական ժամանակամաս - $m_j = 9600 \text{ յօ.}$

Ամերական մասնակիությունը պահանջանական գումարական ժամանակամաս - $P_n = 80 \text{ յօ.}$

ამძრავი ძრავას ბრუნთა რიცხვი - $n_n = 960$ ბრ/წ.

5. ამუშავების პროცესი

განტოლებაში შემავალი პარამეტრები:

$$m_1 = m_j + m_{sk} = 9600 + 4322 = 13922 \text{ კგ;}$$

$$m_2 = m_0 + m_{sk} = 6000 + 4322 = 10322 \text{ კგ;}$$

$$a_{11} = m_1 + \frac{1}{2}m_R = 13922 + \frac{1}{2}937 \approx 14390 \text{ კგ;}$$

$$a_{22} = m_2 + \frac{1}{2}m_R = 10322 + \frac{1}{2}937 \approx 10790 \text{ კგ;}$$

სისტემის საშუალო აჩქარების მნიშვნელობად მივიღოთ $a_0 = 0.75 \text{ მ/წ}^2$, მაშინ F_{mot} ძალის მნიშვნელობა იქნავის

ება

$$\begin{aligned} F_{mot} &= a_0 (a_{11} + a_{22}) + Q = \\ &= 0.75(14390 + 10790) + 31260 = 50145 \text{ ნ.} \end{aligned}$$

საბოლოოდ, $\begin{cases} a_{11}\ddot{x} = F_0 - c(x - y); \\ a_{22}\ddot{y} = c(x - y). \end{cases}$

განტოლებათა სისტემა ასე გადაიწერება:-

$$\begin{cases} 14390 \cdot \ddot{x} = 18885 - 108970(x - y); \\ 10790 \cdot \ddot{y} = 108970(x - y), \end{cases}$$

სადაც $F_0 = F_{mot} - Q = 50145 - 31260 = 18885 \text{ ნ, სისტემაზე}$

მოდებული ძალის დინამიკური შემდგენია.

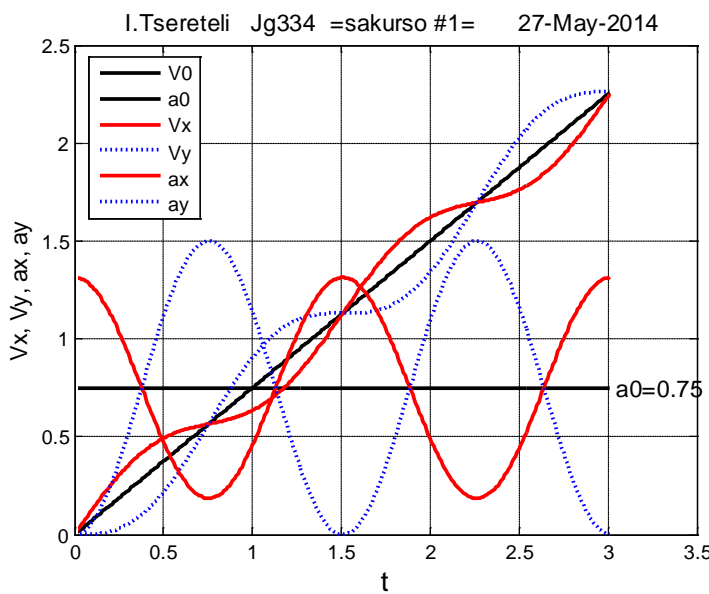
მათემატიკური გამოთვლებისა და გრაფიკული აგებდის გამარტივების მიზნით, გამოვიყენოთ დაპროგრამების სისტემა MATLAB-ი.

```
>> Gv=input('Input name ','s');sname='Jg'; Jg=input('Input # group','s');
L0=input('L0 ='); alfagr=input('alfagr ='); A0=input('A0 =');
% L0=420; alfagr=25; A0=200;
alfa=pi/180*alfagr; g=9.81; m0=(4*(L0)^.5+12)*A0/3.6; Lr=L0+20;
Er=2.1*10^5; j=.75;
m01=[2000, 3000, 4000, 6000]; n=min(find(m01>=m0));
m0=m01(n);
msk1=[2553, 3011, 3086, 4422]; msk=msk1(n);
Vm=0.32*(j*L0)^.5;
m0r=(m0+msk)*sin(alfa)/(2487-Lr*(sin(alfa)+0.3*cos(alfa)));
mr=[.3835,0.513,.6965,.812,1.045,1.245,1.52,1.83,2.13,2.495,2.8,3.215,3.655,4.155,4.55];
n=min(find(mr>=m0r)); m0r=mr(n);
d0r=[9.7,11.5,13.5,15,16.5,18,20,22,23.5,25.5,27,29,31,33,34.5];
dr=d0r(n);
s0r=[38.82,51.96,70.55,82.16,105.73,125.78,154,185,216,252.5,284,325.4,370,421,461];
sr=s0r(n); mr=m0r*Lr; I0=(2.4*(msk+0.5*mr)*tan(alfa)/m0r)^0.5;
Hr=(m0+msk+mr)*g*sin(alfa); Cv=Er*sr/I0;
Ch=12*Hr^3/((m0r*g*I0)^2*I0*cos(alfa));
nnn=round(L0/I0); C0=Cv*Ch/(Cv+Ch); C=C0/nnn; Ms=.001;
Q00=g*((m0+mr)*sin(alfa)+0.3*mr*cos(alfa))/1000; Q0=[25,35,40];
n=min(find(Q0>=Q00)); Q=Q0(n); mj0=[9200,9600,10450];
mj=mj0(n);
m1=mj+msk; m2=m0+msk; a11=m1+mr/2; a22=m2+mr/2;
Smm=m1+m2+mr; a0=.75;
Fm0t=a0*Smm+Q00; w=((a11+a22)*C/(a11*a22))^0.5; T0=2*pi/w;
uu=2; t=0:0.01:uu*T0;
a00=a0+Ms*sin(t); V0=a0*t; ax=a0*(1+(a22*w^2-C)/C*cos(w*t));
ay=a0*(1-cos(w*t));
Vx=a0*(t+(a22*w^2-C)/C/w*sin(w*t)); Vy=a0*(t-1/w*sin(w*t));
plot(t,V0,'k-',t,a00,'k-',t,Vx,'r-',t,Vy,'b:',t,ax,'r-
',t,ay,'b:','LineWidth',2); grid;
xlabel('t','FontSize',14); ylabel('Vx, Vy, ax, ay','FontSize',12);
```

```

legend('V0','a0','Vx','Vy','ax','ay',2);
h=text(1.01*uu*T0,a0,['a0=',num2str(a0,'%9.2f')], 'FontSize',12);
title([Gv, sname, Jg, ' =sakurso #1= ', date],'FontSize',12);

```



საკურსო სამუშაო II

ერთმალიანი, ორვაგონიანი ქანქარასებრი კიდული
სამგზავრო ბაგირგზის ამუშავების რეჟიმის გაანგარიშება

ბაგირგზის მუდმივ სიდიდეებად მიღებული ძირითადი
პარამეტრები და მათი განზომილების ერთეულები

$f_0 = 0.06$ - ვაგონის სარელსო ბაგირზე მოძრაობის წინა-
დობის კოეფიციენტი;

$t_0 = 200$ -საწევი ბაგირის ერთი შტოს მოძრაობის წინაღო-
ბის მნიშვნელობა, ს;

$E_r = (1.6 \dots 2.1) \cdot 10^5$ - ფოლადის მავთულის დრეკადობის
მოდული, ნ/მ²;

m_E - ცარიელი ვაგონის მასაა კგ;

$m_C \approx \frac{2}{3}m_E$ - სავალი ურიკის (კარეტის) მასა, კგ;

$m_{EC} = m_E + m_C$ - ცარიელი ვაგონის მასა ურიკით (კარეტ-
ით), კგ;

N - მგზავრთა რაოდენობა ვაგონში;

$m_q \approx 80$ - ერთი მგზავრის სავარაუდო მასა ვაგონში, კგ;

$m_{FC} = m_{EC} + N \cdot m_q$ - სავსე ვაგონის მასა ურიკით, კგ;

$k = 12$ - კ.წ. “გრძელვადიანობის” კოეფიციენტი;

q_1 , q_2 - ერთი მეტრი სარელსო და საწევი ბაგირების წონა, ნ/მ;

$n_1 = 3.3, n_2 = 4.5$ - სარელსო და საწევი ბაგირების მარაგის კოეფიციენტები;

$\alpha_{1,2} = 0.82 \dots 0.9$ - ბაგირის მავთულების დატვირთვის უთანაბრობის კოეფიციენტი;

$S_1 = 1200 \dots 1900, S_2 = 1400 \dots 2200$ - სარელსო და საწევი ბაგირების სიმტკიცის ზღვარი გაგლეჯაზე, ნ/მ²;

s_1, s_2 - სარელსო და საწევი ბაგირების ლითონის კვეთი, მმ²;

$$g_1 = \frac{q_1}{S_1} \approx 0.085, \quad g_2 = \frac{q_2}{S_2} \approx 0.095 - \text{სარელსო და საწევი ბაგირების ფიქტური მოცულობითი წონა, ნ/მ}^3$$

ირების ფიქტური მოცულობითი წონა, ნ/მ³;

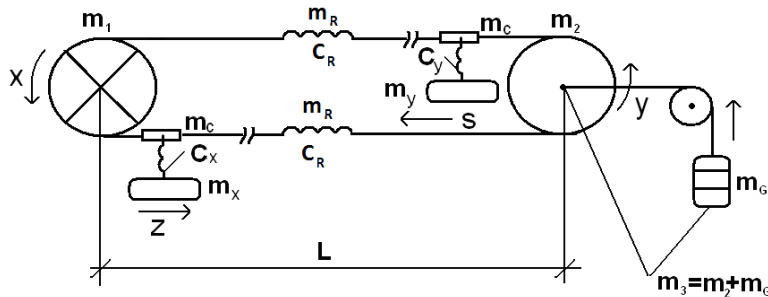
$T_1 = 0.85 \cdot S_1 \cdot s_1, \quad T_2 = 0.9 \cdot S_2 \cdot s_2$ სარელსო და საწევი ბაგირების გამგლეჯი ძალა, ნ;

$$T_{1\max} = \frac{T_1}{n_1} = \frac{0.85 \cdot S_1 \cdot q_1}{g_1 \cdot n_1} = b_1 q_1, \quad T_{2\max} = \frac{T_2}{n_2} = \frac{0.9 \cdot S_2 \cdot q_2}{g_2 n_2} = b_2 q_2 -$$

სარელსო და საწევი ბაგირების დაჭიმულობის დასაშვები მაქსიმალური მნიშვნელობა, ნ;

$$b_1 = \frac{0.85 \cdot S_1}{g_1 n_1}, \quad b_2 = \frac{0.9 \cdot S_2}{g_2 n_2} - \text{მაქსიმალურ ძალას კოეფიციენტი, ნ;}$$

საანგარიშო სამგზავრო ქანქარასებრი კიდული ბაგირგზა ერთმალიანია, ორგაგონიანი. საანგარიშო კინემატიკურ სქემას შესაძლოა ასეთი შემდეგი სახე ჰქონდეს:



სადაც m_1 არის ამძრავი ძრავას, რედუქტორისა და მიმმართველი შკივების მასა, დაყვანილი ამძრავ შკივზე; m_2 -დამჭირი და მიმმართველი შკივების მასათა ჯამი; m_G -საწევი ბაგირის დამჭირი ტვირთი; $m_3 = m_2 + m_G$ - დამჭირი შკივისა და ტვირთის ჯამი; m_R - საწევი ბაგირის ერთო შტოს მასა; m_x და m_y ბაგირგზის სამგზავრო ვაგონების მასები; m_c - სამგზავრო ვაგონის ურიკის (კარეტის) მასა; m_R და C_R - საწევი ბაგირის ერთი შტოს მასა და სიხისტის კოეფიციენტი; x , y , z და s შესაბამისად m_1 , m_2 , m_x და m_y -მასების გადაადგილება.

როგორც ლიტერატურიდანაა ცნობილი, საწევი ბაგირის დამჭირი ტვირთი m_3 ამუშავების პროცესში მონაწი-

ლეობას არ დებულობს და ბაგირგზის ამუშავების დიფ-
განტოლებათა სისტემას ასეთი სახე აქვს [3]:

$$\begin{cases} a_{11}\ddot{x} = F_0 - 2C_R(x - y) - C_x(x - z); \\ a_{22}\ddot{y} = 2C_R(x - y) - C_y(y - s); \\ m_x\ddot{z} = C_x(x - z); \\ m_y\ddot{s} = C_y(y - s). \end{cases}$$

$$\text{სადაც } C_x = \frac{m_x g}{h_w} = m_x w_w^2 \quad \text{და} \quad C_y = \frac{m_y g}{h_w} = m_y w_w^2 \quad \text{პ.წ. ვაგო-}$$

ნის “სიხისტის” კოეფიციენტია; h_w - ვაგონის ჩამოკიდებ-
ის სიგრძე, ანუ მანძილი ვაგონისა და ურიკის სიმძიმის

$$\text{ცენტრულს შორის; } w_w = \sqrt{\frac{g}{h_w}} - \text{ ვაგონის რეცეს სიხშირე;}$$

$F_0 = j_1(a_{11} + a_{22} + m_x + m_y)$ - სისტემაზე მოდებული ძალის
დინამიკური შემდგენი;

$$a_{11} = m_1 + m_R + m_C \quad \text{და} \quad a_{22} = m_2 + m_R + m_C \quad \text{და} \quad$$

მასების კოეფიციენტები.

ყოველივე ამის გათვალისწინებით, განტოლებათა
სისტემა მიღებს სახეს:

$$\begin{cases} a_{11}\ddot{x} = F_0 - 2C_R(x - y) - m_x w_w^2(x - z); \\ a_{22}\ddot{y} = 2C_R(x - y) - m_y w_w^2(y - s); \\ \ddot{z} = w_w^2(x - z); \\ \ddot{s} = w_w^2(y - s). \end{cases}$$

განტოლებათა სისტემაში შემავალი კოეფიციენტების გამოსათვლელად გავიანგარიშოთ ბაგირგზის პარამეტრები.

წინასწარი მონაცემებია:

$L = 960$ - გზის პორიზონტალური სიგრძე, მ;

$h = 80$ - საღგურებს შორის დონეთა სხვაობა, მ;

$$b = \arctg\left(\frac{h}{L}\right) = \arctg\left(\frac{80}{960}\right) = 0.083 - \text{ბაგირგზის } \text{გ.წ. საფირო } \text{კუთხე;}$$

$m_E = 600$ - ცარიელი ვაგონის მასა, კგ;

$N = 25$ - მგზავრების რაოდენობა ვაგონში;

$$m_C \approx \frac{2}{3}m_E = \frac{2}{3}600 = 400 - \text{ვაგონის } \text{ურიკის } \text{მასა, კგ;}$$

$h_w = 2.5$ - ვაგონის ჩამოკიდების სიგრძე, მ;

$$w_w = \sqrt{\frac{g}{h_w}} \approx \sqrt{\frac{10}{2.5}} = 2 - \text{ვაგონის } \text{რხევის } \text{სიხშირე, } 1/\text{წ;}$$

$m_q \approx 80$ - ერთი მგზავრის მასა, კგ;

$m_{EC} = m_E + m_C = 600 + 400 = 1000$ - ცარიელი ვაგონის მასა ურიკით, კგ;

$$m_{FC} = N \cdot m_q + m_{EC} = 25 \cdot 80 + 1000 = 3000 - \text{სავსე } \text{ვაგონის}$$

მასა ურიკით, კგ.

$$Q_{EC} = g \cdot m_{EC} \approx 10 \cdot 1000 = 10000 - \text{ცარიელი } \text{ვაგონის } \text{წონა } \text{ურიკით, ნ;}$$

$Q_{FC} = g \cdot m_{FC} \approx 10 \cdot 3000 = 30000$ - სავსე ვაგონის წონა ურიკით, ნ.

აჩქარებისა და შენელების სიდიდედ მივიღოთ
 $j_1 = j_3 = 0.6 \text{ გ/მ}^2$, მაშინ მაქსიმალური სიჩქარის საორიენტაციო მნიშვნელობა იქნება

$$V_m = 0.32 \sqrt{2 \frac{j_1 j_3}{j_1 + j_3}} L \approx 0.32 \sqrt{0.6 \cdot 960} \approx 7.68 \text{ გ/მ}.$$

იანგარიშება ერთი მეტრი სარელსო ბაგირის წონა [3]; მუდმივი სიდიდეების მნიშვნელობად მიღებულია, რომ

$$k = 12; \quad S_1 = 1400 \text{ გ/მ}^2; \quad g_1 = \frac{q_1}{S_1} \approx 0.085 \text{ გ/მ}^3; \quad n_1 = 3.3;$$

$$b_1 = \frac{0.85 \cdot S_1}{g_1 n_1} = \frac{0.85 \cdot 1400}{0.085 \cdot 3.3} \approx 4242 \text{ გ, მაშინ}$$

$$h_0 = 0.00017202 \cdot L^2 - 0.0059186 \cdot L + 21.235 = \\ = 0.00017202 \cdot 960^2 - 0.0059186 \cdot 960 + 21.235 = 174.18.$$

ერთი მეტრი სარელსო ბაგირის წონა

$$q_1 = \frac{k Q_{FC}}{b_1 \cdot \frac{L}{4k} \cdot h} = \frac{12 \cdot 30000}{4242 \cdot \frac{960}{4 \cdot 12} \cdot 80} = 86.92 \text{ გ/გ};$$

შენიშვნა: თუ გი მოცემული h -ის მნიშვნელობა $h \geq h_0$, მაშინ q_1 -ის ფორმულაში ნაცვლად h -ისა, ჩაისმება h_0 .

VI დანართიდან შეირჩევა სტანდარტული ბაგირი:
 გრძელი მეტრის წონა - $q_1 = 96 \text{ გ/გ}$;

ბაგირის დიამეტრი - $d_1 = 40.5$ მმ;

ბაგირის ლითონის კვეთი - $s_1 = 1135$ მმ²;

ჯამური გამგლეჯი ძალა - $T_1 = 1589$ კნ;

b_1 -ის რეალური მნიშვნელობა

$$b_1 = \frac{T_1}{n_1 q_1} = \frac{1589000}{3.3 \cdot 96} \approx 5016 \text{ მ;}$$

სარელსო ბაგირის დაჭიმი ტენის წონა

$$G_1 = q_1(b_1 - h) = 96(5016 - 80) = 473856 \text{ ნ;}$$

ბაგირის დაჭიმულობის პორიზონტალური შემდგენი

$$H_1 = q_1 \left(b_1 - \frac{h}{2} \right) \cos b = 96 \left(5016 - \frac{80}{2} \right) \cos 0.083 \approx 476052 \text{ ნ;}$$

შემოვიტანოთ აღნიშვნა

$$k_1 = \frac{1}{2H_1} \left(\frac{q_1}{\cos b} + 2 \frac{Q_{FC}}{L} \right) = \\ = \frac{1}{2 \cdot 476052} \left(\frac{96}{\cos 0.083} + 2 \frac{30000}{960} \right) = 1.6682e-4 \text{ 1/მ.}$$

სარელსო ბაგირის ჩაკიდულობის მრუდის განტოლება
მიიღებს შემდეგ სახეს

$$y = xtgb + x(L - x)k_1 = x \cdot 0.083 + x(960 - x) \cdot 1.6682e-4;$$

ამ განტოლებით აიგება შესამისი გრაფიკი.

სარელსო ბაგირზე გაგონის ასვლის კუთხეებისა და
ამძრავ შეივზე ეფექტური სიმძლავრეების განსაზღვრა

ორგაგონიან ქანქარასებრ ბაგირგზაზე, ვაგონის წონის შემდგენისა და მოძრაობის წინააღმდეგობის ძალის გამოთვლისათვის, რაც საბოლოოდ ამძრავ შკივზე მოდებული დატვირთვებისა და მათი საშუალებით ამძრავი ძრავას სიმძლავრის გასაანგარიშებლადაა საჭირო, განიხილავენ ორ შემთხვევას.

ბაგირგზის ამძრავი ზედა **A** სადგურშია მოთავსებული ($kk = 1$) ან ქვედა **B** სადგურში ($kk = 0$). მეორე მხრივ, განიხილავენ დატვირთული ვაგონის ასვლის კუთხეს a_{FB} ქვედა **B** სადგურთან. თუ აღმოჩნდა, რომ $a_{FB} < 0$, გამოითვლება მხოლოდ დატვირთული ვაგონების მოძრაობა, ანუ როდესაც დატვირთული ვაგონი მოძრაობს ზემოთკენ და დატვირთული – ქვემოთკენ. თუკი აღმოჩნდება, რომ $a_{FB} \geq 0$, მაშინ გამოითვლება მოძრაობის ის რეჟიმი, როდესაც დატვირთული ვაგონი მოძრაობს ზემოთკენ და ცარიელი ქვემოთკენ.

დატვირთული ვაგონის ასვლის კუთხე

$$a_F = \arctg[b + (L - 2 \cdot x)k_{zF}],$$

სადაც

$$\begin{aligned} k_{zF} &= \frac{1}{2H_1} \left(\frac{q_1}{\cos b} + \frac{Q_{FC}}{L} \right) = \\ &= \frac{1}{2 \cdot 476052} \left(\frac{96}{\cos 0.083} + \frac{30000}{960} \right) = 1.34e-4 \text{ 1/გ}; \end{aligned}$$

ხოლო ცარიელისა - $a_E = \text{arc}[\text{tgb} + (L - 2 \cdot x)k_{2E}]$,

სადაც

$$k_{2E} = \frac{1}{2H_1} \left(\frac{q_1}{\cos b} + \frac{Q_{EC}}{L} \right) = \\ = \frac{1}{2 \cdot 476052} \left(\frac{96}{\cos 0.083} + \frac{10000}{960} \right) = 1.1212e-4 \text{ 1/}\theta;$$

მიღებულია, რომ ვაგონის მოძრაობის დასაწყისში ზედა, **A** სადგურთან $x=10$ გ და მოძრაობის დასასრულს, ქვედა **B** სადგურთან $x=L-10$; შესაბამისად, დატვირთული ვაგონის ასევე კუთხე **A** სადგურთან ($x=10$ გ)

$$a_{FA} = \text{arc}[\text{tgb} + (L - 2 \cdot 10)k_{2F}];$$

ხოლო დატვირთული ვაგონის ასევე კუთხე **B** სადგურთან ($x=L-10$ გ)

$$a_{FB} = \text{arc}[\text{tgb} - (L - 2 \cdot 10)k_{2F}];$$

ცარიელი ვაგონის ასევე კუთხე ზედა **A** სადგურთან ($x=10$ გ)

$$a_{EA} = \text{arc}[\text{tgb} + (L - 2 \cdot 10)k_{2E}];$$

ხოლო ცარიელი ვაგონის ასევე კუთხე **B** სადგურთან ($x=L-10$ გ)

$$a_{EB} = \text{arc}[\text{tgb} - (L - 2 \cdot 10)k_{2E}].$$

I. ოუ $a_{FB} < 0$ გაანგარიშება ჩატარდება დატვირთული ვაგონებისათვის:

ვაგონის წონის შემდგენისა და მოძრაობის წინაღობის ძალის ჯამი, როდესაც ვაგონი მოძრაობს **A**-დან **B**-საკენ

მოძრაობის დასაწყისში

$$t_{FAD} = Q_{FC} (\sin a_{FA} - f_0 \cos a_{FA}), \quad 6;$$

მოძრაობის დასასრულს

$$t_{FBD} = Q_{FC} (\sin a_{FB} - f_0 \cos a_{FB}), \quad 6.$$

როდესაც ვაგონი მოძრაობს **B**-დან **A**-საკენ

მოძრაობის დასაწყისში

$$t_{FBU} = Q_{FC} (\sin a_{FB} + f_0 \cos a_{FB}), \quad 6;$$

მოძრაობის დასასრულს

$$t_{FAU} = Q_{FC} (\sin a_{FA} + f_0 \cos a_{FA}), \quad 6;$$

წევის ძალა ამძრავ შეივზე (როცა ამძრავი ქვედა **B** სადგურშია $kk = 0$, ხოლო როდესაც ზედა **A** სადგურშია $kk = 1$)

მოძრაობის დასაწყისში

$$F_{F1} = (-1)^{kk} \cdot (t_{FAD} - t_{FBU}) + 2t_0, \quad 6;$$

მოძრაობის დასასრულს

$$F_{F2} = (-1)^{kk} \cdot (t_{FBD} - t_{FAU}) + 2t_0, \quad 6;$$

ძალის ეფექტური მნიშვნელობა ამძრავ შეივზე

$$F_{eff} = \sqrt{\frac{1}{3}(F_{F1}^2 + F_{F1}F_{F2} + F_{F2}^2)}, \quad 6;$$

ამძრავი ძრავას ეფექტური სიმძლავრე

$$P_{\text{ef}} = \varphi \frac{F_{\text{ef}} V_{\text{mr}}}{\eta} 10^{-3} \text{ კვტ},$$

სადაც $\varphi = 1.05 \dots 1.5$ სისტემის დინამიკურობის კოეფიციენტია; დიდი მნიშვნელობა შეესაბამება მოკლე ტრასებსა და მაღალ სიჩქარეს. $\eta = 0.9 \dots 0.92$, მეტ კოეფიციენტია ძრავასა და ამძრავ შეკითხვების.

II. თუ $a_{FB} \geq 0$, გაანგარიშება ჩატარდება დატვირთული და ცარიელი ვაგონებისათვის:

როდესაც ცარიელი ვაგონი მოძრაობს **A**-დან **B**-სა-კენტრული

მოძრაობის დასაწყისში

$$t_{EAD} = Q_{EC} (\sin a_{EA} - f_0 \cos a_{EA}), \quad 6;$$

მოძრაობის დასასრულს

$$t_{EBD} = Q_{EC} (\sin a_{EB} - f_0 \cos a_{EB}), \quad 6.$$

როდესაც დატვირთული ვაგონი მოძრაობს **B**-დან **A**-სა-კენტრული

მოძრაობის დასაწყისში

$$t_{FBU} = Q_{FC} (\sin a_{FB} + f_0 \cos a_{FB}), \quad 6;$$

მოძრაობის დასასრულს

$$t_{FAU} = Q_{FC} (\sin a_{FA} + f_0 \cos a_{FA}), \quad 6.$$

წევის ძალა ამძრავ შეიგზუნება

მოძრაობის დასაწყისში

$$F_{E1} = (-1)^{kk} \cdot (t_{EAD} - t_{FBU}) + 2t_0, \text{ ნ;}$$

მოძრაობის დასასრულს

$$F_{E2} = (-1)^{kk} \cdot (t_{EBD} - t_{FAU}) + 2t_0, \text{ ნ;}$$

ძალის ეფექტური მნიშვნელობა ამძრავ შეივტე:

$$F_{effE} = \sqrt{\frac{1}{3}(F_{E1}^2 + F_{E1}F_{E2} + F_{E2}^2)}, \text{ ნ;}$$

ამძრავი ძრავას ეფექტური სიმძლავრე

$$P_{ef} = \varphi \frac{F_{effE} V_{mr}}{\eta} 10^{-3} \text{ კვტ;}$$

თავიდან განვსაზღვროთ დატვირთული ვაგონის ას-
კლის კუთხე ქვედა, **B** სადგურთან

$$\begin{aligned} a_{FB} &= \arctan[tgb - (L - 2 \cdot 10)k_{2F}] = \\ &= \arctan[\tan 0.083 - (960 - 2 \cdot 10)1.34 \cdot 10^{-4}] = -0.043, \end{aligned}$$

რადგანაც $a_{FB} < 0$ გაანგარიშება ჩატარდება I შემთხვევი-
სათვის.

დატვირთული ვაგონის ასკლის კუთხე **A** საყრდენთან
($x=10$ გ)

$$\begin{aligned} a_{FA} &= \arctan[tgb + (L - 2 \cdot 10)k_{2F}] = \\ &= \arctan[\tan 0.083 + (960 - 2 \cdot 10)1.34 \cdot 10^{-4}] = 0.209; \end{aligned}$$

ვაგონის წონის შემდგენისა და მოძრაობის წინაღობის მალის ჯამი, როდესაც ვაგონი მოძრაობს A დან B-საკენ

მოძრაობის დასაწყისში

$$t_{FAD} = Q_{FC} (\sin a_{FA} - f_0 \cos a_{FA}) = \\ = 30000 (\sin 0.209 - 0.06 \cos 0.209) = 4463.62 \text{ ნ};$$

მოძრაობის დასასრულს

$$t_{FBD} = Q_{FC} (\sin a_{FB} - f_0 \cos a_{FB}) = \\ = 30000 (-\sin 0.043 - 0.06 \cos 0.043) = -3087.94 \text{ ნ};$$

როდესაც ვაგონი მოძრაობს B-დან A-საკენ

მოძრაობის დასაწყისში

$$t_{FBU} = Q_{FC} (\sin a_{FB} + f_0 \cos a_{FB}) = \\ = 30000 (-\sin 0.043 + 0.06 \cos 0.043) = 508.73 \text{ ნ};$$

მოძრაობის დასასრულს

$$t_{FAU} = Q_{FC} (\sin a_{FA} + f_0 \cos a_{FA}) = \\ = 30000 (\sin 0.209 + 0.06 \cos 0.209) = 7985.28 \text{ ნ};$$

წევის ძალა ამძრავ შეიგზე.

ჩვენს მაგალითში, ამძრავი ზედა, A საღგურშია -

$kk = 1$, მაშინ

$$F_{F1} = (-1)^{kk} \cdot (t_{FAD} - t_{FBU}) + 2t_0 = \\ = (-1) \cdot (4463.62 - 508.73) + 2 \cdot 200 = -3554.89 \text{ ნ};$$

$$F_{F2} = (-1)^{kk} \cdot (t_{FBD} - t_{FAU}) + 2t_0 = \\ = (-1) \cdot (-3087.94 - 7985.28) + 2 \cdot 200 = 11473.22 \text{ ბ;}$$

$$F_{eff} = \sqrt{\frac{1}{3}(F_{F1}^2 + F_{F1}F_{F2} + F_{F2}^2)} = \\ = \sqrt{\frac{1}{3}(3554.89^2 - 3554.89 \cdot 11473.22 + 11473.22^2)} = \\ = 5873.27 \text{ ბ,}$$

$$P_{ef} = \varphi \frac{F_{eff} V_{mr}}{\eta} 10^{-3} = 1.1 \frac{5873.27 \cdot 7.68}{0.92} 10^{-3} = 53.93 \text{ კვტ.}$$

საწევი ბაგირის, ამძრავი ძრავასა და რედუქტორის შერჩევა

საწევი ბაგირის შერჩევისათვის წინასწარ ანგარიშობენ მუდმივ სიდიდეებს -

$$b_2 = \frac{0.9 \cdot S_2}{g_2 n_2} = \frac{0.9 \cdot 1900}{0.095 \cdot 4.5} = 4000, \quad D = \frac{k_{st}}{e^{\mu\alpha} - 1} = \frac{1.75}{e^{0.2\pi} - 1} \approx 2.$$

სადაც $k_{st} = 1.75$, ხახუნის ამძრავ შპივზე საწევი ბაგირის ასრიალების საწინააღმდეგო კოეფიციენტია; $\mu = 0.2$ და $\alpha = \pi - \theta$ საბამისად, საწევი ბაგირის ხახუნის ამძრავ შპივზე ხახუნის კოეფიციენტი და შემოხვევის კუთხე;

განისაზღვრება ერთი მეტრი საწევი ბაგირის წონა – როდესაც ამძრავი ზედა, A სადგურშია $kk = 1$ და როდესაც ქვედა, B სადგურშია $kk = 0$)

(m_3) $kk = 1$ და $a_{FB} \geq 0$ სტ $a_{FB} < 0$ და $q_{21E} \leq q_{21F}$;

(m_3) $kk = 0$ და $a_{FB} \geq 0$ სტ $a_{FB} < 0$ და $q_{20F} \leq q_{21F}$)

I. $kk = 1$, $a_{FB} \geq 0$

$$q_{21E} = \frac{D(t_{FA} - t_{EB} + 2t_0) + t_{FA} + t_0}{b_2 - h}.$$

და $a_{FB} < 0$

$$q_{21F} = \frac{2(t_{FA} - t_{FB} + 2t_0) + t_{FA} - t_{FB} + t_0}{b_2}$$

II. $kk = 0$, $a_{FB} \geq 0$ -

$$q_{20E} = \frac{D(t_{FA} - t_{EB} + 2t_0) + t_{FA} - t_{EB} + t_0}{b_2}$$

და $a_{FB} < 0$ -

$$q_{20F} = q_{21F} = \frac{2(t_{FA} - t_{FB} + 2t_0) + t_{FA} - t_{FB} + t_0}{b_2},$$

საკითხები

$$\begin{aligned} t_{FA} &= Q_{FC} (\sin a_{FA} + f_0 \cos a_{FA}) = \\ &= 30000 (\sin 0.209 + 0.06 \cos 0.209) = 7985.286 \end{aligned}$$

$$\begin{aligned} t_{FB} &= Q_{FC} (\sin a_{FB} - f_0 \cos a_{FB}) = \\ &= 30000 (-\sin 0.043 - 0.06 \cos 0.043) = -3087.946; \end{aligned}$$

$$\begin{aligned} t_{EB} &= Q_{EC} (\sin a_{EB} - f_0 \cos a_{EB}) = \\ &= 10000 (-\sin 0.0224 - 0.06 \cdot \cos 0.0224) = -823.856. \end{aligned}$$

როდესაც $a_{FB} \prec 0$, ორივე შემთხვევაში ერთი ფორმულა გამოიყენება და ამიტომ

$$q_{21F} = \frac{2(t_{FA} - t_{FB} + 2t_0) + t_{FA} - t_{FB} + t_0}{b_2} = \\ = \frac{2(7985.28 - (-3087.94) + 2 \cdot 200)}{4000} = \\ = \frac{+ \rightarrow 7985.28 - (-3087.94) + 200}{4000} = 8.566.$$

VII დანართიდან შეირჩევა სტანდარტული ბაგირი:

გრძივი მეტრის წონა - $q_2 = 9.2$ ნ/მ;

ბაგირის დიამეტრი - $d_2 = 16$ მმ;

ბაგირის ლითონის კვეთი - $s_2 = 95$ მმ²;

ჯამური გამგლეჯი ძალა - $T_2 = 161$ კნ;

$$b_2\text{-ის რეალური მნიშვნელობა } b_2 = \frac{T_2}{n_2 q_2} = \frac{161000}{4.5 \cdot 9.2} \approx 3889\text{მ;}$$

საწევი ბაგირის დამჭიმი ტგირთის წონა

$$G_2 = 2 \cdot q_2 (b_2 - h) = 2 \cdot 9.2 (3889 - 80) \approx 70086, ნ;$$

საწევი ბაგირის დაჭიმულობის პორიზონტალური შემდგენი -

$$H_2 = q_2 b_2 \cos b = 9.2 \cdot 3889 \cdot \cos 0.083 \approx 35656 ნ;$$

საწევი ბაგირის ჩაკიდულობის მაქსიმალური მნიშვნელობა

$$f_{2,\max} = \frac{q_2 L^2}{8H_2 \cos b} = \frac{9.2 \cdot 960^2}{8 \cdot 35656 \cdot \cos 0.083} = 31\theta;$$

ჩაკიდული საწევი ბაგირის მრუდის სიგრძე

$$l_r = \frac{L}{\cos b} + \frac{8f_{2\max}^2}{3L} \cos^3 b = \frac{960}{\cos 0.083} + \frac{8 \cdot 31^2}{3 \cdot 960} \cos^3 0.083 \approx 963 \text{ მ};$$

საწევი ბაგირის სიხისტის ვერტიკალური შემდგენი

(ფოლადის მავთულის, $E = (1.6 \dots 2.1) \cdot 10^5 \text{ ნ/მ}^2$ დრეკადობის მოდულის დროს)

$$C_V = \frac{Es_2}{l_R} = \frac{2.1 \cdot 10^5 \cdot 95}{963} \approx 20717, \text{ ნ/მ};$$

საწევი ბაგირის სიხისტის პორიზონტალური შემდგენი

$$C_H = \frac{12H_2^3}{q_2^2 l_R^3 \cdot \cos b} = \frac{12 \cdot 35656^3}{9.2^2 \cdot 963^3 \cdot \cos 0.083} \approx 7197 \text{ ნ/მ};$$

საწევი ბაგირის სიხისტის კოეფიციენტი

$$C_R = \frac{C_V C_H}{C_V + C_H} = \frac{20717 \cdot 7197}{20717 + 7197} \approx 5341 \text{ ნ/მ}.$$

ხახუნის შემთხვევაში დამატებითი დამატებითი დამატებითი

$$D_0 = 80d_2 = 80 \cdot 0.016 = 1.28, \text{ მ};$$

სტანდარტული დამატებითი $D_0 = [1.0; 1.25; 1.6; 2.0; 2.25]$

შეირჩევა შემთხვევაში დამატებითი $D_0 = 1.6 \text{ მ}$; ამბრავი შემთხვევის საორენტაციო ბრუნთა რიცხვი იქნება

$$n_m = \frac{60V_m}{\pi D_0} = \frac{60 \cdot 7.68}{\pi \cdot 1.6} = 91.67 \text{ ბრ/წთ};$$

თუკი ამ რიცხვს გავამრავლებო PM რედუქტორის სტანდარტული გადაცემის რიცხვებზე

$$i = [8; 10; 12.5; 16; 20; 22.4; 31.5; 40; 50],$$

მივიღებთ ძრავას შესარჩევ სტანდარტულ ბრუნთა რიცხვებს. შეირჩევა ის ბრუნთა რიცხვი, რომელიც ყველაზე ახლოს აღმოჩნდება ძრავას სტანდარტულ ბრუნთა რიცხვებთან $n_0 = [750; 1000; 1500]$; ჩვენს შემთხვევაში, აიღება

$$n_0 = 1500 \text{ ბრ/წთ}; \text{ რადგანაც}$$

$$n_0 = n_m \cdot i = 91.67 \cdot 16 = 1466.72 \text{ ბრ/წთ}.$$

VII დანართში შეირჩევა სტანდარტული ძრავა:

$$\text{ნომინალური სიმძლავრე } P_n = 55 \text{ კვტ};$$

$$\text{ნომინალური ბრუნთა რიცხვი } n_n = 1475 \text{ ბრ/წთ};$$

$$\text{ნომინალური გადატვირთვის კოეფიციენტი } b_n = \frac{M_m}{M_n} = 2.2;$$

$$\text{ინერციის მომენტი } J_{\text{mot}} = 0.5 \text{ კგ}\text{მ}^2.$$

რედუქტორის მომენტი ნელმავალ ლილვზე

$$\begin{aligned} M_r &\approx \left(810 \cdot \frac{P_n}{n_n} \cdot j \cdot i \cdot \frac{J_{\text{mot}} \cdot i}{D_0} \right) \\ &= \left(8 \cdot 2.2 \cdot \frac{55}{1475} \cdot 0.936 - 0.003 \cdot \frac{0.5 \cdot 16}{1.6} \cdot 0.6 \right) \cdot 16 = 9.68 \text{ კნმ}. \end{aligned}$$

IX დანართში შეირჩევა სტანდარტული რედუქტორი
ტიპი - PM-650

$$\text{ნომინალური მომენტი ნელმავალ ლილვზე } M_{\text{red},n} = 10 \text{ კნმ};$$

გადაცემის რიცხვი $i = 16$;

შემაგალი ბრუნთა რიცხვი $n_h = 750 \dots 1500$ ბრ/წო;

ძირითადი პარამეტრების გამოთვლის შემდეგ, განვ-საზღვროთ დიფგანტოლებათა სისტემაში შემაგალი კოე-ფიციენტები :

ვაგონის საკიდის სიგრძე - $h_w = 2.5$ მ;

საწევი ბაგირის ერთი შტოს მასა

$$m_r = \frac{q_2}{g} l_r = \frac{9.2}{9.81} 963 \approx 903 \text{ კგ};$$

ამძრავი შკივის მასა

$$m_{1x} \approx 200 \cdot D_0^2 = 200 \cdot 1.6^2 = 512 \text{ კგ};$$

როტორის დაყვანილი მასა ამძრავ შკივზე

$$m_{mot.x} = 4 \frac{J_{mot}}{D_0^2} i^2 = 4 \frac{0.5}{1.6^2} 16^2 = 200 \text{ კგ};$$

რედუქტორის დაყვანილი მასა ამძრავ შკივზე

$$m_{red.x} \approx 0.5 \cdot m_{mot.x} = 0.5 \cdot 200 = 100 \text{ კგ};$$

მიმმართველი შკივის მასა

$$m_{2x} \approx 115 \cdot D_2^2 = 115 \cdot D_0^2 = 115 \cdot 1.6^2 \approx 294 \text{ კგ};$$

$$\begin{aligned} m_1 &= m_{1x} + m_{mot.x} + m_{red.x} + 2 \cdot m_{2x} = \\ &= 512 + 200 + 100 + 2 \cdot 294 = 1400 \text{ კგ}; \end{aligned}$$

$$m_2 = 3 \cdot m_{2x} = 3 \cdot 294 = 882 \text{ კგ};$$

$$a_{11} = m_1 + m_r + m_C = 1400 + 903 + 400 = 2703 \text{ კგ};$$

$$a_{22} = m_2 + m_r + m_c = 882 + 903 + 400 = 2185 \text{ კგ.}$$

სისტემაზე მოდებული ძალის დინამიკური შემდგენი

$$F_0 = j_1(a_{11} + a_{22} + m_x + m_y) = j_1[a_{11} + a_{22} + 2m_E + 80(N_x + N_y)], \quad 6;$$

განვიხილოთ სხვადასხვა შემთხვევა

1. როდესაც ორივე ვაგონი ცარიელია ($N_x = 0; N_y = 0$)

$$m_x = m_E + N_x m_q = m_E + 0 \cdot m_q = m_E;$$

$$m_y = m_E + N_y m_q = m_E + 0 \cdot m_q = m_E;$$

2. ორივე ვაგონი დატვირთულია ($N_x \neq 0; N_y \neq 0$)

$$m_x = m_E + N_x m_q; \quad m_y = m_E + N_y m_q;$$

3. ამძრავ შევთან ვაგონი დატვირთულია, ხოლო დამჭიმთან – ცარიელი ($N_x \neq 0; N_y = 0$) -

$$m_x = m_E + N_x m_q; \quad m_y = m_E + N_y m_q = m_E + 0 \cdot m_q = m_E;$$

4. ამძრავ შევთან ვაგონი ცარიელია, ხოლო დამჭიმთან – დატვირთული ($N_x = 0; N_y \neq 0$)

$$m_x = m_E + N_x m_q = m_E + 0 \cdot m_q = m_E; \quad m_y = m_E + N_y m_q.$$

გამოვიწანოთ გრაფიკულად ოთხივე შემთხვევისათვის:

1. $X - Y, X - Z$ და $Y - S$ -ამძრავი და დამჭიმი შევების, ამძრავი შევისა და m_x ვაგონის, დამჭიმი შევისა და m_y ვაგონის გადაადგილებათა სხვაობა;

2. $Vx - Vy$, $Vx - Vz$ და $Vy - Vs$ - ამძრავი და დამჭიმი
შკივების, ამძრავი შკივისა და m_x ვაგონის, დამჭიმი შკი-
ვისა და m_y ვაგონის სიჩქარეთა სხვაობა;
3. $ax - ay$, $ax - az$ და $ay - as$ -ამძრავი და დამჭიმი შკი-
ვების, ამძრავი შკივისა და m_x ვაგონის, დამჭიმი შკივისა
და m_y ვაგონის აჩქარებათა სხვაობა;

ორგაგონიანი ბაგირგზის პარამეტრების გამოთვლა და
დიფერენციალურ განტოლებათა სისტემის ამოხსნა
დაპროგრამების სისტემა **MATLAB-ში**.

```
>> h=input('doneta    sxvaoba,<m>-h=');    L=input('horizontaluri
signze,<m>-L=');
N=input('mgzavrt a raodenoba    vagonshi-N=');    mE=input('carieli
vagonis masa,<kg>-mE=');
kk=input('amzravi zevit - kk=1, amzravi kvevit - kk=0; kk=');
disp('To kargia - < return >, to ara - shecvale da shemdeg < return
>'); keyboard;
b=atan(h/L);    mC=2/3*mE;    mEC=mE+mC;    mFC=mEC+80*N;
QEC=10*mEC; QFC=10*mFC;
E=2.1*10^5;    D=2;    k=12;    n1=3.3;    n2=4.5;    g1=.085;    g2=.095;
S1=1400;
S2=1900;    f0=0.06;    t0=200;    b1=.85*S1/n1/g1;    b2=.9*S2/n2/g2;    j1=.6;
Fi=1.1;    etar=920;
h0=0.00015085*L^2+0.024566*L+15.976;    if h>=h0    q1=k*QFC/(b1-
L/4/k-h0); else
q1=k*QFC/(b1-L/4/k-h); end;
```

```

q11=[50,56,63,70,86,96,103,115,125,145,164,173,177,198,237,272];
n=min(find(q11>=q1)); q1=q11(n);
d11=[30.5, 32, 34 ,35.5, 38.5, 40.5, 42.5, 45, 47, 51, 52, 54, 55, 60,
65, 70]; d1=d11(n);
s11=[596,660,730,796,1000,1135,1210,1356,1460,1725,1960,2064,
2075,2390,2850,3292];
s1=s11(n); T1=S1*s1; T1max=T1/n1; b1=T1max/q1; G1=q1*(b1-h);
H1=(G1+q1*h/2)*cos(b); k2F=1/2/H1*(q1/cos(b)+QFC/L);
x0=L/2+tan(b)/2/k2F;
k2E=1/2/H1*(q1/cos(b)+QEC/L); k1F=1/2/H1*(q1/cos(b)+2*QFC/L);
for zz=0:.000001:10; k1FF=1/2/H1*(q1*(1+zz^2)^.5+2*QFC/L);
y=zz/k1FF;
if y>=L h00=zz*L; break; end; end; tt1=8*QFC*H1/((q1*L)^2-4*H1^2);
tt2=((q1*L)^2-4*QFC^2)/((q1*L)^2-4*H1^2); ttg=[1,tt1,tt2];
tgb0=roots(ttg);
x=0:L/100:L; y1=x*tan(b); y2=y1+x.* (L-x)*k1F;
plot(x, y1, 'b', x, y2, 'r', 'LineWidth',2), axis ('ij'); grid;
xlabel('L','FontSize',12); ylabel('y','FontSize',12); legend('x*tg(b)', 'x*tg(b)+x*(L-x)*k1F',1);
title(['h=',num2str(h), ' m; L=', num2str(L), ' m'], 'FontSize',12 );
aFA=atan(tan(b)+(L-20)*k2F); aFB=atan(tan(b)-(L-20)*k2F);
aEA=atan(tan(b)+(L-20)*k2E); aEB=atan(tan(b)-(L-20)*k2E);
tFBU=QFC*(sin(aFB)+f0*cos(aFB));
tFAU=QFC*(sin(aFA)+f0*cos(aFA));
tFAD=QFC*(sin(aFA)-f0*cos(aFA)); tFBD=QFC*(sin(aFB)-f0*cos(aFB));
FF1=(-1)^kk*(tFAD-tFBU)+2*t0; FF2=(-1)^kk*(tFBD-tFAU)+2*t0;
FefF=(1/3*(FF1^2+FF1*FF2+FF2^2))^5;
tEAD=QEC*(sin(aEA)-f0*cos(aEA)); tEBD=QEC*(sin(aEB)-f0*cos(aEB));
tFBU=QFC*(sin(aFB)+f0*cos(aFB));
tFAU=QFC*(sin(aFA)+f0*cos(aFA));
FE1=(-1)^kk*(tEAD-tFBU)+2*t0; FE2=(-1)^kk*(tEBD-tFAU)+2*t0;
FefE=(1/3*(FE1^2+FE1*FE2+FE2^2))^5;
tFA=QFC*(sin(aFA)+f0*cos(aFA)); tFB=QFC*(sin(aFB)-f0*cos(aFB));
tEB=QEC*(sin(aEB)-f0*cos(aEB));
if kk==1 if aFB>=0 q21E=(2*(tFA-tEB+2*t0)+tFA+t0)/(b2-h); else
q21F=(2*(tFA-tFB+2*t0)+tFA-tFB+t0)/b2; end; end;
if kk==0 if aFB>=0 q20E=(2*(tFA-tEB+2*t0)+tFA-tEB+t0)/b2; else
q20F=q21F; end;end;

```

```

if kk==1 if aFB>=0 q2=q21E; else q2=q21F; end; end;
if kk==0 if aFB>=0 q2=q20E; else q2=q20F; end; end;
q21=[6.2,7.1,8.1,9.2,9.7,11,13,16,17,21,22,27,33,36];
n=min(find(q21>=q2)); q2=q21(n);
d21=[13.5,14.5,15,16,16.5,17.5,19.5,21,22,24,25,27.5,30.5,32];
d2=d21(n);
s21=[65,74,84,95,105,114,144,175,185,220,239,286,350,386];
s2=s21(n);
T21=[109,124.5,142,161,168.5,184.8,231.5,282.25,297.5,356,385.5,
462.5,564,623];
T2=T21(n); T2max=T2*10^3/n2; b2=T2max/q2; G2=2*q2*(b2-h);
H2=q2*b2*cos(b);
bn=2; Vm=0.32*(j1*L)^.5; D0=.08*d2; D0r=[1,1.25,1.6,2,2.5];
n=min(find(D0r>=D0)); D0=D0r(n); nm=60*Vm/pi/D0;
n0=[750,1000,1500];
ired=[8,10,12.5,16,20,22.4,31.5,40,50]; nm1=nm*ired;
[M1,n]=min(nm1/750);
[M2,n]=min(nm1/1000); [M3,n]=min(nm1/1500);
[MM,n]=min([M1,M2,M3]);
nmot=n0(n); dd=nmot/nm; [z,n]=min((abs(ired-dd))); i=ired(n);
Vmr=pi*D0*nmot/60/i;
PefF=Fi*FefF*Vmr/etar; PefE=Fi*FefE*Vmr/etar; if aFB<0 Pef=PefF;
else Pef=PefE; end;
if nmot==750 P750=[7.5,11,15,18.5,22,30,37,45,55,75,90];
n=min(find(P750>=Pef));
Pnom=P750(n); J750=[.11,.15,.27,.41,.46,.7,1.2,1.4,3.29,4.5,21];
Jmot=J750(n); end;
if nmot==1000 P1000=[7.5,11,15,18.5,22,30,37,45,55,75,90];
n=min(find(P1000>=Pef));
Pnom=P1000(n);
J1000=[.067,.11,.15,.27,.41,.46,.65,1.2,1.3,3.04,3.25];
Jmot=J1000(n); end;
if nmot==1500 P1500=[7.5,11,15,18.5,22,30,37,45,55,75,90];
n=min(find(P1500>=Pef));
Pnom=P1500(n); J1500=[.032,.045,.075,.087,.16,.2,.27,.32,.5,1,1.2];
Jmot=J1500(n); end;
Mred=(8*bn*Pnom*.9/nmot-.003*Jmot*j1/D0*i)*i;
disp(sprintf('sareloso bagiris erti metris cona, N/m-q1=%g',q1));
disp(sprintf('sareloso bagiris damchimi tvirti, N-G1=%g',G1));
disp(sprintf('sacevi bagiris erti metris cona, N/m-q2=%g',q2));

```

```

disp(sprintf('sacevi bagiris damchimi tvirti, N-G2=%g',G2));
disp(sprintf('amzravi shkivis diametri, m- D0=%g',D0));
disp(sprintf('zravas brunvata ricxvi, r/min - nmot=%g',nmot));
disp(sprintf('reductoris gadacemis ricxvi, - i=%g',i));
disp(sprintf('reduqtoris momenti, Nm- Mred=%g', Mred));
disp(sprintf('bagirgzsis sichqare, m/s- Vmr=%g',Vmr));
disp(sprintf('bagirgzsis amzravi zravas simzlavre, kWt-
Pnom=%g',Pnom));
disp('=====');
f2m=q2*L^2/8/H2/cos(b); IR=L/cos(b)+8*f2m^2*(cos(b))^3/3/L;
CV=E*s2/IR;
CH=12*H2^3/q2^2/IR^3/cos(b); CR=CV*CH/(CV+CH);
mR=q2*IR/10; hw=2.5;
mmot=4*Jmot*(i/D0)^2; mred=.5*mmot; m1x=200*D0^2;
m2x=115*D0^2; ww=(10/hw)^.5;
m1=mmot+mred+m1x+2*m2x; m2=3*m2x; a11=m1+mR+mC;
a22=m2+mR+mC;
disp([sprintf(' a11=%g',a11), sprintf(' a22=%g',a22), sprintf('
CR=%g',CR)]);
for zz=0:3; if zz==0 Nx=0;Ny=0; end; if zz==1 Nx=25;Ny=25; end;
if zz==2 Nx=25;Ny=0; end; if zz==3 Nx=0;Ny=25; end;
mx=mE+80*Nx; my=mE+80*Ny; Cx=mx*ww^2; Cy=my*ww^2;
F0=6*(a11+a22+mx+my);
disp([sprintf(' Cx=%g',Cx),sprintf(' Cy=%g',Cy), sprintf('
F0=%g',F0)]);
disp([sprintf(' mx=%g',mx), sprintf(' my=%g',my)]);
syms p t; b1=F0/p; b2=0; b3=0; b4=0;
p11=a11*p^2+2*CR+ww^2*mx; p12=-2*CR; p13=-ww^2*mx; p14=0;
p21=-2*CR; p22=a22*p^2+2*CR+ww^2*my; p23=0; p24=- ww^2*my;
p31=-ww^2; p32=0; p33=p^2+ww^2; p34=0; p41=0; p42=-ww^2;
p43=0; p44=p^2+ww^2; D=det([p11,p12,p13,p14;
p21,p22,p23,p24;p31,p32,p33,p34;p41,p42,p43,p44]);
D=vpa(collect(D),4); D0=simplify(vpa(D,4)); D0=sym2poly(D0);
W0=sort(abs(roots(D0))); W1=W0(3); T0=2*pi/W1;
p11=b1; p12=-2*CR; p13=- ww^2*mx; p14=0;
p21=b2; p22=a22*p^2+2*CR+ ww^2*my; p23=0; p24=- ww^2*my;
p31=b3; p32=0; p33=p^2+ww^2; p34=0; p41=b4; p42=-ww^2;
p43=0; p44=p^2+ww^2;

```

```

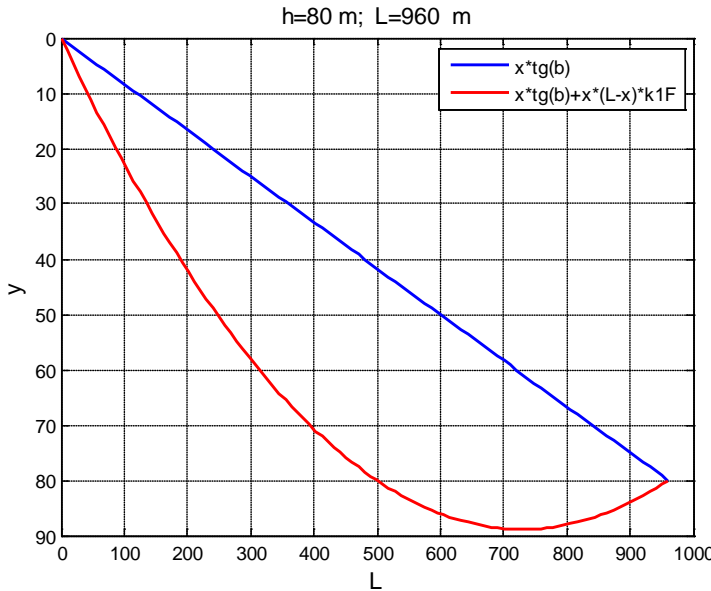
Dx=det([p11,p12,p13,p14;
p21,p22,p23,p24;p31,p32,p33,p34;p41,p42,p43,p44]);
Dx=vpa(collect(Dx),4); X=vpa(ilaplace(Dx/D,p,t),4); Vx=vpa(diff(X),4);
ax=vpa(diff(Vx),4);
p11=a11*p^2+2*CR+ww^2*mx; p12=b1; p13=-ww^2*mx; p14=0;
p21=-2*CR; p22=b2; p23=0; p24=-ww^2*my;
p31=-ww^2; p32=b3; p33=p^2+ww^2; p34=0; p41=0; p42=b4;
p43=0; p44=p^2+ww^2;
Dy=det([p11,p12,p13,p14;
p21,p22,p23,p24;p31,p32,p33,p34;p41,p42,p43,p44]);
Dy=vpa(collect(Dy),4); Y=vpa(ilaplace(Dy/D,p,t),4); Vy=vpa(diff(Y),4);
ay=vpa(diff(Vy),4);
p11=a11*p^2+2*CR+ ww^2*mx ; p12=-2*CR; p13=b1; p14=0;
p21=-2*CR; p22=a22*p^2+2*CR+ ww^2*my; p23=b2; p24=-ww^2*my;
p31=-ww^2; p32=0; p33=b3; p34=0; p41=0; p42=-ww^2; p43=b4;
p44=p^2+ww^2;
Dz=det([p11,p12,p13,p14;
p21,p22,p23,p24;p31,p32,p33,p34;p41,p42,p43,p44]);
Dz=vpa(collect(Dz),4); Z=vpa(ilaplace(Dz/D,p,t),4); Vz=vpa(diff(Z),4);
az=vpa(diff(Vz),4);
p11=a11*p^2+2*CR+ww^2*mx; p12=-2*CR; p13=- ww^2*mx;
p14=b1;
p21=-2*CR; p22=a22*p^2+2*CR+ ww^2*my; p23=0; p24=b2;
p31=-ww^2; p32=0; p33=p^2+ww^2; p34=b3; p41=0; p42=-ww^2;
p43=0; p44=b4;
Ds=det([p11,p12,p13,p14;
p21,p22,p23,p24;p31,p32,p33,p34;p41,p42,p43,p44]);
Ds=vpa(collect(Ds),4); S=vpa(ilaplace(Ds/D,p,t),4); Vs=vpa(diff(S),4);
as=vpa(diff(Vs),4);
X=vpa(simple(X),4); Y=vpa(simple(Y),4); Z=vpa(simple(Z),4);
S=vpa(simple(S),4);
Vx=vpa(simple(Vx),4); Vy=vpa(simple(Vy),4); Vz=vpa(simple(Vz),4); V
s=vpa(simple(Vs),4);
ax=vpa(simple(ax),4); ay=vpa(simple(ay),4); az=vpa(simple(az),4);
as=vpa(simple(as),4);
t=0..1:10; X=subs(X); Y=subs(Y); Z=subs(Z); S=subs(S);
Vx=subs(Vx); Vy=subs(Vy);

```

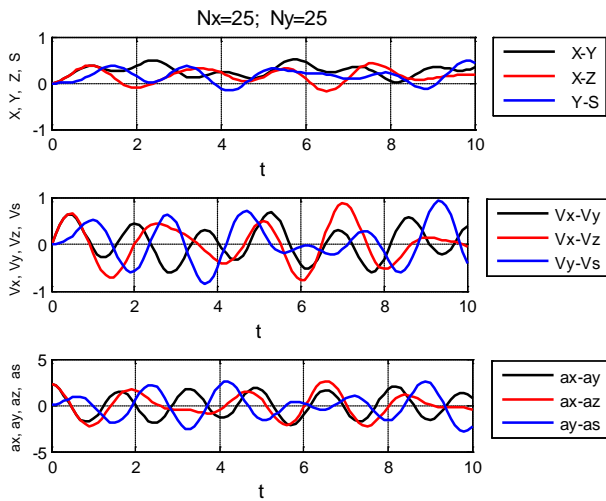
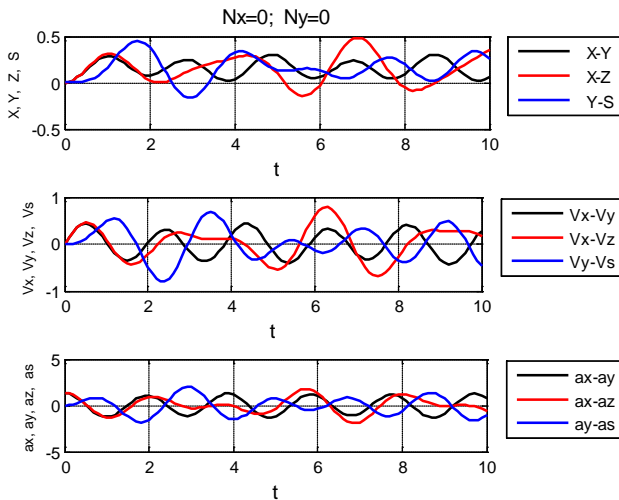
```

Vz=subs(Vz); Vs=subs(Vs); ax=subs(ax); ay=subs(ay); az=subs(az);
as=subs(as);
figure; subplot(3,1,1); plot(t,X-Y,'k',t,X-Z,'r',t,Y-S,'b', 'LineWidth',2),
grid;
xlabel('t','FontSize',12); ylabel('X, Y, Z, S','FontSize',8);
title(['Nx=',int2str(Nx),'; Ny=',int2str(Ny)], 'FontSize',12 ); legend(' X-
Y',' X-Z',' Y-S',-1);
subplot(3,1,2); plot(t,Vx-Vy,'k',t,Vx-Vz,'r',t,Vy-Vs,'b',
'LineWidth',2),grid,
xlabel('t','FontSize',12); ylabel('Vx, Vy, Vz, Vs','FontSize',8);
legend('Vx-Vy','Vx-Vz','Vy-Vs',-1);
subplot(3,1,3); plot(t,ax-ay,'k',t,ax-az,'r',t,ay-as,'b', 'LineWidth',2),grid,
xlabel('t','FontSize',12); ylabel('ax, ay, az, as','FontSize',8);
legend('ax-ay','ax-az','ay-as',-1); end;

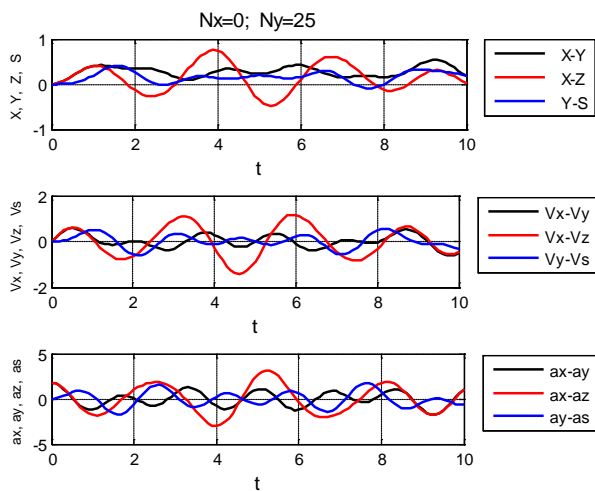
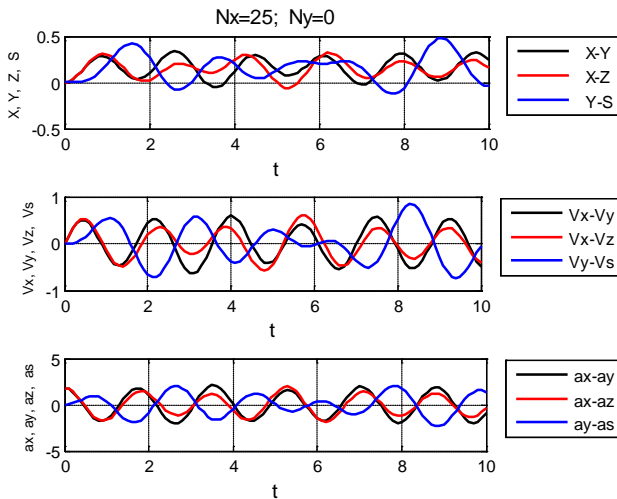
```



ერთმალიანი ბაგირგზის სარელსო ბაგირის
ჩაკიდულობის მრუდი



ორგაგონიანი ბაგირგზის ამუშავების გარდამავალი
რეჟიმის მრუდები

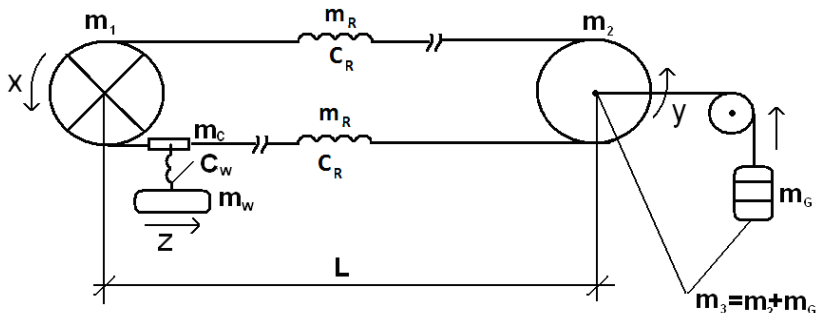


ორგაგონიანი ბაგირგზის ამუშავების გარდამავალი
რეჟიმის მრუდები

საკურსო სამუშაო III

ერთმალიანი, ერთვაგონიანი ქანქარასებრი კიდული
სამგზავრო ბაგირგზის ამუშავების რეჟიმის გაანგარიშება

საანგარიშო სამგზავრო ქანქარასებრი კიდული ბაგ-
ირგზის კინემატიკურ სქემას შემდეგი სახე აქვს



აქ, m_1 არის ამძრავი ძრავას, რედუქტორისა და მი-
მმართველი შეკიგების მასა, დაყვგანილი ამძრავ შეკიგზ; m_2 - დამჭიმი და მიმმართველი შეკიგების მასათა ჯამი; m_G - საწევი ბაგირის დამჭიმი ტვირთი; $m_3 = m_2 + m_G$ - დამჭიმი შეკიგისა და ტვირთის ჯამი; m_R - საწევი ბაგირის ერთი შტოს მასა; m_w - ბაგირგზის სამგზავრო ვაგონის მასა; m_c - სამგზავრო ვაგონის ურიკის (კარეტის) მასა; m_R და C_R - საწევი ბაგირის ერთი შტოს მასა და სიხისტის პოვფიციენტი; x , y და z შესაბამისად - m_1 , m_2 და

m_w მასების გადაადგილება.

როგორც ცნობილია, საწევი ბაგირის დამჭირი ტვირთი m_3 ამუშავების პროცესში მონაწილეობას არ ღებულობს და ბაგირგზის ამუშავების დიფგანტოლებათა სისტემას, როდესაც გაგონი ამძრავ შეკითხანაა, შემდეგი სახე

$$\text{აქვს} \quad (\text{გავითვალისწინოთ} \quad \text{ასევე,} \quad \text{რომ} \quad C_w = \frac{m_w g}{h_w} = m_w w_w^2,$$

სადაც w_w გაგონის რხევის სისშირეა: $A_x = m_1 + m_R + m_C$;

$$B_x = m_2 + m_R; \quad A_y = A_x - m_C; \quad B_y = B_x + m_C) \quad [2] :$$

$$\begin{cases} A_x \cdot \ddot{x} = F_0 - 2C_R(x - y) - m_w w_w^2(x - z); \\ B_x \cdot \ddot{y} = 2C_R(x - y); \\ \ddot{z} = w_w^2(x - z). \end{cases}$$

ხოლო, როდესაც დამჭირი შეკითხანაა

$$\begin{cases} A_y \cdot \ddot{x} = F_0 - 2C_R(x - y); \\ B_y \cdot \ddot{y} = 2C_R(x - y) - m_w w_w^2(y - z); \\ \ddot{z} = w_w^2(y - z), \end{cases}$$

სადაც $F_0 = j_1(A_x + B_x + m_w)$ სისტემაზე მოდებული ძალის დინამიკური შემდგენია, ნ;

განტოლებათა სისტემაში შემავალი კოეფიციენტების გამოსათვლელად გავიანგარიშოთ ბაგირგზის პარამეტრები.

წინასწარი მონაცემებია:

$L = 800$ - გზის პორიზონტალური სიგრძე, მ;

$h = 190$ - საღვერებს შორის დონეთა სხვაობა, მ;

$$b = \arctg\left(\frac{h}{L}\right) = \arctg\left(\frac{190}{800}\right) = 0.242 \text{ - ბაგირგზის გ.წ.}$$

სავიზირო კუთხე;

$$\operatorname{tg} b = \operatorname{tg}(0.242) = 0.247; \quad \cos b = \cos(0.242) = 0.971;$$

$$\sin b = \sin(0.242) = 0.24$$

$N = 25$ - მგზავრების რაოდენობა ვაგონში;

$m_E = 600$ - ცარიელი ვაგონის მასა, კგ;

$$m_C \approx \frac{2}{3}m_E = \frac{2}{3}600 = 400 \text{ - ვაგონის ურიკის მასა, კგ;}$$

$h_w = 2.5$ - ვაგონის ჩამოკიდების სიგრძე, მ;

$$w_w = \sqrt{\frac{g}{h_w}} \approx \sqrt{\frac{10}{2.5}} = 2 \text{ - ვაგონის რხევის სიხშირე, 1/წ;}$$

$m_q \approx 80$ - ერთი მგზავრის მასა, კგ;

$m_{EC} = m_E + m_C = 600 + 400 = 1000$ - ცარიელი ვაგონის მასა ურიკით, კგ;

$m_{FC} = N \cdot m_q + m_{EC} = 25 \cdot 80 + 1000 = 3000$ - სავსე ვაგონის მასა ურიკით, კგ.

$Q_{EC} = g \cdot m_{EC} \approx 10 \cdot 1000 = 10000$ - ცარიელი ვაგონის წონა ურიკით, ნ;

$Q_{FC} = g \cdot m_{FC} \approx 10 \cdot 3000 = 30000$ -სავსე ვაგონის წონა ურიკით, ნ.

აჩქარებისა და შენელების მნიშვნელობებად მივიღოდა $j_1 = j_3 = 0.6 \text{ მ/}^2$, მაშინ მაქსიმალური სიჩქარის საორენტაციო მნიშვნელობა იქნება:

$$V_m = 0.32 \sqrt{2 \frac{j_1 j_3}{j_1 + j_3}} L \approx 0.32 \sqrt{0.6 \cdot 800} \approx 7 \text{ მ/}^2.$$

გამოვიანგარიშოთ ერთი მეტრი სარელსო ბაგირის წონა; მუდმივი სიდიდეების მნიშვნელობებად მიღებულია, რომ $k = 12$; $S_1 = 1400 \text{ ნ/}^2$; $g_1 \approx 0.085 \text{ ნ/}^3$; $n_1 = 3.3$;

$$b_1 \approx 4242 \text{ მ, მაშინ}$$

$$\begin{aligned} h_0 &= 0.00017202 \cdot L^2 - 0.0059186 \cdot L + 21.235 = \\ &= 0.00017202 \cdot 800^2 - 0.0059186 \cdot 800 + 21.235 = 126.6 \text{ მ.} \end{aligned}$$

რთი მეტრი სარელსო ბაგირის წონა

$$q_1 = \frac{k Q_{FC}}{b_1 - \frac{L}{4k} - h_0} = \frac{12 \cdot 30000}{4242 - \frac{800}{4 \cdot 12} - 126.6} = 87.83 \text{ ნ/მ.}$$

შენიშვნა: თუკი მოცემული h -ის მნიშვნელობა $h \geq h_0$,

მაშინ q_1 - ის ფორმულაში h -ის ნაცვლად ჩაისმება h_0 .

VI დანართიდან შეირჩევა სტანდარტული ბაგირი:
გრძივი მეტრის წონა $q_1 = 96 \text{ ნ/მ}$;
ბაგირის დიამეტრი $d_1 = 40.5 \text{ მმ}$;

ბაგირის ლითონის კვეთი $s_1 = 1135 \text{ მმ}^2$;

ჯამური გამგლეჯი ძალა $T_1 = 1589 \text{ ქნ}$;

$$b_1\text{-ის რეალური მნიშვნელობა } b_1 = \frac{T_1}{n_1 q_1} = \frac{1589000}{3.3 \cdot 96} \approx 5016 ;$$

სარელსო ბაგირის დამჭიმი ტგირთის წონა

$$G_1 = q_1(b_1 - h) = 96(5016 - 190) = 463296 \text{ ნ;}$$

ბაგირის დაჭიმულობის პორიზონტალური შემდგენი

$$H_1 = q_1 \left(b_1 - \frac{h}{2} \right) \cos b = 96 \left(5016 - \frac{190}{2} \right) \cos 0.242 \approx 4587166.$$

შემოვიტანოთ აღნიშვნა

$$\begin{aligned} k_1 &= \frac{1}{2H_1} \left(\frac{q_1}{\cos b} + 2 \frac{Q_{FC}}{L} \right) = \\ &= \frac{1}{2 \cdot 458716} \left(\frac{96}{\cos 0.242} + 2 \frac{30000}{800} \right) = 1.895 \cdot 10^{-4} \text{ 1/მ} \end{aligned}$$

და სარელსო ბაგირის ჩაკიდულობის მრუდის განტოლება
მიიღებს სახეს

$$y = xtgb + x(L - x)k_1 = x \cdot 0.247 + x(800 - x) \cdot 1.895 \cdot 10^{-4} .$$

ამ განტოლებით აიგება შესამისი გრაფიკი.

სარელსო ბაგირზე ვაგონის ასვლის კუთხეებისა და
ამძრავ შეივზე ეფექტური სიმძლავრეების განსაზღვრა

ერთვაგონიან ქანქარასებრ ბაგირგზაზე, ვაგონის წონის შემდგენისა და მოძრაობის წინადობის ძალის გამოთლისათვის, რაც საბოლოოდ ამძრავ შეივზე მოდებული

დატვირთვებისა და მათი საშუალებით ძრავას სიმძლავრის გამოსათვლელადაა საჭირო, განიხილავენ ორ შემთხვევას - ბაგირგზის ამძრავი ზედა, **A** სადგურშია მოთავსებული ($kk = 1$) ან ქვედა, **B** სადგურშია - ($kk = 0$). მეორე მხრივ, განიხილავენ დატვირთული ვაგონის მოძრაობას ქვედა **B** სადგურიდან ზედა, **A** სადგურისაკენ.

ასვლის კუთხეები იანგარიშება ორვაგონიანი ბაგირგზის ანალოგიურად.

$$k_{2F} = \frac{1}{2H_1} \left(\frac{q_1}{\cos b} + \frac{Q_{FC}}{L} \right) = \\ = \frac{1}{2 \cdot 458716} \left(\frac{96}{\cos 0.242} + \frac{30000}{800} \right) = 1.486 \cdot 10^{-4} \text{ 1/გ}$$

დატვირთული ვაგონის ასვლის კუთხე **A** საყრდენთან (x=10 გ)

$$a_{FA} = \arctg[tgb + (L - 2 \cdot 10)k_{2F}] = \\ = \arctg[0.247 + (800 - 2 \cdot 10)1.486 \cdot 10^{-4}] = 0.348;$$

დატვირთული ვაგონის ასვლის კუთხე ქვედა **B** სადგურთან (x=L-10 გ)

$$a_{FB} = \arctg[tgb - (L - 2 \cdot 10)k_{2F}] = \\ = \arctg[0.247 - (800 - 2 \cdot 10)1.486 \cdot 10^{-4}] = 0.1304,$$

ვაგონის წონის შემდგენისა და მოძრაობის წინაღობის ძალის ჯამი, როდესაც მოძრაობა მიმართულია **B**-დან **A** -სამება:

მოძრაობის დასაწყისში

$$t_{FBU} = Q_{FC} (\sin a_{FB} + f_0 \cos a_{FB}) = \\ = 30000 (\sin 0.1304 + 0.06 \cos 0.1304) = 5685.64 \text{ ს.}$$

მოძრაობის

დასახურულებელი

$$t_{FAU} = Q_{FC} (\sin a_{FA} + f_0 \cos a_{FA}) = \\ = 30000 (\sin 0.348 + 0.06 \cos 0.348) = 11922.65 \text{ ს.}$$

საწევი ძალა ამძრავ შეიგვევ

1. ამძრავი ზედა A საღგურში kk = 1, განვითაროთ

$$F_{F1} = (-1)^{kk} \cdot (-t_{FBU}) + t_0 = t_{FBU} + t_0 \quad \text{და}$$

$$F_{F2} = (-1)^{kk} \cdot (-t_{FAU}) + t_0 = t_{FAU} + t_0;$$

2. ამძრავი ქვედა B საღგურში kk = 0, განვითაროთ

$$F_{F1} = (-1)^{kk} \cdot (-t_{FBU}) + t_0 = -t_{FBU} + t_0 \quad \text{და}$$

$$F_{F2} = (-1)^{kk} \cdot (-t_{FAU}) + t_0 = -t_{FAU} + t_0.$$

ჩვენს შემთხვევაში, ამძრავი ზედა A საღგურში kk = 1.

$$F_{F1} = t_{FBU} + t_0 = 5685.64 + 200 = 5885.64 \text{ ს.} \quad \text{და}$$

$$F_{F2} = t_{FAU} + t_0 = 11922.65 + 200 = 12122.65 \text{ ს.} \quad .$$

ძალის ეფექტური მნიშვნელობა

$$F_{eff} = \sqrt{\frac{1}{3}(F_{F1}^2 + F_{F1}F_{F2} + F_{F2}^2)} = \\ = \sqrt{\frac{1}{3}(5885.64^2 + 5885.64 \cdot 12122.65 + 12122.65^2)} = 9182.4 \text{ ს.}$$

ეფექტური სიმძლავრე

$$P_{\text{ef}} = \varphi \frac{F_{\text{ef}} V_{\text{mr}}}{\eta} 10^{-3} = 1.1 \frac{9182.4 \cdot 7.0}{0.92} 10^{-3} = 76.85 \text{ კვტ.}$$

საწევი ბაგირის, ამძრავი ძრავასა და

რედუქტორის შერჩევა

როგორც ორგაგონიან ბაგირგზაში საწევი ბაგირის შერჩევისას, აქაც წინასწარ მიღებულია $b_2 = 4000 \text{ ბ}$; $D \approx 2$.

განისაზღვრება ერთი მეტრი საწევი ბაგირის წონა: ერთვაგონიანი ბაგირგზებისათვის პირველად გამოითვლება დატვირთული ვაგონის ასევლის კუთხე a_{FB} ქვედა B სადგურთან

$$\text{თუ } a_{FB} \geq 0, \text{ მაშინ } q_{2E} = \frac{(D+1)(t_{FAU} + t_0)}{b_2 - h};$$

$$\text{ხოლო, თუ } a_{FB} < 0, \text{ მაშინ } q_{21E} = \frac{(D+1)(t_{FAU} + t_0)}{b_2}.$$

რადგან ჩვენს მაგალითში $a_{FB} = 0.1304 > 0$, ამიტომ

$$q_{21E} = \frac{(D+1)(t_{FAU} + t_0)}{b_2 - h} = \frac{(2+1)(11922.6 + 200)}{4000 - 190} = 9.55 \text{ ტ/გ.}$$

VI დანართიდან შეირჩევა სტანდარტული ბაგირი: გრძივი მეტრის წონა $q_2 = 9.7 \text{ ტ/გ}$; ბაგირის დიამეტრი $d_2 = 16.5 \text{ მმ}$; ბაგირის ლითონის კვეთი $s_2 = 105 \text{ მმ}^2$;

ჯამური საგლეჯი ძალა $T_2 = 168.5$ ბ;

$$b_2\text{-ის რეალური მნიშვნელობა } b_2 = \frac{T_2}{n_2 q_2} = \frac{168500}{4.5 \cdot 9.7} \approx 3860 \text{ ბ;}$$

საწევი ბაგირის დამჭიმი ტვირთის წონა

$$G_2 = 2 \cdot q_2 (b_2 - h) = 2 \cdot 9.7 (3860 - 190) = 71198 \text{ ნ;}$$

საწევი ბაგირის დაჭიმულობის პორიზონტალური შემდგენი

$$H_2 = q_2 b_2 \cos b = 9.7 \cdot 3860 \cdot \cos 0.242 \approx 36356 \text{ ნ;}$$

საწევი ბაგირის ჩაკიდულობის მაქსიმალური მნიშვნელობა

$$f_{2.\max} = \frac{q_2 L^2}{8 H_2 \cos b} = \frac{9.2 \cdot 800^2}{8 \cdot 36358 \cdot \cos 0.242} \approx 22 \text{ ბ;}$$

ჩაკიდული საწევი ბაგირის მრუდის სიგრძე

$$l_r = \frac{L}{\cos b} + \frac{8 f_{2\max}^2}{3L} \cos^3 b = \frac{800}{\cos 0.242} + \frac{8 \cdot 22^2}{3 \cdot 800} \cos^3 0.242 = 825.56.$$

საწევი ბაგირის სიხისტის ვერტიკალური შემდგენი

(ფოლადის მავთულის, $E = (1.6 \dots 2.1) \cdot 10^5 \text{ ნ/მმ}^2$ დრეკადობის მოდულის დროს)

$$C_V = \frac{E s_2}{l_r} = \frac{2.1 \cdot 10^5 \cdot 105}{825.24} = 26719.54 \text{ ნ/ბ;}$$

საწევი ბაგირის სიხისტის პორიზონტალური შემდგენი

$$C_H = \frac{12 H_2^3}{q_2^2 l_r^3 \cdot \cos b} = \frac{12 \cdot 36358^3}{9.2^2 \cdot 825.24^3 \cdot \cos 0.242} = 12486.64 \text{ ნ/ბ,}$$

საწევი ბაგირის სიხისტის კოეფიციენტი

$$C_R = \frac{C_V C_H}{C_V + C_H} = \frac{26719.54 \cdot 12486.64}{26719.54 + 12486.64} = 8509.86/\vartheta.$$

ხახუნის შეკიდვის საჭირო დიამეტრი –

$$D_0 = 80d_2 = 80 \cdot 0.0165 = 1.32 \text{ mm};$$

სტანდარტული $D_0 = [1.0; 1.25; 1.6; 2.0; 2.25]$ დიამეტრი

ებიდან, შეირჩევა შეკიდვის დიამეტრი $D_0 = 1.6$; ამძრავი

შეკიდვის საორენტაციო ბრუნვათა რიცხვი იქნება

$$n_m = \frac{60V_m}{\pi D_0} = \frac{60 \cdot 7}{\pi \cdot 1.6} = 83.56 \text{ rev/min},$$

თუკი ამ რიცხვს გავამრავლებთ PM რედუქტორის სტანდარტული გადაცემის რიცხვებზე

$i = [8; 10; 12.5; 16; 20; 22.4; 31.5; 40; 50]$, მივიღებთ ძრავას

შესარჩევ სტანდარტულ ბრუნთა რიცხვებს. შეირჩევა ის ბრუნთა რიცხვი, რომელიც ყველაზე ახლოს აღმოჩნდება ძრავას სტანდარტულ ბრუნთა რიცხვებთან

$n_0 = [750; 1000; 1500]$; ჩვენს შემთხვევაში,

$$n_0 = n_m \cdot i = 83.56 \cdot 12.5 = 1336.96 \text{ rev/min}$$

$$n_0 = 1500 \text{ rev/min}.$$

VII დანართიდან შეირჩევა სტანდარტული ძრავა:

ნომინალური სიმძლავრე $P_n = 90 \text{ kW}$;

ნომინალური ბრუნთა რიცხვი $n_n = 1485$ ბრ/წთ;

$$\text{ნომინალური გადატვირთვის კოეფიციენტი } b_n = \frac{M_m}{M_n} = 2.3;$$

$$\text{ინერციის მომენტი } J_{\text{mot}} = 1.2 \text{ კგ}\cdot\text{მ}^2.$$

რედუქტორის მომენტი ნელმავალ ლილვზე იქნება

$$M_r \approx \left(8b_n \frac{P_n}{n_n} \eta_i - 0.003 \frac{J_{\text{mot}} i}{D_0} j_l \right) i = \\ = \left(8 \cdot 2.3 \frac{90}{1485} 0.936 - 0.003 \frac{1.2 \cdot 16}{1.6} 0.6 \right) 16 = 16.3 \text{ კნმ.}$$

VIII დანართიდან შეირჩევა სტანდარტული
რედუქტორი

ტიპი - PM-750

ნომინალური მომენტი ნელმავალ ლილვზე $M_{\text{red},n} = 18 \text{ კნმ};$

გადაცემის რიცხვი $i = 16;$

შემავალი ბრუნვათა რიცხვი $n_n = 750 \dots 1500 \text{ ბრ/წთ.}$

ძირითადი პარამეტრების გამოთვლის შემდეგ, განვსაზღვროთ დიფერენციალური სისტემაში შემავალი კოეფიციენტები

$$\text{ვაგონის საკიდის სიგრძე } h_w = 2.5 \text{ მ; } w_w^2 = \frac{g}{h_w} \approx \frac{10}{2.5} = 4$$

$1/\text{წ}^2$; საწევი ბაგირის ერთი შტოს მასა

$$m_R = \frac{q_2}{g} l_r = \frac{9.7}{10} 825.5 = 800.74 \approx 801 \text{ კგ;}$$

$$\text{ამძრავი შემთხვევაში მასა } m_{1x} \approx 200 \cdot D_0^2 = 200 \cdot 1.6^2 = 512 \text{ კგ;}$$

როტორის დაყვანილი მასა ამძრავ შეივარება

$$m_{mot.x} = 4 \frac{J_{mot}}{D_0^2} i^2 = 4 \frac{1.2}{1.6^2} 16^2 = 480 \text{ კგ};$$

რედუქტორის დაყვანილი მასა ამძრავ შეივარება

$$m_{red.x} \approx 0.5 \cdot m_{mot.x} = 0.5 \cdot 480 = 240 \text{ კგ};$$

მიმმართველი შეივარება მასა

$$m_{2x} \approx 115 \cdot D_2^2 = 115 \cdot D_0^2 = 115 \cdot 1.6^2 \approx 295 \text{ კგ};$$

$$\begin{aligned} m_1 &= m_{1x} + m_{mot.x} + m_{red.x} + 2 \cdot m_{2x} = \\ &= 512 + 480 + 240 + 2 \cdot 295 = 1822 \text{ კგ} \end{aligned}$$

$$m_2 = 3 \cdot m_{2x} = 3 \cdot 295 = 885 \text{ კგ};$$

$$A_x = m_1 + m_r + m_C = 1822 + 801 + 400 = 3023 \text{ კგ};$$

$$B_x = m_2 + m_r = 885 + 801 = 1686 \text{ კგ};$$

$$A_y = m_1 + m_r = 1822 + 801 = 2623 \text{ კგ};$$

$$B_y = m_2 + m_r + m_C = 885 + 801 + 400 = 2086 \text{ კგ}.$$

სისტემაზე მოდებული ძალის დინამიკური შემდგენი

$$\begin{aligned} F_0 &= j_l(A_x + B_x + m_w) = j_l(A_x + B_x + m_E + 80 \cdot N) = \\ &= 0.6(2723 + 1686 + 600 + 80 \cdot N) = 0.6(5009 + 80 \cdot N) \end{aligned}$$

ამოქსნათ სხვადასხვა შემთხვევისათვის:

I. a) როდესაც ვაგონი ამძრავ შეივთანაა და ცარიელია ($N = 0$)

$$m_w = m_E + N m_q = 600 + 0 \cdot m_q = 600 \text{ კგ};$$

ბ) როდესაც ვაგონი ამძრავ შეკივთანაა და დატვირთულია ($N=25$)

$$m_w = m_E + Nm_q = 600 + 25 \cdot 80 = 2600 \text{ კგ};$$

II. ა) როდესაც ვაგონი დამჭიდ შეკივთანაა და ცარიელია ($N=0$)

$$m_w = m_E + Nm_q = 600 + 0 \cdot m_q = 600 \text{ კგ};$$

ბ) როდესაც ვაგონი დამჭიდ შეკივთანაა და დატვირთულია ($N=25$)

$$m_w = m_E + Nm_q = 600 + 25 \cdot 80 = 2600 \text{ კგ}.$$

განვიხილოთ გრაფიკულად ორივე შემთხვევისათვის

1. $X - Y$ და $X - Z$ - ამძრავი და დამჭიდი შეკივების გადაადგილებათა სხვაობა და ამძრავი შეკივისა და ვაგონის გადაადგილებათა სხვაობა;

2. $V_x - V_y$ და $V_x - V_z$ - ამძრავი და დამჭიდი შეკივების სიჩქარეთა სხვაობა და ამძრავი შეკივისა და ვაგონის სიჩქარეთა სხვაობა;

3. $a_x - a_y$ და $a_x - a_z$ - ამძრავი და დამჭიდი შეკივების აჩქარებათა სხვაობა და ამძრავი შეკივისა და ვაგონის აჩქარებათა სხვაობა.

ერთვაგონიანი ბაგირგზის პარამეტრების გამოთვლა და დიფერენციალურ განტოლებათა სისტემის ამოხსნა დაპროგრამების სისტემა **MATLAB**-ში

```

>> h=input('doneta sxvaoba,<m> - h='); L=input('horizontaluri
sigrze,<m> -L=');
N=input('mgzavta raodenoba vagonshi - N='); mE=input('carieli
vagonis masa,<kg> - mE=');
kk=input('amzravi zevit - kk=1, amzravi kvevit - kk=0; kk=');
disp('To kargia - < return >, to ara - shecvale da shemdeg < return
>'); keyboard;
b=atan(h/L); mC=2/3*mE; mEC=mE+mC; mFC=mEC+80*N;
QEC=10*mEC; QFC=10*mFC;
E=2.1*10^5; D=2; k=12; n1=3.3; n2=4.5; g1=.085; g2=.095;
S1=1400;
S2=1900; f0=0.06; t0=200; b1=.85*S1/n1/g1; b2=.9*S2/n2/g2; j1=.6;
Fi=1.1; etar=920;
h0=0.00015085*L^2+0.024566*L+15.976; if h>=h0 q1=k*QFC/(b1-
L/4/k-h0); else
q1=k*QFC/(b1-L/4/k-h); end;
q11=[50,56,63,70,86,96,103,115,125,145,164,173,177,198,237,272];
n=min(find(q11>=q1)); q1=q11(n);
d11=[30.5, 32, 34 ,35.5, 38.5, 40.5, 42.5, 45, 47, 51, 52, 54, 55, 60,
65, 70]; d1=d11(n);
s11=[596,660,730,796,1000,1135,1210,1356,1460,1725,1960,2064,
2075,2390,2850,3292];
s1=s11(n); T1=S1*s1; T1max=T1/n1; b1=T1max/q1; G1=q1*(b1-h);
H1=(G1+q1*h/2)*cos(b); k2F=1/2/H1*(q1/cos(b)+QFC/L);
x0=L/2+tan(b)/2/k2F;
k2E=1/2/H1*(q1/cos(b)+QEC/L); k1F=1/2/H1*(q1/cos(b)+2*QFC/L);
for zz=0:.000001:10; k1FF=1/2/H1*(q1*(1+zz^2)^.5+2*QFC/L);
y=zz/k1FF;
if y>=L h00=zz*L; break; end; end; tt1=8*QFC*H1/((q1*L)^2-4*H1^2);
tt2=((q1*L)^2-4*QFC^2)/((q1*L)^2-4*H1^2); ttg=[1,tt1,tt2];
tgb0=roots(ttg);
x=0:L/100:L; y1=x*tan(b); y2=y1+x.* (L-x)*k1F;
plot(x, y1, 'b', x, y2, 'r', 'LineWidth',2), axis ('ij'); grid;
xlabel('L','FontSize',12); ylabel('y','FontSize',12); legend('x*tg(b)', 'x*[tg(b)+(L-x)*k1F]',1);
title(['h=',num2str(h),' m; L=', num2str(L), ' m', 'FontSize',12 ],'FontSize',12 );
aFA=atan(tan(b)+(L-20)*k2F); aFB=atan(tan(b)-(L-20)*k2F);
tFBU=QFC*(sin(aFB)+f0*cos(aFB));
tFAU=QFC*(sin(aFA)+f0*cos(aFA));

```

```

FF1=(-1)^kk*(-tFBU)+t0;                                FF2=(-1)^kk*(-tFAU)+t0;
Fef=(1/3*(FF1^2+FF1*FF2+FF2^2))^0.5;
if aFB>=0 q2=(2+1)*(tFAU+t0)/(b2-h); else q2=(2+1)*(tFAU+t0)/b2;
end;
q21=[6.2,7.1,8.1,9.2,9.7,11,13,16,17,21,22,27,33,36];
n=min(find(q21>=q2)); q2=q21(n);
d21=[13.5,14.5,15,16,16.5,17.5,19.5,21,22,24,25,27.5,30.5,32];
d2=d21(n);
s21=[65,74,84,95,105,114,144,175,185,220,239,286,350,386];
s2=s21(n);
T21=[109,124.5,142,161,168.5,184.8,231.5,282.25,297.5,356,385.5,
462.5,564,623];
T2=T21(n); T2max=T2*10^3/n2; b2=T2max/q2; G2=2*q2*(b2-h);
H2=q2*b2*cos(b);
bn=2; Vm=0.32*(j1*L)^0.5; D0=.08*d2; D0r=[1,1.25,1.6,2,2.5];
n=min(find(D0r>=D0)); D0=D0r(n); nm=60*Vm/pi/D0;
n0=[750,1000,1500];
ired=[8,10,12.5,16,20,22.4,31.5,40,50]; nm1=nm*ired;
[M1,n]=min(nm1/750);
[M2,n]=min(nm1/1000); [M3,n]=min(nm1/1500);
[MM,n]=min([M1,M2,M3]);
nmot=n0(n); dd=nmot/nm; [z,n]=min((abs(ired-dd))); i=ired(n);
Vmr=pi*D0*nmot/60/i;
Pef=Fi*Fef*Vmr/etar;
if nmot==750 P750=[7.5,11,15,18.5,22,30,37,45,55,75,90];
n=min(find(P750>=Pef));
Pnom=P750(n); J750=[.11,.15,.27,.41,.46,.7,1.2,1.4,3.29,4.5,21];
Jmot=J750(n); end;
if nmot==1000 P1000=[7.5,11,15,18.5,22,30,37,45,55,75,90];
n=min(find(P1000>=Pef));
Pnom=P1000(n);
J1000=[.067,.11,.15,.27,.41,.46,.65,1.2,1.3,3.04,3.25];
Jmot=J1000(n); end;
if nmot==1500 P1500=[7.5,11,15,18.5,22,30,37,45,55,75,90];
n=min(find(P1500>=Pef));
Pnom=P1500(n); J1500=[.032,.045,.075,.087,.16,.2,.27,.32,.5,1,1.2];
Jmot=J1500(n); end;
Mred=(8*bn*Pnom*.9/nmot-.003*Jmot*j1/D0*i)*i;
disp(sprintf('sarelo bagiris erti metris cona, N/m-q1=%g',q1));
disp(sprintf('sarelo bagiris damchimi tvirti, N-G1=%g',G1));

```

```

disp(sprintf('sacevi bagiris erti metris cona, N/m-q2=%g',q2));
disp(sprintf('sacevi bagiris damchimi tvirti, N-G2=%g',G2));
disp(sprintf('amzravi shkivis diametri, m- D0=%g',D0));
disp(sprintf('zravas brunvata ricxvi, r/min - nmot=%g',nmot));
disp(sprintf('reductoris gadacemis ricxvi, - i=%g',i));
disp(sprintf('reduqtoris momenti, Nm- Mred=%g', Mred));
disp(sprintf('bagirgzsis sichqare, m/s- Vmr=%g',Vmr));
disp(sprintf('bagirgzsis amzravi zravas simzlavre, kWt-
Pnom=%g',Pnom));
disp('=====');
f2m=q2*L^2/8/H2/cos(b); IR=L/cos(b)+8*f2m^2*(cos(b))^3/3/L;
CV=E*s2/IR;
CH=12*H2^3/q2^2/IR^3/cos(b); CR=CV*CH/(CV+CH);
mR=q2*IR/10; hw=2.5;
mmot=4*Jmot*(i/D0)^2; mred=.5*mmot; m1x=200*D0^2;
m2x=115*D0^2; ww=(10/hw)^.5;
m1=mmot+mred+m1x+2*m2x; m2=3*m2x; Ax=m1+mR+mC;
Bx=m2+mR; Ay=Ax-mC;
By=Bx+mC; disp([sprintf(' Ax=%g',Ax), sprintf(' Bx=%g',Bx)]);
disp([sprintf(' Ay=%g',Ay), sprintf(' By=%g',By), sprintf('
CR=%g',CR)]);
for N=0:25:25; mw=mE+80*N; Cw=mw*ww^2; F0=.6*(Ax+Bx+mw);
disp([sprintf(' N=%g',N), sprintf(' Cw=%g',Cw), sprintf('
F0=%g',F0), sprintf(' mw=%g',mw)]);
syms p t; b1=F0/p; b2=0; b3=0;
p11=Ax*p^2+2*CR+mw*ww^2; p12=-2*CR; p13=-mw*ww^2;
p21=-2*CR; p22=Bx*p^2+2*CR; p23=0; p31=-ww^2; p32=0;
p33=p^2+ww^2;
D=det([p11,p12,p13]; p21,p22,p23;p31,p32,p33]);
D=vpa(collect(D),4);
p11=b1; p12=-2*CR; p13=-mw*ww^2;
p21=b2; p22=Bx*p^2+2*CR; p23=0; p31=b3; p32=0;
p33=p^2+ww^2;
Dx=det([p11,p12,p13]; p21,p22,p23;p31,p32,p33]);
Dx=vpa(collect(Dx),4); X=vpa(ilaplace(Dx/D,p,t),4); Vx=vpa(diff(X),4);
ax=vpa(diff(Vx),4);
p11=Ax*p^2+2*CR+mw*ww^2; p12=b1; p13=-mw*ww^2;
p21=-2*CR; p22=b2; p23=0; p31=-ww^2; p32=b3; p33=p^2+ww^2;

```

```

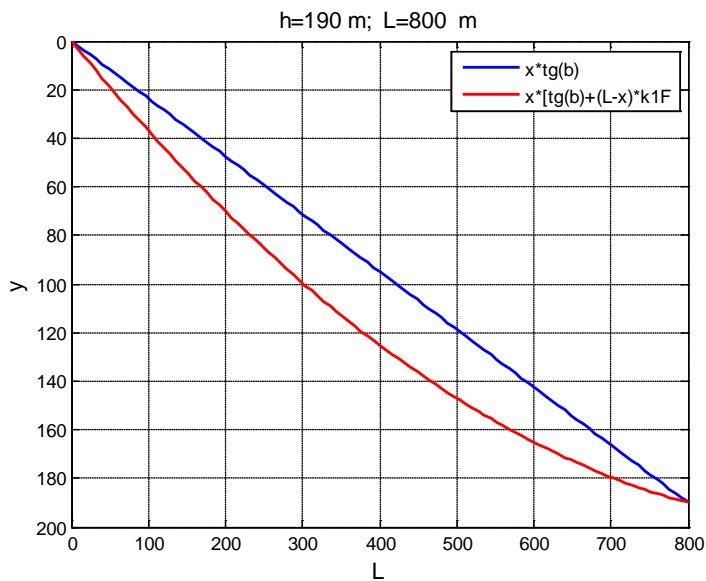
Dy=det([p11,p12,p13; p21,p22,p23;p31,p32,p33]);
Dy=vpa(collect(Dy),4); Y=vpa(ilaplace(Dy/D,p,t),4); Vy=vpa(diff(Y),4);
ay=vpa(diff(Vy),4);
p11=Ax*p^2+2*CR+mw*ww^2; p12=-2*CR; p13=b1;
p21=-2*CR; p22=Bx*p^2+2*CR; p23=b2; p31=-ww^2; p32=0;
p33=b3;
Dz=det([p11,p12,p13; p21,p22,p23;p31,p32,p33]);
Dz=vpa(collect(Dz),4); Z=vpa(ilaplace(Dz/D,p,t),4); Vz=vpa(diff(Z),4);
az=vpa(diff(Vz),4);
X=vpa(simple(X),4); Y=vpa(simple(Y),4); Z=vpa(simple(Z),4);
Vx=vpa(simple(Vx),4); Vy=vpa(simple(Vy),4); Vz=vpa(simple(Vz),4);
ax=vpa(simple(ax),4); ay=vpa(simple(ay),4); az=vpa(simple(az),4);
t=0:.1:10; X=subs(X); Y=subs(Y); Z=subs(Z); Vx=subs(Vx);
Vy=subs(Vy); Vz=subs(Vz); ax=subs(ax); ay=subs(ay); az=subs(az);
figure; subplot(3,1,1); plot(t,X-Y,'b',t,X-Z,'r','LineWidth',2), grid;
xlabel('t','FontSize',12); ylabel('X, Y, Z','FontSize',8);
title([' vagoni amzravtanaa,' ----- N='int2str(N)], 'FontSize',12 );
legend(' X-Y', ' X-Z',-1);
subplot(3,1,2); plot(t,Vx-Vy,'b',t,Vx-Vz,'r', 'LineWidth',2),grid,
xlabel('t','FontSize',12); ylabel('Vx, Vy, Vz','FontSize',8); legend('Vx-
Vy', 'Vx-Vz',-1);
subplot(3,1,3); plot(t,ax-ay,'b',t,ax-az,'r', 'LineWidth',2),grid,
xlabel('t','FontSize',12); ylabel('ax, ay, az','FontSize',8); legend('ax-
ay', 'ax-az',-1);
end; for N=0:25:25; mw=mE+80*N; Cw=mw*ww^2;
F0=0.6*(Ay+By+mw);
syms p t; b1=F0/p; b2=0; b3=0;
p11=Ay*p^2+2*CR; p12=-2*CR; p13=0;
p21=-2*CR; p22=By*p^2+2*CR+mw*ww^2; p23=-mw*ww^2;
p31=0; p32=-ww^2; p33=p^2+ww^2;
D=det([p11,p12,p13; p21,p22,p23;p31,p32,p33]);
D=vpa(collect(D),4);
p11=b1; p12=-2*CR; p13=0; p21=b2; p22=By*p^2+2*CR+mw*ww^2;
p23=-mw*ww^2;
p31=b3; p32=-ww^2; p33=p^2+ww^2;
Dx=det([p11,p12,p13; p21,p22,p23;p31,p32,p33]);
Dx=vpa(collect(Dx),4); X=vpa(ilaplace(Dx/D,p,t),4); Vx=vpa(diff(X),4);
ax=vpa(diff(Vx),4);
p11=Ay*p^2+2*CR; p12=b1; p13=0; p21=-2*CR; p22=b2; p23=-mw*ww^2;

```

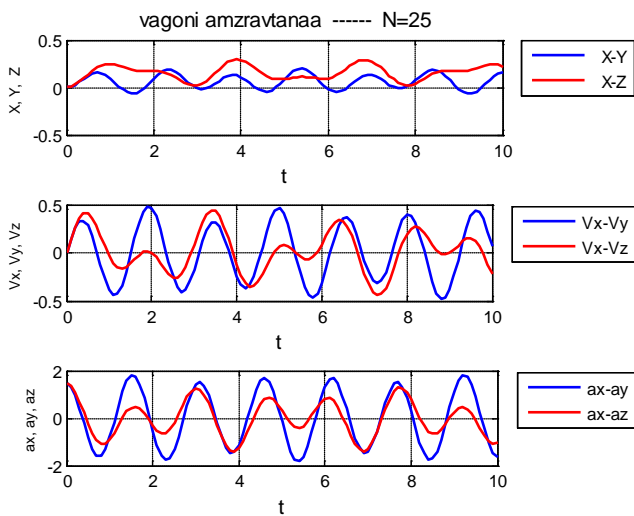
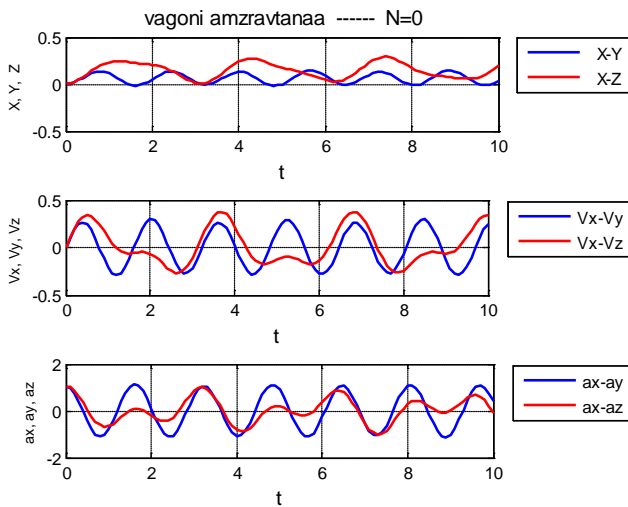
```

p31=0; p32=b3; p33=p^2+ww^2;
Dy=det([p11,p12,p13]; p21,p22,p23;p31,p32,p33]);
Dy=vpa(collect(Dy),4); Y=vpa(ilaplace(Dy/D,p,t),4);
Vy=vpa(diff(Y),4); ay=vpa(diff(Vy),4);
p11=Ay*p^2+2*CR; p12=-2*CR; p13=b1;
p21=-2*CR; p22=By*p^2+2*CR+mw*ww^2; p23=b2; p31=0; p32=-ww^2; p33=b3;
Dz=det([p11,p12,p13]; p21,p22,p23;p31,p32,p33]);
Dz=vpa(collect(Dz),4); Z=vpa(ilaplace(Dz/D,p,t),4); Vz=vpa(diff(Z),4);
az=vpa(diff(Vz),4);
X=vpa(simple(X),4); Y=vpa(simple(Y),4); Z=vpa(simple(Z),4);
Vx=vpa(simple(Vx),4); Vy=vpa(simple(Vy),4); Vz=vpa(simple(Vz),4);
ax=vpa(simple(ax),4); ay=vpa(simple(ay),4); az=vpa(simple(az),4);
t=0:.1:10; X=subs(X); Y=subs(Y); Z=subs(Z); Vx=subs(Vx);
Vy=subs(Vy); Vz=subs(Vz); ax=subs(ax); ay=subs(ay); az=subs(az);
figure; subplot(3,1,1); plot(t, X-Y,'b',t,X-Z,'r','LineWidth',2), grid;
xlabel('t','FontSize',12); ylabel('X, Y, Z','FontSize',8);
title(['' vagoni damchim shkivtanaa'', ''----- N=',int2str(N)],'FontSize',12 );
legend(' X-Y',' X-Z',-1);
subplot(3,1,2); plot(t,Vx-Vy,'b',t,Vx-Vz,'r', 'LineWidth',2),grid,
xlabel('t','FontSize',12); ylabel('Vx, Vy, Vz','FontSize',8); legend('Vx-Vy','Vx-Vz',-1);
subplot(3,1,3); plot(t,ax-ay,'b',t,ax-az,'r', 'LineWidth',2),grid,
xlabel('t','FontSize',12); ylabel('ax, ay, az','FontSize',8); legend('ax-ay','ax-az',-1); end;

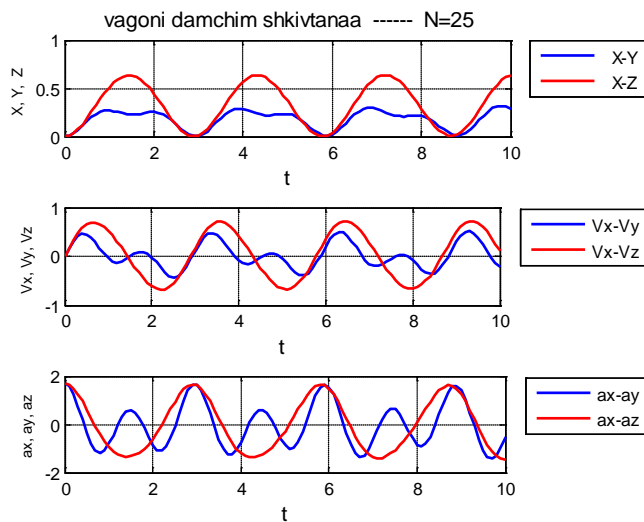
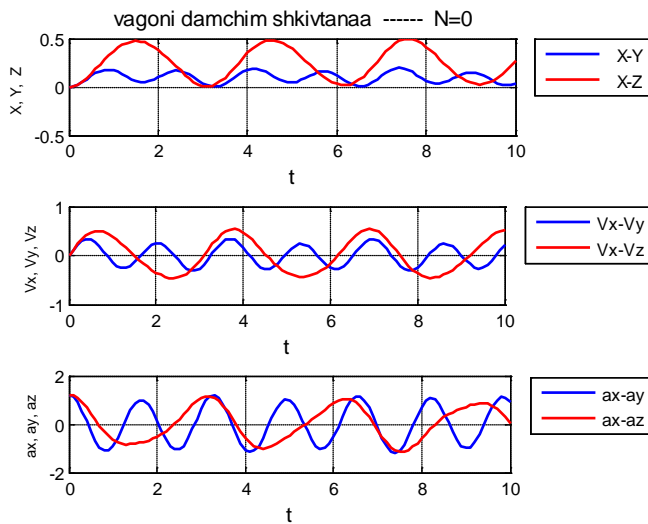
```



ერთმალიანი ბაგირგზის სარელსო ბაგირის
ჩაკიდულობის მრუდი



ერთვაგონიანი ბაგირგზის ამუშავების გარდამავალი
რეჟიმის მრუდები



ერთვაგონიანი ბაგირგზის ამუშავების გარდამავალი
რეჟიმის მრუდები

I დანართი

ჯალამბრის სკიპები

№	სკიპის ტვირთ- ამწეობა, m_0 , კგ	გაცლის წესი	სკიპის მასა, m_{sk} , კგ
1	2000	ძირიდან	2500
2	3000	-“-	3000
3	4000	-“-	3000
4	6000	-“-	4500

II დანართი

ჯალაშბრის ბაგირები

N	ბაგირის 1 მის მასა, N mr- გვ/გ	ბაგირის დიამეტრი dr- მმ	ბაგირის ლითონის პვეთი Sr- მმ ²	ბაგირის გამგლეჭი ძალა Tr- კნ
1	0.3835	9.7	38.82	49.85
2	0.513	11.5	51.96	66.75
3	0.6965	13.5	70.55	90.65
4	0.812	15	82.16	104.5
5	1.045	16.5	105.73	135.5
6	1.245	18	125.78	161.5
7	1.52	20	153.99	197.5
8	1.83	22	185.1	237.5
9	2.13	23.5	215.94	277
10	2.495	25.5	252.46	324
11	2.8	27	283.79	364.5
12	3.215	29	325.42	417.5
13	3.655	31	369.97	475
14	4.155	33	420.96	540.5
15	4.55	34.5	461.07	592

III დანართი

ჯაჭამბრები

2БЛ	1.2/0.8	25	18	380	2	960	35	9200	
2ЛТ	1.2/1.0	35	22	475	2	960	80	9600	
1БЛ	1.6/1.2	40	25	605	3.4	960	150	10450	

IV დანართი

ასინქრონული ფაზურ-როტორიანი ძრავები

N_p	სიმშეღებულება, кВт	ბრუნვა, $\text{А} \cdot \text{секунда}$	გადატვირთვის ძრევცენტრი	როტორის მასა, кг	როტორის დუნაი, с	J_{mot}
	P_n	n_n	b_n	U_2	I_2	
1	5.5	1420	2.5	211	15	0.07
2	7.5	1420	2.5	298	15	0.085
3	10	1420	2	160	40	0.14
4	17	1430	2	215	49.3	0.33
5	22	1430	2	275	50.1	0.4
6	4	950	2.5	112	21	0.103
7	5.5	950	2.5	153	21	0.135
8	7.5	960	1.8	140	35	0.24
9	10	960	1.8	180	36	0.29
10	13	960	1.8	195	42.6	0.62
11	10	715	1.7	150	47.8	0.62
12	13	715	1.7	185	50	0.55
13	22	725	1.7	95	150	1.13
14	30	725	1.7	130	150	1.43
15	40	720	1.7	120	225	1.6

V დანართი
მუდმივი დენის ძრავები

№ №	სიმძ- ლაგრე	ბრუნ- გათა რიცხვი	მაბგა	დენი	შქ ძოგვ.
	პგტ	ბრ/წთ	გ	გ	%
	Pn	Nn	U	I	eta
1	8.5	800	220	48.0	81
2	10	750	220	58.0	79
3	11	800	220	60.0	84
4	13	1120	220	70.0	85
5	14	1000	220	78.0	82
6	16	100	220	85.0	86
7	18.5	1500	220	97.0	87
8	22	1500	220	114.0	87.5
9	25	2120	220	128.0	89
10	30	1500	220	153.0	88.9
11	32	3150	440	80.0	90.5
12	36	2200	220	185.0	88.5
13	53	2360	440	133.0	90.5
14	60	3150	440	151.0	90.5
15	75	3150	440	186.0	91.5
16	85	1000	440	219.0	88.4
17	90	1060	220	463.0	88.4
18	110	1000	220	562.0	89
19	132	1500	220	662.0	90.6
20	160	1500	220	808.0	90

VI დანართი
ბაგირგზის სარელსო ბაგირები

გრძიგი მეტრის წონა, q_1 ტ/მ	ბაგირის დიამეტრი, d_1 მმ	ბაგირის ლითონის ქვეთი, S_1 მმ ²	ჯამური გამგლუჯი მალა, $T_1, \text{კ}$		
			$S_1,$ 1200 ტ/მ ²	$S_1,$ 1300 ტ/მ ²	$S_1,$ 1400 ტ/მ ²
50	30.5	596	715	775	834
56	32	660	790	858	924
63	34	730	875	949	1022
70	35.5	796	955	1035	1114
86	38.5	1000	1200	1300	1400
96	40.5	1135	1360	1475	1589
103	42.5	1210	1450	1573	1694
115	45	1356	1620	1762	1898
125	47	1460	1750	1898	2044
145	51	1725	2070	2242	2415
164	52	1960	2352	2548	2744
173	54	2064	2480	2683	2890
177	55	2075	2490	2697	2905
198	60	2390	2870	3107	3346
237	65	2850	3420	3705	3990
272	70	3292	3950	4280	4609

VII დანართი

ბაგირგზის საწევი ბაგირები

გრძელი მეტრის წონა, q_2 ტ/მ	ბაგირის დიამეტრი, d_2 მმ	ბაგირის ლითონის კვეთი, S_2 მმ ²	ჯამური გამგლეჭი ძალა, T_2 კნ		
			S2, 1700 მ/მ ²	S2, 1800 მ/მ ²	S2, 1900 მ/მ ²
6.2	13.5	65	97.4	103	109
7.1	14.5	74	111.5	118	124.5
8.1	15	84	127.5	134.5	142
9.2	16	95	144	152.5	161
9.7	16.5	105	150.5	159.5	168.5
11	17.5	114	165.35	175.1	184.8
13	19.5	144	207	219.5	231.5
16	21	175	252.5	267.4	282.25
17	22	185	266	282	297.5
21	24	220	318.5	337.25	356
22	25	239	345.5	365.5	385.5
27	27.5	286	413.5	438.5	462.5
33	30.5	350	504.5	534.5	564
36	32	386	557.5	590.25	623

VIII დანართი

ბაგირგზის ამძრავი ასინქრონული ძრავები

ნომინ. სიმძლ.	ნომინ. ბრუნ.რიც.	ნომინ. დენი	სიმძლ. კოეფ.	$b_n =$ M_m/M_n	გენეგარა მომენტი
Pn,kWt	nn,r/min	In	cosFi		Jmot
7,5	1450	15,4	0,85	2,8	0,032
11	1450	22,1	0,85	3,0	0,045
15	1450	29,6	0,86	2,6	0,075
18,5	1450	36,3	0,86	2,6	0,087
22	1465	44	0,84	2,6	0,16
30	1470	57,5	0,87	2,6	0,20
37	1470	72	0,85	2,5	0,27
45	1470	87	0,85	2,8	0,32
55	1475	105	0,86	2,2	0,50
75	1485	142	0,85	2,3	1,00
90	1485	164	0,88	2,3	1,20
7,5	960	16,7	0,8	2,8	0,067
11	970	23,4	0,82	2,5	0,11
15	970	31,0	0,83	2,7	0,15
18,5	980	37,5	0,84	2,7	0,27
22	975	44,5	0,83	2,2	0,41
30	975	60,0	0,84	2,2	0,46
37	980	73,0	0,84	2,5	0,65
45	985	87,5	0,84	2,0	1,20
55	985	108	0,84	2,0	1,30
75	990	142	0,85	2,0	3,04
90	990	171	0,85	2,2	3,25

ბაგირგზის ამძრავი ასინქრონული ძრავები
(VIII დანართის გაგრძელება)

7.5	725	18.4	0,72	2,2	0,11
11	725	26	0,74	2,2	0,15
15	730	33	0,78	2,2	0,27
18.5	735	41,0	0,76	2,7	0,41
22	735	48,5	0,77	2,6	0,46
30	735	64,5	0,78	2,2	0,70
37	740	84,0	0,73	2,6	1,20
45	740	98,0	0,75	2,6	1,40
55	740	108	0,83	2,0	3,29
75	740	148	0,82	2,1	4,00
90	740	170	0,85	2,1	5,21

IX დანართი

ბაგირგზის ამძრავის რედუქტორები

რედუქტიპი	გადაცემის რიცხვი	ნომ. გამომ. მომენტი კნ.
PM-400	8; 10; 12.5; 16; 20; 22.4; 31.5; 40; 50;	2
PM-500	8; 10; 12.5; 16; 20; 22.4; 31.5; 40; 50;	2.3
PM-650	8; 10; 12.5; 16; 20; 22.4; 31.5; 40; 50;	10
PM-750	8; 10; 12.5; 16; 20; 22.4; 31.5; 40; 50;	18
PM-850	8; 10; 12.5; 16; 20; 22.4; 31.5; 40; 50;	27

ლ ი ტ ე რ ა ტ უ რ ა

1. წერეთელი მ. მეთოდური მითითებები პრაქტიკული სამუშაოებისა და საკურსო პროექტირების შესასრულებლად საგანში “სამთო მანქანების ელექტრული ამძრავი”.
თბილისი, სტუ, 2007.
2. წერეთელი მ., მახარაშვილი ნ., წერეთელი ი. ქანქარას-ებრი კიდული ბაგირგზის პარამეტრების შერჩევა და ამუშავების დინამიკური რეჟიმის ოპტიმიზაცია.
თბილისი, სტუ, 2013.
3. წერეთელი მ., მახარაშვილი ნ., წერეთელი ი. ქანქარას-რასებრი კიდული ბაგირგზის სარელსო ბაგირის შერჩევა.
“სამთო ქურნალი”, №1(28), თბილისი, 2012. გვ. 63-64.

ს ა რ ჩ ე გ ი

I.	პრაქტიკული და საკურსო სამუშაოები	- - - 3
1.	მუდმივი დენის, დამოუკიდებელ აგზებიანი ძრავას მა- ხასასიათებლები	- - - - - 5
2..	ასინქრონული ძრავას მექანიკური მახასიათებლები	-19
3..	ორბოლოიანი საშახტო ჯალამბრის ამუშავების თავი- სებურებანი	- - - - - 32
II.	პრაქტიკული სამუშაოები	- - - - - 38
	ამოცანა №1	- - - - - 38
	ამოცანა №2	- - - - - 43
	ამოცანა №3	- - - - - 48
	ამოცანა №4	- - - - - 53
III.	საკურსო სამუშაო I – ორბოლოიანი საშახტო ჯალამბრის ამუშავების რეჟიმის გაანგარიშე- ბა	- - - - - 59
IV.	საკურსო სამუშაო II – ერთმალიანი, ორვა- გონიანი ქანქარასებრი კიდული სამგზავრო ბაგირგზის ამუშავების რეჟიმის გაანგარიშე- ბა	- - - - - 66
V.	საკურსო სამუშაო III – ერთმალიანი, ერთვა- გონიანი ქანქარასებრი კიდული სამგზავრო	

ბაგირგზის ამუშავების რეჟიმის გაანგარიშე-	
ბა - - - - -	95
I დანართი – ჯალამბრის სკიპები - - - - -	116
II დანართი – ჯალამბრის ბაგირები - - - - -	117
III დანართი – ჯალამბრები - - - - -	118
IV დანართი – ფაზურ-როტორიანი ძრავები- - - - -	119
V დანართი – მუდმივი დენის ძრავები - - - - -	120
VI დანართი – ბაგირგზის სარელსო ბაგირები - - - -	121
VII დანართი – ბაგირგზის საწევი ბაგირები - - - -	122
VIII დანართი – ბაგირგზის ასინქრონული ძრავები- -	123
IX დანართი – ბაგირგზის ამძრავის რეღუქტორები -	124
ლიტერატურა - - - - -	125